



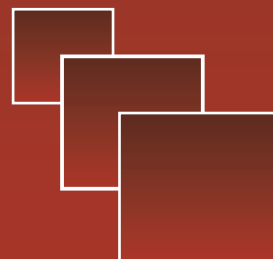
# Вестник

Уральского  
государственного  
университета  
путей сообщения

Научный журнал

**Herald**  
**of the Ural State University**  
**of Railway Transport**

Scientific journal



Научный журнал  
«Вестник Уральского государственного  
университета путей сообщения»  
(«Вестник УрГУПС»)  
№ 2 (38), 2018 год

**Главный редактор,  
научный редактор**  
Василий Михайлович Сай

**Литературный и выпускающий редактор**  
Людмила Станиславовна Барышникова

**Техническое редактирование и верстка**  
Светлана Николаевна Наймушина

**Учредитель и издатель:**  
Федеральное государственное  
бюджетное образовательное учрежде-  
ние высшего образования «Уральский  
государственный университет путей  
сообщения» (ФГБОУ ВО УрГУПС)

**Адрес учредителя, издателя и редакции:**  
620034, Екатеринбург,  
ул. Колмогорова, 66, УрГУПС,  
редакция журнала «Вестник УрГУПС»

**Телефон редакции:** (343) 221-25-60.  
**Веб-сайт:** www.usurt.ru/vestnik;  
**e-mail:** vestnik@usurt.ru.

«Вестник УрГУПС» включен ВАКом  
в перечень периодических, научных  
и научно-технических изданий,  
выпускаемых в Российской Федерации,  
в которых рекомендуется публикация  
основных результатов диссертаций.

DOI:10.20291/2079-0392

Свидетельство о регистрации  
средства массовой информации  
Роскомнадзора ПИ № ФС77–38188  
от 30 ноября 2009 г.

Подписной индекс журнала  
в общероссийском  
каталоге «Пресса России» — 70070

Отпечатано в издательстве  
Уральского государственного  
университета путей сообщения,  
620034, Екатеринбург,  
ул. Колмогорова, 66.

Подписано в печать 24.06.2018  
Дата выхода в свет 4.07.2018.  
Цена 319 руб.

Тираж 300 экз. 1-й з-д: 1–80.  
Формат 70×100/16.  
Заказ 151

Уральский государственный  
университет путей сообщения  
(ФГБОУ ВО УрГУПС), 2018 ©

Scientific journal «Herald of the  
Ural State University  
of Railway Transport»  
(«Herald of the USURT»)  
№ 2 (38), 2018

**Editor-in-chief,  
Science editor**  
Vasily M. Say

**Script and copy editor**  
Lyudmila S. Baryshnikova

**Technical editing and make-up**  
Svetlana N. Naymushina

**Founder and publisher:**  
Federal state-funded educational  
institution of the higher education  
«Ural State University of Railway Transport»  
(FGBOU VO URGUPS)

**Address of the founder, publisher and edition:**  
«Herald of USURT» editorial office  
The Ural State University of Railway Transport»  
66 Kolmogorov Street,  
620034, Ekaterinburg

**Telephone:** +7 (343) 221-25-60.  
**Web-site:** www.usurt.ru/vestnik;  
**e-mail:** vestnik@usurt.ru.

DOI:10.20291/2079-0392

Certificate of registration of mass media  
by the Federal Service for Supervision  
in the sphere of communications,  
information technology and mass communications  
(Roskomnadzor) PI № FS77–38188  
of November 30, 2009.

Subscription reference number  
of the issue in the All Russia Catalogue  
«Pressa Rossiï» — 70070

Printed in the Publishing house  
of the Ural State University of  
Railway Transport  
66 Kolmogorov Street,  
620034, Ekaterinburg.

Passed for printing 24.06.2018  
Data of issue 4.07.2018.  
The price 319 rub.

Circulation 300. The 1<sup>st</sup> pr.: 1–80.  
Format 70×100/16.  
Order 151

The Ural State University  
of Railway Transport  
(FGBOU VO URGUPS), 2018 ©

## МЕЖДУНАРОДНЫЙ РЕДАКЦИОННЫЙ СОВЕТ

**Кейт Бурнхам**, профессор, Университет г. Ковентри, факультет машиностроения и вычислительной техники, Великобритания

**Петер Копачек**, профессор, Венский технологический университет, Венский институт транспорта и робототехники, интеллектуальный транспорт и робототехника, Вена, Австрия

**Владимир Цыганов**, д-р техн. наук, профессор, Институт проблем управления Российской академии наук, Москва, Россия

**Сергей Герман-Галкин**, д-р техн. наук, профессор, Морская академия, Институт судовой автоматики и электротехники, Щецин, Польша

**Клаус Беккер**, профессор, Университет прикладных наук г. Кельна, Институт автомобильной техники, лаборатория NVH, Германия

**Василий Сай**, д-р техн. наук, профессор, Уральский государственный университет путей сообщения, Екатеринбург, Россия

## РЕДКОЛЛЕГИЯ

**Аккерман Геннадий Львович**, д-р техн. наук, профессор, УрГУПС, Екатеринбург

**Ашпиз Евгений Самуилович**, д-р техн. наук, профессор, РУТ, Москва

**Булаев Владимир Григорьевич**, д-р техн. наук, профессор, УрГУПС, Екатеринбург

**Воробьев Александр Алексеевич**, д-р техн. наук, профессор, МГУПС, Москва

**Воскресенская Тамара Петровна**, д-р техн. наук, профессор, СибГИУ, Новокузнецк

**Корнилов Сергей Николаевич**, д-р техн. наук, профессор, МГТУ, Магнитогорск

**Кузнецов Константин Борисович**, д-р техн. наук, профессор, УрГУПС, Екатеринбург

**Курганов Валерий Максимович**, д-р техн. наук, ТГУ, г. Тверь

**Лапшин Василий Федорович**, д-р техн. наук, профессор, УрГУПС, Екатеринбург

**Сапожников Валерий Владимирович**, д-р техн. наук, профессор, ПГУПС, Санкт-Петербург

**Сизый Сергей Викторович**, д-р техн. наук, профессор, УрФУ, Екатеринбург

**Тимофеева Галина Адольфовна**, д-р физ.-мат. наук, профессор, УрГУПС, Екатеринбург

**Щурин Константин Владимирович**, д-р техн. наук, профессор, ОГУ, Оренбург

## INTERNATIONAL EDITORIAL BOARD

**Keith Burnham**, professor, Coventry University, Faculty of Engineering and Computing, Great Britain

**Peter Kopachek**, professor, Vienna University of Technology, Vienna Institute of Transportation and Robotics, Intelligent Transportation and Robotics, Vienna, Austria

**Vladimir Tsyganov**, DSc, professor, Russian Academy of Sciences, Institute of Control Sciences, Moscow, Russia

**Sergey German-Galkin**, DSc, professor Maritime Academy, Institute of naval automation and electric engineering, Szczecin, Poland

**Klaus Becker**, professor, Cologne University of Applied Sciences, Institute of Automotive Engineering, NVH Laboratory, Germany

**Vasily Say**, DSc, professor, The Ural State University of Railway Transport, Ekaterinburg, Russia

## EDITORIAL BOARD

**Akkerman Gennadiy Lvovich**, DSc, Professor, Ural State University of Railway Transport, Yekaterinburg

**Ashpiz Evgeniy Samuilovich**, DSc, Professor, Russian University of Transport, Moscow

**Bulaev Vladimir Grigorievich**, DSc, Professor, Ural State University of Railway Transport, Yekaterinburg

**Vorobjev Alexander Alexeevich**, DSc, professor, Moscow State University of Railway Transport, Moscow

**Voskresenskaya Tamara Petrovna**, DSc, professor, Siberian State Industrial University, Novokuznetsk

**Kornilov Sergey Nikolaevich**, DSc, professor, Magnitogorsk State Technical University, Magnitogorsk

**Kuznetsov Konstantin Borisovich**, DSc, professor, The Ural State University of Railway Transport, Ekaterinburg

**Kurganov Valeriy Maximovich**, DSc, Professor, Tver State University, Tver city

**Lapshin Vasily Fedorovich**, DSc, Professor, Ural State University of Railway Transport, Yekaterinburg

**Sapozhnikov Valery Vladimirovich**, DSc, professor, Petersburg State University of Railway Transport, Saint-Petersburg

**Sizyi Sergey Viktorovich**, D. Sc. in engineering, professor, Ural Federal University, Ekaterinburg

**Timofeeva Galina Adolfovna**, DSc, professor, The Ural State University of Railway Transport, Ekaterinburg

**Shchurin Konstantin Vladimirovich**, DSc, professor, Orenburg State University, Orenburg

# Содержание

## Математические модели технологических процессов

- 4 А.Л. Казаков, М. М. Пavidis, М. Л. Жарков. Применение многофазных систем массового обслуживания для моделирования сортировочной станции

## Механика машин и роботов

- 15 И.П. Попов, Д. Н. Парышев, В. М. Самуйлов, К. А. Васильев. Балансировка вибромашин при строительстве железнодорожного пути
- 20 И. А. Тараторкин, В. Б. Держанский, А. И. Тараторкин, А. А. Волков. Стабилизация траектории движения быстроходной гусеничной машины при ошибочных управлениях

## Управление в технических системах

- 27 А.Н. Киреев, М. А. Киреева. Анализ погрешностей применения условной чувствительности при ультразвуковом контроле деталей подвижного состава железных дорог
- 35 Р. Я. Сулейманов, М. Г. Дурандин. Методы снижения дугообразования на коллекторе тяговых электродвигателей
- 42 И. А. Яицков. Теоретическое исследование виброакустических характеристик элементов кабин мотовозов

## Организация и логистика

- 50 Г.Л. Аккерман, М. А. Мыльникова. Организация мониторинга за напряженным состоянием бесстыкового пути
- 57 В. М. Сай, Т. К. Чернушевич. Оценка кадрового риска в сетевой «зонтичной» организационной структуре
- 68 О. Д. Покровская. Логистическая классность железнодорожных станций

## Аспирантская тетрадь

- 77 И.В. Пустовой. Ключевые показатели эффективности информационно-динамической модели управления сервисным техническим обслуживанием и ремонтом локомотивов

# Contents

## Mathematic models of technological processes

- 4 A.L. Kazakov, M. M. Pavidis, M. L. Zharkov. Multiphase systems of mass service in switchyard modelling

## Mechanics of machines and robots

- 15 I.P. Popov, D. N. Paryshev, V. M. Samuylov, K. A. Vasil'yev. Balancing of vibromachines at construction of railways
- 20 I. A. Taratorkin, V. B. Derzhanskiy, A. I. Taratorkin, A. A. Volkov. Stabilizing the motion path of the wrongly controlled high-speed track-type vehicle

## Control in engineering systems

- 27 A.N. Kireev, M. A. Kireeva. Analysis of the errors of conditional sensitivity use at ultrasonic control of railroads rolling stock details
- 35 R. Ya. Suleymanov, M. G. Durandin. Methods of arcing reduction on the collector of traction electric motors
- 42 I. A. Yaitskov. Theoretical research on vibroacoustic characteristics of the locotractors cabin elements

## Organization and logistics

- 50 G.L. Akkerman, M. A. Myl'nikova. Organization of monitoring of the continuous welded railway thermal stress
- 57 V. M. Sai, T. K. Chernushevich. Insider risk assessment in the network «umbrella» structure
- 68 O. D. Pokrovskaya. Logistic rating of railway stations

## Research of young scientists

- 77 I.V. Pustovoy. Key performance indicators of information-dynamic model for management of service and maintenance carried out on locomotives

# Математические модели технологических процессов

УДК 656.212.5:519.872.8

*А.Л. Казаков, М.М. Пavidис, М.Л. Жарков*

## Применение многофазных систем массового обслуживания для моделирования сортировочной станции

UDC 656.212.5:519.872.8

*A.L. Kazakov, M.M. Pavidis, M.L. Zharkov*

## Multiphase systems of mass service in switchyard modelling

### Аннотация

Сортировочные станции занимают ключевое место в организации транспортных потоков на железных дорогах России. В этой связи актуальность приобретает вопрос о построении математических моделей существующих и проектируемых станций для прогнозирования и оптимизации их работы путем проведения компьютерного эксперимента. В данной статье рассмотрена одна из принципиальных схем сортировочной станции, по которой построена ее математическая модель, имеющая вид многофазной системы массового обслуживания. Создана имитационная модель сортировочной станции, выполнена ее программная реализация. Проведены численные расчеты, показавшие применимость предложенного подхода для сценарного моделирования работы сортировочных станций.

**Ключевые слова:** железнодорожная сортировочная станция, математическое моделирование, имитационная модель, многофазная система массового обслуживания, ВМАР-поток.

DOI: 10.20291/2079-0392-2018-2-4-14

### Annotation

Switchyards take the key place in the organization of railroad traffic flows in Russia. In this regard, the question of creating mathematical models of both existing and designed switchyards for forecasting and optimization of their work through an experiment is especially relevant. The article considers a basic switchyard scheme and its mathematical model which is a multiphase system of mass service. A switchyard imitating model is developed and its program realization is executed. The calculations conducted prove the applicability of the suggested approach to scenario modeling of switchyard operation.

**Keywords:** railway switchyard, mathematical modeling, imitating model, multiphase system of mass service, ВМАР-stream.

DOI: 10.20291/2079-0392-2018-2-4-14

---

*Статья рекомендована к публикации Л.В. Аршинским, зав. кафедрой «Информационные системы и защита информации» ИргУПС, д-ром техн. наук. E-mail: larsh@mail.ru.*

**Александр Леонидович Казаков**, д-р физ.-мат. наук, главный научный сотрудник, Институт динамики систем и теории управления имени В.М. Матросова СО РАН (ИДСТУ СО РАН); Иркутск, Россия. E-mail: kazakov@icc.ru.

**Михаил Максимович Пavidис**, аспирант; Иркутский государственный университет путей сообщения (ИргУПС); Иркутск, Россия. E-mail: pavidismiha1994@mail.ru.

**Максим Леонидович Жарков**, программист; Институт динамики систем и теории управления имени В.М. Матросова СО РАН (ИДСТУ СО РАН); Иркутск, Россия. E-mail: zharkm@mail.ru.

*The article is recommended for publication by L.V. Arshinsky, head for «IT systems and data security» chair, IrSURT, doctor of technical science. E-mail: larsh@mail.ru.*

**Alexander Leonidovich Kazakov**, doctor of Physical and Mathematical Sciences, chief research scientist, Matrosov Institute for System Dynamics and Control Theory SB RAS (IDSTU SB RAS); Irkutsk, Russia. E-mail: kazakov@icc.ru.

**Mikhail Maksimovich Pavidis**, postgraduate student, Irkutsk State University of Railway Transport (IrSURT); Irkutsk, Russia. E-mail: pavidismiha1994@mail.ru.

**Maxim Leonidovich Zharkov**, programmer, Matrosov Institute for System Dynamics and Control Theory SB RAS (IDSTU SB RAS); Irkutsk, Russia. E-mail: zharkm@mail.ru.

Сортировочные станции (СС) являются важнейшими инфраструктурными объектами на сети железных дорог. Они предназначены для массового расформирования и формирования поездов в соответствии с планом формирования и располагаются в местах массовой погрузки и выгрузки грузов, где происходит значимая корреспонденция поездопотоков между сходящимися линиями и перестроивается большое число поездов [1].

В настоящее время существует ряд проблем в изучении СС, связанных с тем, что применение детерминированных оптимизационных моделей часто оказывается неэффективным, поскольку необходимо учитывать множество различных факторов природного, экономического и техногенного характера, которые оказывают случайные воздействия на систему перевозок и создают помехи в работе СС. К числу указанных факторов относятся, в частности, отказы при работе нормально действующих устройств сигнализации, централизации и связи, технологические «окна» и «окна» большой продолжительности, отказы действующих локомотивов внутри станций и на перегонах, случаи нарушения плана формирования поездов, которые приводят к занятости внутростанционных каналов обслуживания и, как следствие, к осложнению эксплуатационной работы станции. Отметим также, что значительное влияние случайных факторов на грузовые перевозки – одна из характерных черт рыночной экономики в целом.

В подобной ситуации полезным инструментом исследования являются разного рода вероятностные (стохастические) модели [2], в частности, системы массового обслуживания (СМО), которые хорошо подходят для исследования объектов, в которых регулярно повторяются однотипные действия. Это, например, сортировочные станции, для которых, с одной стороны, характерно выполнение стандартных

технологических операций, с другой, входящий поток и дальнейшая его обработка подвержены воздействию случайных факторов [3].

Отметим для полноты изложения, что вероятностные модели – лишь один из существующих методов моделирования транспортных потоков [4] (см. также [5]). Однако в работах авторов данной статьи именно с использованием стохастических моделей был решен ряд содержательных задач управления перевозками, включая описание входящих на грузовую станцию общего пользования вагонопотоков [6]. При этом существенную роль в успехе исследований играло (и играет) то, что применяется комплексный подход к исследованию, основанный на концепции многоуровневого моделирования [7] с использованием методов компьютерной имитации [8]. В последних по времени публикациях авторов развит предложенный ранее подход к математическому моделированию работы транспортных систем, построена обобщенная стохастическая модель, имеющая вид многофазной системы массового обслуживания с групповым входящим потоком заявок [9], которая была проверена на примере исследования транспортно-пересадочных узлов современного мегаполиса [10].

В данной статье указанный подход применяется для моделирования работы СС, расположенных на Восточно-Сибирской железной дороге (ВСЖД) и Свердловской железной дороге (СвЖД). Строится математическая модель, имеющая вид трехфазной СМО. Для описания входящего вагонопотока используется ВМАР-поток [9, 10]. Возникающая СМО имеет сложную структуру, определить аналитически ее характеристики в общем случае не представляется возможным, поэтому на ее основе строится имитационная модель, которая реализуется в виде программного модуля. Выполняются численные расчеты, по результатам которых даются практические рекомендации.

### Характеристика объекта исследования

Сортировочная станция – раздельный пункт, предназначенный для массовой переработки вагонов и формирования составов по назначениям, установленным планом формирования поездов, и имеющий для выполнения этих работ специальные пути и маневровые средства.

На СС формируют сквозные, участковые, сборные и участково-сборные поезда, а также вывозные и передаточные поезда до ближайших грузовых станций узла и заводских станций.

Формирование на СС сквозных поездов дает возможность пропускать эти поезда без переработки через многие участковые станции и некоторые попутные сортировочные станции, что ускоряет доставку грузов, оборот вагонов и снижает себестоимость перевозок.

Рассмотрим модельную железнодорожную СС общего вида (рис. 1).

Основными подсистемами станции, от которых зависит ее производительность, являются парк приема с сортировочной горкой, в котором осуществляется приём поездов, расформирование состава и направление отдельных групп вагонов в сортировочный парк, сортировочный парк, где происходит накопление и окончание формирования составов для дальнейшей перестановки их в парк отправления, парк отправления, где производится технический и коммерческий осмотр составов, их подготовка для дальнейшего отправления из системы.

Параметры работы основных подсистем модельной станции соответствуют

параметрам работы четной системы двухсторонней СС И-С, расположенной на Восточно-Сибирской железной дороге. Статистические данные были получены по натурному обследованию ее работы, произведенному с 1.01.2018 по 28.02.2018. На основе полученных данных установлены технические и временные параметры обслуживания поездов, а также характеристики входящего на четную систему станции поездопотока.

Характеристики станции следующие: в парке приема имеются девять путей со средней вместимостью 75 условных вагонов каждый, работают два локомотива надвига с горкой средней мощности (до 3500 усл. ваг./сут); в сортировочном парке имеются 23 пути с такой же вместимостью, работают три локомотива, которые участвуют в окончании формирования составов; в парке отправки расположены восемь путей, с которых отправляются поезда на два направления. Параметры времени обслуживания в каждом парке представлены в таблице 1.

Учёт рассматриваемого транзитного поездопотока с переработкой (иначе – входящего) на станцию И-С регулируется диспетчерским аппаратом поочередно. Из-за напряжённой внутрисканционной работы не всегда имеется возможность достижения равномерной междуменной (между дневной и ночной сменами) обработки поездов. На основе статистических наблюдений нами установлено, что среднее число прибывающих поездов в дневную и ночную смены равно 14 и 8 соответственно, а среднее количество вагонов в поезде – 63,3.

Каждая подсистема предназначена для обслуживания поездов, при этом

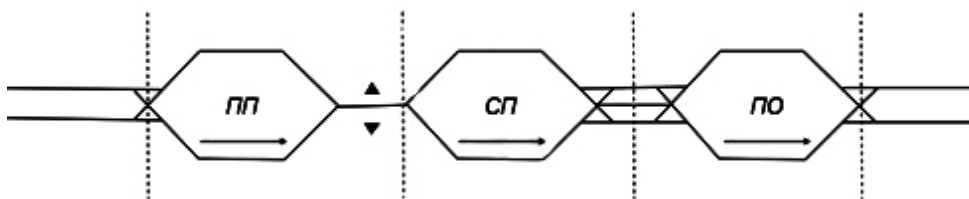


Рис. 1. Схема модельной сортировочной станции

Таблица 1

Характеристики работы модельной станции

	Парк приема		Сортировочный парк		Парк отправления	
	план	факт	план	факт	план	факт
Среднее время обслуживания, ч	1,95	2,68	5,90	6,86	2,79	3,80
Распределение времени обслуживания	$N(2,68, 0,50)$		$N(5,90, 0,50)$		$N(3,80, 0,50)$	
Распределение размера обслуживаемой группы	$B(75, 0,83)$		$B(75, 0,90)$		$B(75, 0,90)$	

Здесь  $N(\mu, \sigma)$  – нормальное распределение, где  $\mu$  – математические ожидание,  $\sigma$  – среднеквадратическое отклонение;  $B(n, p)$  – биномиальное распределение, где  $n$  – число испытаний,  $p$  – вероятность успеха.

в них повторяются однотипные действия, работа имеет циклический характер. В ходе обслуживания поездов существенную роль играют случайные факторы – ошибки персонала, отказы техники, технологические «окна» и «окна» большой продолжительности [11].

Математический аппарат для изучения закономерностей функционирования подобных систем изучается в теории массового обслуживания [12, 13]. Методы теории массового обслуживания в последние годы все более широко применяются при исследовании железнодорожных станций и узлов [14].

**Модель входящего транспортного потока**

Для математического описания вагонопотока, поступающего на СС, предлагается использовать модель ВМАР-потока. Последний представляет собой одно из возможных обобщений простейшего (пуассоновского) потока событий на случай, когда заявки поступают группами. Впервые данная модель была предложена в работе [12] (см. также [13]).

ВМАР-поток (Batch Markovian Arrival Process) отличается от простейшего потока с групповым поступлением заявок тем, что: а) интенсивность поступления групп заявок зависит от номера состояния управляющей цепи Маркова (ЦМ)  $v_i$  с непрерывным временем и конечным пространством состояний  $\{0, 1, \dots, W\}$ ; б) время пребывания ЦМ  $v_i$

в состоянии  $v$  имеет показательное распределение; в) после того как время пребывания цепи в состоянии  $v$  закончится, ЦМ с заданной вероятностью переходит в другое состояние  $v'$ , и при этом генерируется группа размера  $k \geq 0$ ; г) вероятности переходов удовлетворяют условию нормировки

$$\sum_{k=0}^{\infty} \sum_{v'=0}^W p_k(v, v') = 1, \quad v = \overline{0, W}.$$

Схожая, но значительно более простая модель входящего транспортного потока была ранее предложена в работе [15] для грузовой железнодорожной станции общего пользования.

Стохастическая модель работы модельной сортировочной станции имеет вид многофазной СМО с входящим ВМАР-поток.

Система состоит из трех последовательно расположенных фаз: фаза 1 – парк приема с сортировочной горкой, фаза 2 – сортировочный парк, фаза 3 – парк отправления. Каждая фаза имеет очередь размера  $m_k$ , а также  $n_k$  обслуживающих каналов,  $n_k, m_k < \infty, k = \overline{1, 3}$ . Фаза 2 состоит из нескольких параллельно расположенных одноканальных СМО с индивидуальными очередями (по числу каналов; рис. 2). Каналы первой и второй фаз блокируются (прекращают обслуживать заявки), если очередь на следующей фазе заполнена – этим предотвращается потеря заявок между фазами. Дисциплина принятия групп заявок – полный отказ,

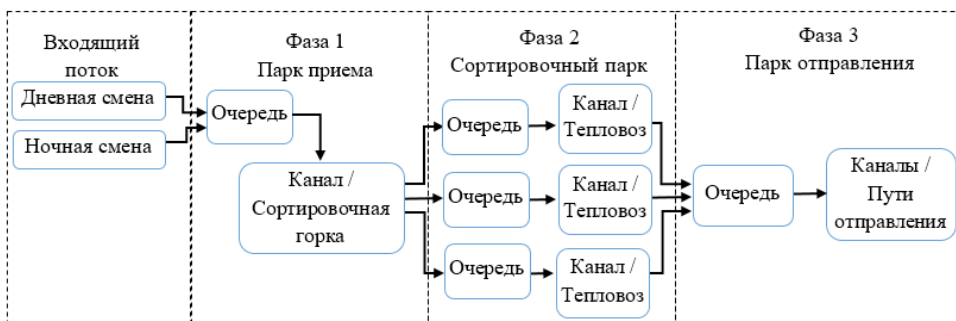


Рис. 2. Структурная схема модели работы сортировочной станции

дисциплина обслуживания очереди – FIFO (первый вошел, первый вышел). На всех фазах время обслуживания имеет нормальное распределение, также допустимо групповое обслуживание; характеристики работы каждой фазы представлены в таблице 1.

В терминах теории массового обслуживания [13] имеем СМО типа

$$BMAP / G^{X_1} / n_1 / m_1 \rightarrow \\ \rightarrow * / G^{X_2} / n_2 / m_2 \rightarrow * / G^{X_3} / n_3 / m_3,$$

где  $G$  – произвольное распределение времени обслуживания,  $X_i$  ( $i = 1, 2, 3$ ) – размер обслуживаемой группы на соответствующей фазе. Схематично данная СМО представлена на рис. 2.

Исследовать разработанную модель аналитическими методами в общем случае оказалось невозможно из-за наличия трех фаз, а также группового поступления и обслуживания заявок, поэтому на основе математической модели была разработана имитационная модель.

### Имитационная модель

Построена на принципах, ранее успешно примененных для имитации работы транспортно-пересадочных узлов (ТПУ) мегаполиса [9, 10] и реализована в виде модификации программного модуля для моделирования многофазных СМО.

Модуль позволяет получать приближенные функциональные характе-

ристики моделируемой системы и проводить сценарные расчеты.

Основные функции программы: генерирование количества заявок в прибывающих группах, генерирование времени прибытия групп заявок, проверка состояния системы, отображение процесса обслуживания заявки в графическом виде; отображение данных процесса выгрузки в таблицах, отображение результата генерирования в таблицах и сохранение в формате MS Excel.

Каналы в системе работают независимо друг от друга, допустимо наличие различного распределения времени обслуживания у каждого канала. Как только канал освобождается, на него поступает заявка из очереди (при ее наличии). Если очередь пуста, канал переходит в режим ожидания.

Отличие модифицированного программного модуля от созданного ранее и предназначенного для моделирования работы ТПУ в том, что добавлены некоторые дополнительные функции. В частности, предусмотрена возможность проследования заявки (группы заявок) сквозь фазу, минуя каналы обслуживания. При этом заявка не получает статус отклоненной и попадает в исходящий поток.

Для проверки предложенного подхода к моделированию выбраны две железнодорожных СС, расположенных на Транссибирской магистрали: станция И-С (ВСЖД) и станция К-У (СвЖД).

### Моделирование станции И-С

Параметры станции И-С описаны в разделе «Характеристика объекта исследования». Станция является двухсистемной с последовательным расположением парков. Работа обеих систем практически одинакова, поэтому рассмотрим для определенности четную.

Модель четной системы станции И-С следующая. Система имеет три фазы обслуживания. Фаза 1 – СМО с одним каналом и очередью на 700 мест. Фаза 2 – двухканальная СМО с очередью на 3500 мест. Фаза 3 – двухканальная СМО с очередью на 750 мест. Характеристики каналов обслуживания на каждой фазе представлены в таблице 1.

Станция в штатном режиме обрабатывает грузовые составы. Пассажирские составы следуют, минуя сортировочную горку. При этом они загружают главные пути, тем самым влияя на фазу 3. Последнее определяет необходимость учета пассажирских вагонов в модели, для чего в системе вводится специальный вид заявок, которые имеют нулевое время обслуживания на первой и второй фазах.

Результаты сценарного моделирования работы станции И-С при различных параметрах представлены в таблицах 2–4. Главным показателем того, что СС справляется с нагрузкой, является равенство нулю вероятности отказа, т. е. способность СМО обслужить все заявки.

Таблица 2

Средние характеристики работы сортировочной станции И-С при  $\lambda = 1,88$

	Поступило	Принято	$T_{\text{сист}}, \text{ мин}$	$P_{\text{loss}}$
Группы	308	308	578,4	0
Заявки	19712	19712		
	$\bar{k}$	$l$	$t_{\text{ph}}, \text{ мин}$	$t_{\text{lock}}, \text{ мин}$
Фаза 1	0,66	18,32	120,9	0
Фаза 2	1,96	2,10	354	0
Фаза 3	1,39	28,77	103,5	–

Таблица 3

Средние характеристики работы станции И-С при  $\lambda = 3$

	Поступило	Принято	$T_{\text{сист}}, \text{ мин}$	$P_{\text{loss}}$	
Группы	4031	3972	1885,00	0.03	
Заявки	143174	140976			
	$\bar{k}$	$l$	$t_{\text{ph}}, \text{ мин}$	$t_{\text{lock}}, \text{ мин}$	$t_{\text{sl}}, \text{ мин}$
Фаза 1	0,98	778,33	74,4	12446,20	24,18
Фаза 2	2,93	56,50	145,89	23967,60	38,8
Фаза 3	1,97	1688,43	1691,74	–	–

Таблица 4

Средние характеристики работы станции И-С при  $\lambda = 4,5$  и трех каналах на фазе 3

	Поступило	Принято	$T_{\text{сист}}, \text{ мин}$	$P_{\text{loss}}$	
Группы	4542	4542	776,5	0.01	
Заявки	153175	153175			
	$\bar{k}$	$l$	$t_{\text{ph}}, \text{ мин}$	$t_{\text{lock}}, \text{ мин}$	$t_{\text{sl}}, \text{ мин}$
Фаза 1	0,99	365,41	59,78	11987,19	9,47
Фаза 2	2,95	60,49	71,12	6046,00	18,15
Фаза 3	2,99	1223,55	645,6	–	–

Можно видеть, что в данном случае среднее время нахождения одной заявки (вагона) в системе составляет чуть более девяти часов. Очереди на каждой фазе имеют минимальную длину. По наблюдаемым показателям в суточный период можно утверждать, что сортировочная станция работает в штатном режиме и успешно справляется с текущей нагрузкой.

За недельный период моделирования можно видеть, что из-за нехватки тягового ресурса и недостаточности путей отправления на фазе 3 образуются большие очереди, и среднее время пребывания заявки приближается к 30 часам. Из-за роста длины очереди на фазе 3 постепенно нарастает длина очередей на фазах 1 и 2, что усложняет всю эксплуатационную работу станции.

Можно видеть, что при добавлении третьего канала на фазе 3 система начинает функционировать в нормальном режиме даже при увеличении интенсивности входящего потока.

Таким образом, в системе целесообразно использовать три канала на фазе 3. Для этого необходимо добавить на станции И-С новый путь, который обеспечит отправление поездов из системы, либо пересмотреть специализацию путей таким образом, чтобы обеспечить возможность беспрепятственного пропуска пригородных и пассажирских поездов изолированно от грузовых.

В настоящее время на станции И-С есть только один специализированный путь для отправления грузовых поездов, а второй путь частично занят пропуском пригородных и пассажирских поездов. При внесении рекомендованных изменений в технологию работы

станция сможет обрабатывать и пропускать до 150 тыс. вагонов в неделю.

### Моделирование станции К-У

Для полноты исследования предложенный подход был апробирован также на примере другой СС, расположенной на СВЖД.

Узловая станция К-У по объёму и характеру работ является сортировочной с последовательным расположением парков. Основным сортировочным устройством на станции является горка малой мощности с перерабатывающей способностью до 1500 ваг./сут.

Построим модель станции К-У. Система имеет три фазы обслуживания. Фаза 1 – СМО с одним каналом и очередью на 1125 мест. Фаза 2 – двухканальная СМО с очередью на 1500 мест. Фаза 3 – двухканальная СМО очередью на 750 мест. Характеристики каналов обслуживания представлены в таблице 5, средние значения времени обслуживания для каналов приняты согласно действующим нормативам.

Грузовые поезда прибывают с интенсивностью  $\lambda = 0,43$  в час, число вагонов подчиняется нормальному закону с параметрами  $\mu = 69,0$ ,  $\sigma = 6,3$  (здесь реальная картина несколько упрощена, в действительности закон распределения более сложный). Пассажирские поезда прибывают с интенсивностью  $\lambda = 1,18$  в час, число вагонов подчиняется нормальному закону распределения с параметрами  $\mu = 12,89$  и  $\sigma = 3,88$ .

Пассажирские поезда проходят сквозь станцию, минуя сортировочную систему, но с остановкой на станционных путях, что замедляет работу фазы 3 по отправлению поездов.

Таблица 5

Технические характеристики станции К-У			
	Фаза 1	Фаза 2	Фаза 3
Среднее время обслуживания	38 мин	20 мин	100 мин
Распределение времени подготовки канала	–	5 мин	–
Распределение времени обслуживания	$N(38, 16)$	$N(20, 4)$	$N(70, 100)$
Размер обслуживаемой группы	75	75	75

Результаты сценарного моделирования работы станции К-У при различных параметрах представлены в таблицах 6–8.

В таблице 6 представлены параметры функционирования станции в суточный период при интенсивности поступления ВМАР-потока  $\lambda = 1,61$  (составов в час).

Среднее время нахождения одной заявки (вагона) в системе составляет чуть более четырех часов. Очереди на каждой фазе имеют минимальную длину. По данным показателям можно утверждать, что сортировочная станция К-У успешно справляется с текущей нагрузкой.

Определим, какими станут показатели работы станции при увеличении интенсивности поступления грузовых поездов.

Результаты моделирования показывают, что при интенсивности поступления поездов, равной 2,5 состава в час, блокировок фазы 1 и 2 не наблюдается.

При интенсивности 2,82 составов в час общее время блокировки фазы 1 составило 7,9 часа, фазы 2 – 15,02 часа. Таким образом, система может стабильно функционировать при интенсивности входящего потока около 2,5 составов в час, превышение этого значения приводит к появлению блокировок фаз 1 и 2. Тем не менее даже при такой интенсивности вероятность отказа остается равной нулю. Это становится возможным за счет большой вместимости парков приема и отправления.

При средней интенсивности ВМАР-потока  $\lambda = 3$  (поездов в час) станция перестает справляться с нагрузкой, вероятность отказа в обслуживании больше нуля. Параметры работы системы при такой нагрузке за неделю модельного времени представлены в таблице 7.

По результатам моделирования можно видеть, что на фазе 3 наибольшие средняя длина очереди и среднее время пребывания заявки, т.е. эта фаза является самой загруженной.

Таблица 6

Средние характеристики работы сортировочной станции К-У при  $\lambda = 1,61$

	Поступило	Принято	$T_{\text{сист}}, \text{ мин}$	$P_{\text{loss}}$
Группы	548,33	548,33	241,45	0
Заявки	15467,50	15467,50		
	$\bar{k}$	$l$	$t_{\text{ph}}, \text{ мин}$	$t_{\text{lock}}, \text{ мин}$
Фаза 1	0,83	20,45	51,39	0
Фаза 2	0,60	2,50	40,42	0
Фаза 3	1,74	30,20	149,64	–

Здесь  $T_{\text{сист}}$  – среднее время в системе,  $P_{\text{loss}}$  – вероятность отказа,  $\bar{k}$  – среднее число занятых каналов,  $l$  – средняя длина очереди,  $t_{\text{ph}}$  – среднее время в фазе,  $t_{\text{lock}}$  – среднее время блокировки фазы.

Таблица 7

Средние характеристики работы станции К-У при  $\lambda = 3$

	Поступило	Принято	$T_{\text{сист}}, \text{ мин}$	$P_{\text{loss}}$	
Группы	3527,80	3441,00	1535,00	0,02	
Заявки	99846,80	95392,00			
	$\bar{k}$	$l$	$t_{\text{ph}}, \text{ мин}$	$t_{\text{lock}}, \text{ мин}$	$t_{\text{sl}}, \text{ мин}$
Фаза 1	0,99	778,33	68,60	12076,40	23,30
Фаза 2	0,95	56,50	92,12	23880,60	35,31
Фаза 3	2,00	1688,43	1374,28	–	–

Здесь  $t_{\text{sl}}$  – среднее время блокировки каналов соответствующей фазы.

Таблица 8

Средние характеристики работы станции К-У при  $\lambda = 4,5$   
двух каналах на фазе 1 и трех каналах на фазе 3

	Поступило	Принято	$T_{\text{сист}}, \text{ мин}$	$P_{\text{loss}}$	
Группы	4974,25	4936,67	851,80	0,01	
Заявки	142333,25	140234,67			
	$\bar{k}$	$l$	$t_{\text{ph}}, \text{ мин}$	$t_{\text{lock}}, \text{ мин}$	$t_{\text{sl}}, \text{ мин}$
Фаза 1	1,93	365,41	64,04	12237,19	12,17
Фаза 2	0,99	60,49	60,41	6144,00	17,64
Фаза 3	3,00	1223,55	727,36	–	–

В случае, когда на фазе 1 имеется два канала (локомотива и пути надвига), а на фазе 3 – три канала, узким местом становится сортировочная горка. Характеристики такой системы при средней интенсивности поступления  $\lambda = 4,5$  представлены в таблице 8.

Увеличение числа каналов на сортировочной горке (на фазе 1 с 1 пути надвига до двух) возможно только при модернизации всего объекта, что требует существенных капиталовложений, поэтому увеличение производительности в данном случае придется достигать за счет повышения скорости обслуживания.

Для системы рекомендуется использовать два канала на фазе 1 и три канала на фазе 3, два локомотива в парке прибытия и три локомотива в сортировочном парке. При таких параметрах станция сможет обрабатывать около 140 тыс. вагонов за неделю. Дальнейшее увеличение числа каналов малоэффективно ввиду ограниченной производительности фазы 2 – сортировочной горки.

В данной статье предложен подход к моделированию работы железнодорожных сортировочных станций с использованием математического аппарата многофазных систем массового обслуживания. Построена модель входящего на сортировочную станцию транспортного потока, имеющая вид ВМАР-потока. Разработана и программно реализована обобщенная имитационная модель сортировочной станции. Созданный программно-математический аппарат апробирован на примере действующих сортировочных станциях, расположенных на ВСЖД и СвЖД. В ходе проведенного вычислительного эксперимента показано, что предложенный подход позволяет оценить эффективность функционирования сортировочной станции текущего уровня работы, определить максимально допустимую нагрузку и найти в структуре станции узкие места с последующим устранением последних.

Работа выполнена при частичной финансовой поддержке РФФИ, проекты №№ 18-07-00604, 16-06-00464. ■

#### Литература

1. Общий курс железных дорог / под ред. Ю.И. Ефименко. М. : Изд. центр «Академия», 2005. 256 с. ISBN 5-7695-2046-9.
2. Акулиничев В.М., Кудрявцев В.А., Корешков А.Н. Математические методы в эксплуатации железных дорог. М. : Транспорт, 1981. 223 с. ISSN 2226-3780.
3. Правдин Н.В., Дыканюк М.Л., Негрей В.Я. Прогнозирование грузовых потоков. М. : Транспорт, 1987. 247 с. ISSN 2226-3780.
4. Введение в математическое моделирование транспортных потоков / под ред. А.В. Гасникова. М. : МФТИ, 2010. 362 с. ISBN 978-5-7417-0334-2.
5. Поттгофф Г. Учение о транспортных потоках / Пер. с нем. – М. : Транспорт, 1975. 344 с. ISSN 2226-3780.

6. Bychkov I.V., Kazakov A.L., Lempert A.A., Bukharov D.S. [и др.] An intelligent management system for the development of a regional transport logistics infrastructure // *Automation and Remote Control*. 2016. V. 77. No 2. Pp. 332–343. ISSN 0005-1179.
7. Казаков А.Л., Маслов А.М. Имитационное моделирование при проектировании грузовых терминалов железнодорожного транспорта // *Вестник УрГУПС*. 2010. № 1. С. 33–39. ISSN 2079-0392.
8. Казаков А.Л., Маслов А.М. Построение имитационной модели входящего на грузовую станцию вагонопотока // *Транспорт Урала* 2009. № 2. С. 17–22. ISSN 1815-9400.
9. Казаков А.Л., Лемперт А.А., Жарков М.Л. Моделирование транспортно-пересадочных узлов на основе систем массового обслуживания – многофазных и с BMAP-потокком // *Вестник УрГУПС*. 2016. № 4 (32). С. 4–14. ISSN 2079-0392.
10. Жарков, М.Л., Казаков А.Л., Лемперт А.А. Определение критических показателей работы транспортно-пересадочного узла на основе многофазной системы массового обслуживания // *Вестник УрГУПС*. 2017. № 3 (35). С. 40–52. ISSN 2079-0392.
11. Юрина О.П., Чечулина Ю.А. Особенности работы сортировочной станции при организации движения поездов по твердым ниткам графика. *Транспорт Урала*. 2014. № 1 (40). С. 81–84. ISSN 1815-9400.
12. Lucantoni D.M. New results on single server queue with a batch Markovian arrival process // *Commun. Statist. Stochastic Models*. 1991. Vol. 7. P. 1–46. ISSN 0968-8080.
13. Дудин А.Н., Клименок В.И. Системы массового обслуживания с коррелированными потоками. Минск : БГУ, 2000. 176 с. ISBN 985-445-315-4.
14. Шипулин А.В., Александров А.Э. Использование имитационной системы для моделирования железнодорожных станций и узлов // *Транспорт Урала*, 2011. № 4 (31). С. 67–72. ISSN 1815-9400.
15. Казаков А.Л., Маслов А.М. Построение модели неравномерного транспортного потока на примере железнодорожной грузовой станции // *Современные технологии. Системный анализ. Моделирование*. 2009. № 3. С. 27–32. ISSN 1813-9108.

#### Literature

1. General course of railways [Obshchiy kurs zheleznih dorog] / edited by Yu.I. Efimenko. M. : Pub. Centre «Academy», 2005. 256 p. ISBN 5-7695-2046-9.
2. Akulinichev V.M., Kudryavtsev V.A., Koreshkov A.N/ Mathematical methods in exploitation of railways [Matematicheskie metody v ekspluatatsii zheleznih dorog] M. : Transport, 1981. 223 p. ISSN 2226-3780.
3. Pravdin N.V., Dykanyuk M.L., Negrey V.Ya. Forecasting of freight flows [Prognozirovaniye gruzovyh potokov] M. : Transport, 1987. 247 p. ISSN 2226-3780.
4. Introduction to mathematical modeling of transport flows [Vvedenie v matematicheskoye modelirovaniye transportnyh potokov] / edited by A.V. Gasnikov. M.: MPhTI, 2010. 362 p. ISBN 978-5-7417-0334-2.
5. Pottgoff G. Instruction on transport flows [Uchenie o transportnyh potokah] / Trans. From German. – M. : Transport, 1975. 334 p. ISSN 2226-3780
6. Bychkov I.V., Kazakov A.L., Lempert A.A., Bukharov D.S. [et al.] An intelligent management system for the development of a regional transport logistics infrastructure // *Automation and Remote Control*. 2016. V. 77. No 2. Pp. 332–343. ISSN 0005-1179.
7. Kazakov A.L., Maslov A. M. Simulational modeling in designing railway freight terminals [Imitatsionnoye modelirovaniye pri proektirovaniy gruzovyh terminalov zheleznodorozhnogo transporta] // *Herald of USURT*. 2010. № 1. P. 33–39. ISSN 2079-0392.
8. Kazakov A.L., Maslov A. M. Building of a simulational model of incoming freight flow [Postroeniye imitatsionnoy modeli vkhodyashchego na gruzovuyu stantsiyu vagonopotoka] // *Transport of the Urals* 2009. № 2. P. 17–22. ISSN 1815-9400.
9. Kazakov A., Lempert A.A., Zharkov M.L. Modelling of transport hubs based on mass service systems – multiphasic and with BMAP-flow [Modelirovaniye transportno-peresadochnykh uzlov na osnove sistem massovogo obsluzhivaniya – mnogofaznykh i s BMAP-potokom] // *Herald of USURT*. 2016. № 4 (32). P. 4–14. ISSN 2079-0392.
10. Zharkov M.L., Kazakov A.L., Lempert A.A. Identification of critical values of transport hub functioning on the basis of a multiphasic mass service system [Opredeleniye kriticheskikh pokazateley raboty transportno-peresadochnogo uzla na osnove mnogofaznoy sistemy massovogo obsluzhivaniya] // *Herald of USURT*. 2017. № 3 (35). P. 40–52. ISSN 2079-0392.

11. Yugrina O.P., Chechulina Yu.A. С Special features of a sorting yard work under train movement by fixed schedule [Osobennosti raboty sortirovochnoy stantsii pri organizatsii dvizheniya poezdov po tverdyim nitkam grafika] Transport of the Urals. 2014. № 1 (40). P. 81–84. ISSN 1815-9400.
12. Lucantoni D.M. New results on single server queue with a batch Markovian arrival process // Commun. Statist. Stochastic Models. 1991. Vol. 7. P. 1–46. ISSN 0968-8080.
13. Dudin A.N., Klimenock V.I. Mass service systems with correlated flows [Sistemy massovogo obsluzhivaniya s korrelirovannymi potokami] Minsk : BSU, 2000. 176 p. ISBN 985-445-315-4.
14. Shipulin A.V., Aleksandrov A.E. Application of simulational system for modeling railway stations and hubs [Ispolzovanie imitatsionnoy sistemy dlya modelirovaniya zheleznodorozhnyh stantsiy i uzlov] // Transport of the Urals. 2011. № 4 (31). P. 67–72. ISSN 1815-9400.
15. Kazakov A.L., Maslov A.M. Building a model of sporadic transport flow using the example of a railway freight yard // Modern technology. Systemic analysis. Modelling. [Postroenie modeli neravnomernogo transportnogo potoka na primere zheleznodorozhnoy gruzovoy stantsii // Sovremennye tehnologii. Sistemny analiz. Modelirovanie] 2009. № 3. P. 27–32. ISSN 1813-9108.

*Статья сдана в редакцию 28 апреля 2018 года  
0,72 а. л.*

# Механика машин и роботов

УДК 51-74

*И.П. Попов, Д.Н. Парышев, В.М. Самуилов, К.А. Васильев*

## Балансировка вибромашин при строительстве железнодорожного пути

UDC 51-74

*I.P. Popov, D.N. Paryshev, V.M. Samuylov, K.A. Vasil'yev*

## Balancing of vibromachines at construction of railways

### Аннотация

Исследуется возможность аналитического синтеза искусственной величины, имеющей размерность массы и удовлетворяющей главному уравнению механики, посредством которого определяется инертность. Синтезированная с применением электрических устройств инертность может использоваться для создания систем автоматизированной балансировки машин, массивные рабочие органы которых совершают возвратно-поступательные движения. Особую значимость эта задача приобретает для грохотов, применяемых для сепарации балласта, используемого при

укладке железнодорожного полотна, поскольку массы движущихся частей непрерывно изменяются в широких пределах за счет непостоянства подачи сортируемого материала. Возникающая в таких случаях неуравновешенность машины вызывает значительную вибрацию, компенсировать которую иными средствами затруднительно. При автоматизированной балансировке грохотов в следящем режиме движущийся элемент объекта с синтезированной инертностью должен быть прикреплен к движущейся массивной части грохота, подлежащей регулированию. Посредством следящей

системы фиксируется отклонение от оптимальной инертной массы и осуществляется ее коррекция.

**Ключевые слова:** синтезированная инертность, грохот, балласт, неуравновешенность, вибрация, магнитное поле, электрическое поле.

DOI: 10.20291/2079-0392-2018-2-15-19

### Annotation

The possibility of analytical synthesis of a synthetic value characterized with dimensional weight and satisfying to the main mechanics equation of inertness is studied. Inertness, synthesized by electric devices can be applied to creation of automatic

*Статья рекомендована к публикации С.В. Тарасян, канд. техн. наук, УрГУПС. E-mail: vladimir@usurt.ru.*

**Игорь Павлович Попов**, главный инженер проекта; ЗАО «Курганстальмост»; г. Курган, Россия. E-mail: ip.popow@yandex.ru.

**Дмитрий Николаевич Парышев**, действительный член РАТ, генеральный директор ЗАО «Курганстальмост»; г. Курган, Россия. E-mail: kancler@kurganstalmost.ru.

**Валерий Михайлович Самуилов**, д-р техн. наук, действительный член РАТ, профессор; Екатеринбург, Россия. E-mail: VSamuilov@mail.ru.

**Константин Александрович Васильев**, канд. техн. наук, руководитель проекта ЗАО Курганстальмост»; г. Курган, Россия. E-mail: kavas@mail.ru.

*The article is recommended for publication by V.S. Tarasyan, candidate of technical science, USURT. E-mail: vladimir@usurt.ru.*

**Igor Pavlovich Popov**, chief project engineer, ZAO «Kurganstalmost»; Kurgan, Russia. E-mail: ip.popow@yandex.ru.

**Dmitry Nikolayevich Paryshev**, RAT titular member, CEO for ZAO «Kurganstalmost»; Kurgan, Russia. E-mail: kancler@kurganstalmost.ru.

**Valery Mikhailovich Samuilov**, doctor of technical science, RAT titular member, professor, Ural State University of Railway Transport (USURT), Ekatherinburg, Russia E-mail: VSamuilov@mail.ru.

**Konstantin Alexandrovich Vasilyev**, candidate of technical science, project head manager for ZAO «Kurganstalmost»; Kurgan, Russia. E-mail: kavas@mail.ru.

balancing systems for machines with massive, reciprocally moving parts. This task seems to be of special importance concerning vibrator screens applied to separation of the ballast while laying railways as the mass of their moving parts continuously changes over a wide range due to inconstancy of the sorted material supply. The imba-

lance of the machine arising in such cases causes considerable vibration which is difficult to compensate by other means. While automated balancing of vibration screens in the tracking mode, the moving element of the object with synthesized inertness is to be attached to the moving massive part of the vibration screen subjected to regulation. By

means of the tracking system the deviation from optimum inert weight is fixed and corrected.

**Keywords:** synthesized inertness, vibration screen, ballast, imbalance, vibration, magnetic field, electric field.

DOI: 10.20291/2079-0392-2018-2-15-19

## Введение

Существуют два вида массы, которые эквивалентны друг другу – гравитационная и инертная. Первая определяется законом всемирного тяготения, вторая – главным уравнением механики

$$f = m \frac{d^2x}{dt^2}, \quad (1)$$

где  $f$  – сила, Н;  $m$  – масса, кг;  $x$  – перемещение, м;  $t$  – время, с.

Величина как гравитационной, так и инертной массы зависит от объема и плотности материала физического тела, обладающего массой.

Величина  $m_C$ , являющаяся параметром какого-либо устройства и удовлетворяющая выражению (1) вне зависимости от объема и плотности материала, из которого оно изготовлено, может рассматриваться в качестве искусственно созданной массы. Подчинение выражению (1) означает, что устройство обладает искусственной инертностью, природа которой не связана с наличием и плотностью вещества [1–12].

Исследование имеет в качестве своей задачи аналитический синтез искусственной величины, имеющей размерность массы и удовлетворяющей выражению (1), другими словами, синтез искусственной инертности.

Косвенное указание на возможность такого синтеза дает изоморфизм в математическом смысле, связывающий формулы для механических

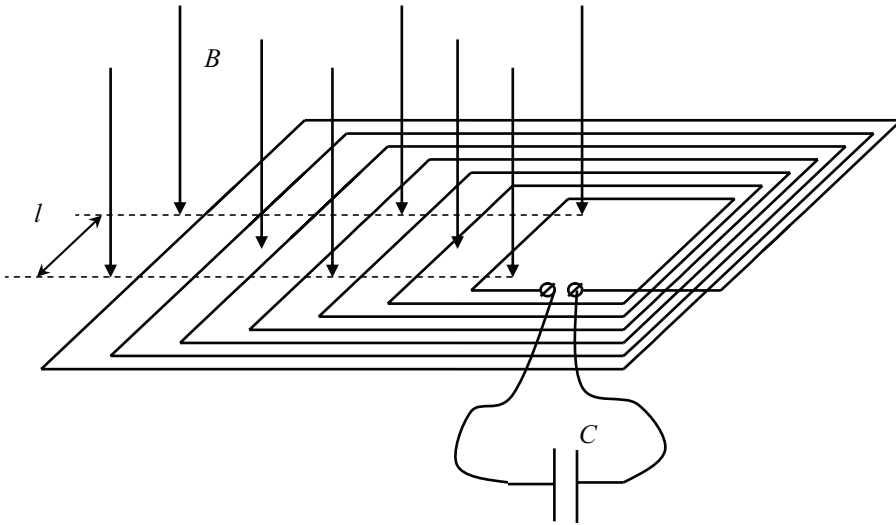
и электрических процессов, один из вариантов которого предполагает следующее дуальное соответствие:

$$m \Rightarrow C. \quad (2)$$

Но изоморфные соотношения нельзя рассматривать как прямые физические зависимости потому, что связываемые процессы или объекты физически не взаимодействуют. Поэтому рассматривать применение электрической емкости для моделирования синтезированной массы можно лишь в такой технической системе, в которой одновременно протекают как механические, так и электрические процессы.

Синтезированная с применением электрических устройств инертность может использоваться для создания систем автоматизированной балансировки машин, массивные рабочие органы которых совершают возвратно-поступательные движения. Особую значимость эта задача приобретает для грохотов, применяемых для сепарации балласта, используемого при укладке железнодорожного полотна, поскольку массы движущихся частей непрерывно изменяются в широких пределах за счет непостоянства подачи сортируемого материала. Возникающая в таких случаях неуравновешенность машины вызывает значительную вибрацию, компенсировать которую иными средствами затруднительно.

Конструктивное исполнение объекта с синтезированной инертностью представлено на рис.



Устройство, обладающее искусственной массой  
 число активных проводников –  $n$ , размер их участков, взаимодействующих с магнитным полем, –  $l$ , величина индукции –  $B$ , электрическая емкость –  $C$ . Остальные параметры обмотки как механические, так и электрические во внимание не принимаются

Электродвижущая сила, индуцируемая в обмотке, связана со скоростью движения обмотки относительно силовых линий магнитного поля:

$$e_i = -Bln \frac{dx}{dt}.$$

Эта ЭДС равна напряжению на обкладках конденсатора:

$$Bln \frac{dx}{dt} = \frac{1}{C} \int_0^t idt,$$

где  $i$  – электрический ток.

Дифференцирование полученной формулы по времени дает

$$Bln \frac{d^2x}{dt^2} = \frac{1}{C} i,$$

$$i = BlnC \frac{d^2x}{dt^2}.$$

Подстановка выражения для тока в формулу для силы Ампера приводит к следующему:

$$F = Blni = (Bln)^2 C \frac{d^2x}{dt^2} = m_c \frac{d^2x}{dt^2}.$$

Полученная формула совпадает с выражением (1) – главным уравнением механики, которое и определяет массу. В этой формуле

$$m_c = (Bln)^2 C \quad (3)$$

– синтезированная масса. Отсюда вытекает формула для синтезированной (квазиэлектрической) емкости, величина которой определяется массой:

$$C_m = \frac{m}{(Bln)^2}.$$

Объект с емкостной инертностью (3), соединенный с упругим элементом, представляет собой колебательную систему, в которой могут возникать свободные гармонические колебания в частоте

$$\omega = \sqrt{\frac{k}{m_c}} = \frac{1}{Bln} \sqrt{\frac{k}{C}},$$

где  $k$  – коэффициент упругости пружины. Сопоставление этой формулы с известным соотношением

$$\omega = \frac{1}{\sqrt{LC}}$$

позволяет установить выражение для синтезированной индуктивности

$$L_k = \frac{(Bl_n)^2}{k}.$$

Итак, механический  $km_C$  маятник с наименьшими основаниями может быть представлен в качестве электрической  $CL_k$  системы.

Колебания в  $km_C$  ( $CL_k$ ) устройстве, осуществляемые без подвода энергии извне, сопровождаются трансформацией энергии электрического поля в потенциальную энергию упругого элемента и наоборот, т. е. происходит обмен энергиями различной физической природы.

Синтезированная инертность не сводится к изоморфизму (2), т. к. он не позволяет использовать электрические приборы в составе механических

изделий, равно как и грузы или пружины – в составе электрических устройств.

При автоматизированной балансировке грохотов в следящем режиме движущийся элемент объекта с синтезированной инертностью должен быть прикреплен к движущейся массивной части грохота, подлежащей регулированию. С помощью следящей системы фиксируется отклонение от оптимальной инертной массы и осуществляется ее коррекция. Выражение (3) показывает, что регулирующее воздействие на инертную массу производится путем усиления или ослабления магнитного или электрического полей. В результате суммарная инертность остается неизменной, что обеспечивает балансировку грохота при его неравномерной нагрузке. ■

#### Литература

1. Попов И.П. Dependence of the piezoelectric transducer reactance on the mechanical parameters of its load // Scientific and technical journal of information technologies, mechanics and optics. 2013. № 5 (87). P. 94–98. ISSN 2226-1494.
2. Попов И.П. Сведение постоянной Планка к классическим фундаментальным константам // Вестник Удмуртского университета. Физика и химия. 2014. Вып. 3. С. 51–54. ISSN 1810-5505.
3. Попов И.П. Реализация частной функциональной зависимости между индуктивностью и массой // Российский научный журнал. 2012. № 6(31). С. 300, 301. ISSN 1995-4417.
4. Попов И.П. Электромагнитное представление квантовых величин // Вестник Курганского государственного университета. Естественные науки. Вып. 3. 2010. № 2 (18). С. 59–62. ISSN 2222-3363.
5. Попов И.П. Сопоставление квантового и макроописания магнитного потока // Сборник научных трудов аспирантов и соискателей Курганского государственного университета. 2011. Вып. XIII. С. 26. ISBN 978-5-4217-0072-2.
6. Попов И.П. Вращательные инертно-емкостные устройства // Вестник Самарского государственного технического университета. Технические науки. 2011. № 3 (31). С. 191–196. ISSN 2079-3308.
7. Попов И.П. Упруго-индуктивный осциллятор // Российский научный журнал. 2013. № 1 (32). С. 269, 270. ISSN 1995-4417.
8. Попов И.П. и др. Упругая емкость в цепи питания пьезоэлектрического преобразователя // Вестник Курганского государственного университета. Технические науки. Вып. 11. 2016. № 3 (42). С. 87–89. ISSN 2222-3312.
9. Попов И.П. и др. Вращательное инертно-емкостное зарядно-разрядное устройство // Вестник Курганского государственного университета. Технические науки. Вып. 7. 2012. № 2 (24). С. 85, 86. ISSN 2222-3312.
10. Попов И.П. Переходный процесс при подключении пьезоэлектрического преобразователя с инертной нагрузкой к источнику постоянного напряжения // Вестник Курганского государственного университета. Технические науки. Вып. 8. 2013. № 2 (29). С. 82, 83. ISSN 2222-3312.

**References**

1. Popov I.P. Dependence of the piezoelectric transducer reactance on the mechanical parameters of its load [Popov I.P. Dependence of the piezoelectric transducer reactance on the mechanical parameters of its load] // Scientific and technical journal of information technologies, mechanics and optics. 2013. № 5 (87). P. 94–98. ISSN 2226-1494.
2. Popov I.P. Reduction of the Planck constant to classical fundamental constants [Popov I.P. Svedenie postoyannoj Planka k klassicheskim fundamental'nyim konstantam] // Herald of the Udmurt University. Physics and Chemistry. 2014. Issue 3. C. 51–54. ISSN 1810-5505.
3. Popov I.P. Realization of a particular functional relationship between inductance and mass [Popov I.P. Realizaciya chastnoj funkcional'noj zavisimosti mezhdu induk-tivnost'yu i massoj] // Russian scientific journal. 2012. № 6 (31). P. 300– 301. ISSN 1995-4417.
4. Popov I.P. Electromagnetic representation of quantum variables [Popov I.P. EHlektromagnitnoe predstavlenie kvantovyh velichin] // Herald of the Kurgan State University. Ser. Natural Sciences. Issue 3. 2010. № 2 (18). P. 59–62. ISSN 2222-3363.
5. Popov I.P. Comparison of the quantum and macro descriptions of the magnetic flux [Popov I.P. Sopostavlenie kvantovogo i makroopisaniya magnitnogo potoka] // Collection of scientific works of postgraduate students and applicants of Kurgan State University. 2011. Issue XIII. P. 26. ISBN 978-5-4217-0072-2.
6. Popov I.P. Rotational inert-capacitive devices [Popov I.P. Vrashchatel'nye inertno-emkostnye ustrojstva] // Herald of the Samara State Technical University. Technical Sciences. 2011. № 3 (31). P. 191–196. ISSN 2079-3308.
7. Popov I.P. Elastic-inductive oscillator [Popov I.P. Uprugo-induktivnyj oscillyator] // Russian scientific journal. 2013. № 1 (32). P. 269–270. ISSN 1995-4417.
8. Popov I.P. and others. Resilient capacity of a piezoelectric transducer power supply circuit [Popov I.P. i dr. Uprugaya emkost' v cepi pitaniya p'ezoehlektricheskogo pre-obrazovatelya] // Herald of the Kurgan State University. Ser. Technical Sciences. Issue 11. 2016. № 3 (42). P. 87–89. ISSN 2222-3312.
9. Popov I.P. Rotational inert-capacitive charge-discharge device [Popov I.P. i dr. Vrashchatel'noe inertno-emkostnoe zaryadno-razryadnoe ust-rojstvo] // Herald of the Kurgan State University. Ser. Technical Sciences. Issue 7. 2012. № 2 (24). P. 85–86. ISSN 2222-3312.
10. Popov I.P. Transition while connecting a piezoelectric transducer with inertial load to a constant voltage source [Popov I.P. Perekhodnyj process pri podklyuchenii p'ezoehlektricheskogo preobrazovatelya s inertnoj nagruzkoy k istochniku postoyannogo napryazheniya] // Herald of the Kurgan State University. Ser. Technical Sciences. Issue 8. 2013. № 2 (29). P. 82–83. ISSN 2222-3312.

*Статья сдана в редакцию 26 февраля 2018 года  
0,34 а. л.*

*И.А. Тараторкин, В.Б. Держанский, А.И. Тараторкин, А.А. Волков*

## Стабилизация траектории движения быстроходной гусеничной машины при ошибочных управлениях

*I.A. Taratorkin, V.B. Derzhanskiy, A.I. Taratorkin, A.A. Volkov*

## Stabilizing the motion path of the wrongly controlled high-speed track-type vehicle

### Аннотация

Цель работы состоит в обосновании технических решений, обеспечивающих реализацию скоростных качеств машины при ошибочных управлениях водителя. В данной работе рассматривается возможность автоматической компенсации двух ошибочных управлений – снижение подачи топлива перед входом в поворот и превышение водителем скоростного режима движения. Первое приводит к заглоханию двигателя

при входе в поворот и остановке машины. Второе сопровождается неуправляемым движением с боковым заносом. Для предотвращения заглохания двигателя при входе машины в поворот в предлагаемой автоматической системе управления движением осуществляется мониторинг, идентификация правильности управляющего действия водителя, на основе анализа результатов мониторинга система корректирует при необходимости управление подачи топлива.

Для этого в систему вводятся два мотор-редуктора – в привод управления топливным насосом высокого давления и в привод управления золотниковой коробкой переключения передач в трансмиссии. При идентификации ошибочного управления автоматически происходит переключение передач на номер ниже с одновременным увеличением подачи топлива. Для предотвращения неуправляемого бокового заноса в систему дополнительно вводится гидрозамедлитель

*Статья рекомендована к публикации А.А. Абызовым, д-ром техн. наук, доцентом, профессором кафедры «Техническая механика», ЮУрГУ. E-mail: abyzovaa@susu.ru.*

**Игорь Александрович Тараторкин**, д-р техн. наук, заведующий отделом механики транспортных машин Института машиноведения УрО РАН, Екатеринбург; профессор кафедры «Гусеничные машины и прикладная механика» Курганского государственного университета; г. Курган, Россия. E-mail: ig\_tar@mail.ru.

**Виктор Борисович Держанский**, д-р техн. наук, ведущий научный сотрудник Института машиноведения УрО РАН, Екатеринбург; заведующий кафедрой «Гусеничные машины и прикладная механика» Курганского государственного университета; г. Курган, Россия. E-mail: dvb\_47@mail.ru.

**Александр Игоревич Тараторкин**, научный сотрудник Института машиноведения УрО РАН; Екатеринбург, Россия. E-mail: alexandr\_tar@mail.ru.

**Александр Александрович Волков**, программист Института машиноведения УрО РАН, Екатеринбург; аспирант кафедры «Гусеничные машины и прикладная механика» Курганского государственного университета; г. Курган, Россия. E-mail: aL\_volkov14@mail.ru.

*The article is recommended for publication by A.A. Abyzov, doctor of technical science, assistant professor, professor for «Engineering mechanics» chair, SUSU. E-mail: abyzovaa@susu.ru*

**Igor Alexandrovich Taratorkin**, doctor of technical science, head for «Mechanics of transport machines» department, The Institute of Engineering Science, RAS (Ural Branch), Ekatherinburg; professor for «Track laying vehicles and applied mechanics» chair, Kurgan State University; Kurgan, Russia. E-mail: ig\_tar@mail.ru.

**Victor Borisovich Derzhanskiy**, doctor of technical science, leading research scientist, The Institute of Engineering Science, RAS (Ural Branch), Ekatherinburg; head for «Track laying vehicles and applied mechanics» chair, Kurgan State University; Kurgan, Russia. E-mail: dvb\_47@mail.ru.

**Alexander Igorevich Taratorkin**, research scientist, The Institute of Engineering Science, RAS (Ural Branch); Ekatherinburg, Russia. E-mail: alexandr\_tar@mail.ru.

**Alexander Aleksandrovich Volkov**, programmer, The Institute of Engineering Science, RAS (Ural Branch); Ekatherinburg; post-graduate student for «Track laying vehicles and applied mechanics» chair, Kurgan State University; Kurgan, Russia. E-mail: aL\_volkov14@mail.ru.

или электромашина. Введение этих элементов придает машине новые качества – возможность торможения при движении машины в повороте и автоматического регулирования скорости движения по условиям безопасности.

**Ключевые слова:** гусеничная машина, механизм поворота, стабилизация, траектория, отклонения.

DOI: 10.20291/2079-0392-2018-2-20-26

#### Annotation

The article is aimed at justification of the technical solutions providing high-speed performance of the vehicle wrongly controlled by the driver. The possibility of

automatic compensation is considered for two types of wrong controlling – decrease of fuel supply before going into turn and overspeeding. The former leads to the engine stalling into turn, the latter entails uncontrollable movement characterized with the side skidding. To prevent the engine from stalling in a turn, the considered automatic motion control system monitors and assesses the adequacy of the driver's operations. According to the monitoring results analysis, the system corrects, if necessary, the fuel supply. Two motor-reducers are introduced in the system for this purpose – in the fuel injection pump control device and in the valve box

control transmission. When wrong controlling identified, the transmission shifts a number lower automatically simultaneously with the fuel supply increase. To prevent uncontrollable side skidding, a hydro-inflating or electric delay device are additionally introduced into the system. Introduction of the two elements described provides the vehicle with new qualities – the breaking ability in a turn and automatic speed control under the terms of safety.

**Keywords:** track-type vehicle, steering device, stabilization, motion path, deviations.

DOI: 10.20291/2079-0392-2018-2-20-26

Одно из основных эксплуатационных свойств транспортных гусеничных машин (ГМ) – подвижность, оцениваемая скоростными качествами. Повышение удельной мощности машин до 25 кВт/т, совершенствование трансмиссий, систем управления движением и информационного обеспечения хотя и способствует росту скоростных качеств современных гусеничных машин, но ограничивается динамическими явлениями, в том числе при ошибочным управлением водителем [1–3].

Для гусеничной машины с приводом гидробъемного механизма поворота (ГОМП) от насосного колеса гидротрансформатора (ГТ) характеристика системы управления поворотом – зависимость кривизны  $k$  от угла поворота штурвала  $\alpha_{шт.}$ , номера включенной передачи  $m_j$  и передаточного отношения гидротрансформатора  $i_{ГТ}$ ,  $k(\alpha_{шт.}, m_j, i_{ГТ})$  приведена на рис. 1. При заблокированном ГТ ( $i_{ГТ} = 1$ ) кривизна траектории для всех передач ( $m_j = 1 \dots 4$ ) пропорциональна углу поворота штурвала (рис. 1, график 1). Чувствительность

кривизны траектории к управляющему воздействию уменьшается с ростом номера передачи на величину, равную отношению передаточных чисел на смежных передачах трансмиссии. Это обеспечивает в характерных условиях движение машины без бокового заноса, т. е.

$$\leq \text{— (график 3)}.$$

При разблокировке ГТ ( $i_{ГТ} < 1$ ) уменьшение частоты вращения турбинного колеса из-за роста момента сопротивления повороту приводит к повышению чувствительности системы управления (график 2). Повышение кривизны траектории приводит к дополнительному возрастанию момента сопротивления повороту ГМ, формируемому взаимодействием гусениц с опорным основанием [4, 5]. Момент сопро-

тивления повороту  $M_n = k \sum_{i=1}^n C_{yi} l_i^2$ ,  $C_{yi}$  – коэффициент сопротивления боковому выводу  $i$ -й оси опорных катков, число которых  $i = n$ , а  $l_i$  – продольная координата  $i$ -й оси относительно центра масс.

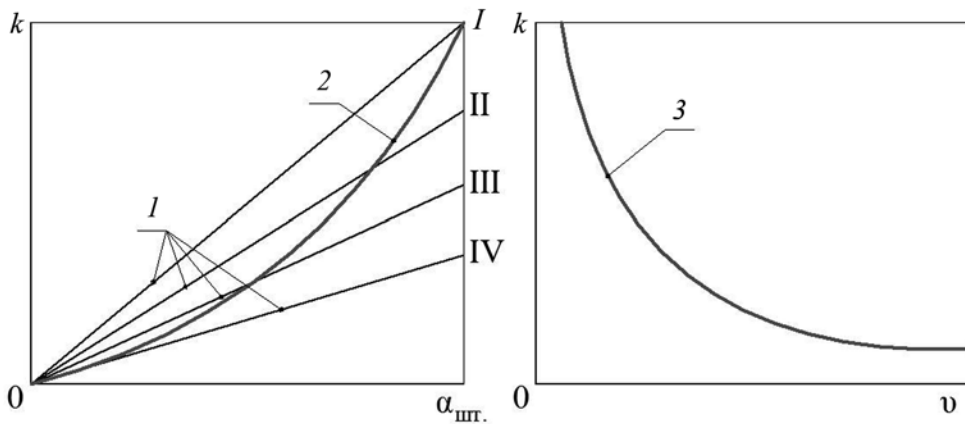


Рис. 1. Зависимость кривизны траектории от угла поворота штурвала

Значит, увеличение кривизны траектории приводит к увеличению загрузки двигателя, вплоть до его заглохания. Кроме того, рост кривизны траектории приводит к спиралевидности траектории движения (рис. 2).

Водитель, воздействуя приводами управления на гидропривод, изменяет режим его работы и тем самым изменяет направление движения машины. Поведением машины при этом контролирует водитель. Для компенсации возникающих отклонений траектории водитель воздействует на органы

управления, пытаясь реализовать требуемую траекторию движения с необходимой для безопасности точностью. Но из-за ограниченности психофизиологических свойств водителя, его утомляемости в процессе длительного движения, принятые решения и реализуемое им управляющее воздействие характеризуются большим количеством ошибок. В частности, когда машина движется на определенной передаче, при изменении направления дороги опытный водитель оценивает ситуацию, прогнозирует траекторию движения машины и принимает решение, поворачивая штурвал на некоторый угол. Для ограничения скоростного режима по условиям безопасности движения в повороте водитель интуитивно уменьшает подачу топлива. При этом снижается угловая скорость вала двигателя и его мощность [6–8]. Снижение угловой скорости двигателя приводит к разблокировке гидротрансформатора. В соответствии со свойствами рассматриваемой системы управления поворотом, возрастает чувствительность кривизны траектории к управляющему воздействию (рис. 1, график 2). Увеличение кривизны траектории сопровождается ростом мощности сопротивления повороту, приводит к перегрузке, заглоханию двигателя и остановке машины. Следовательно, управляющее действие по снижению

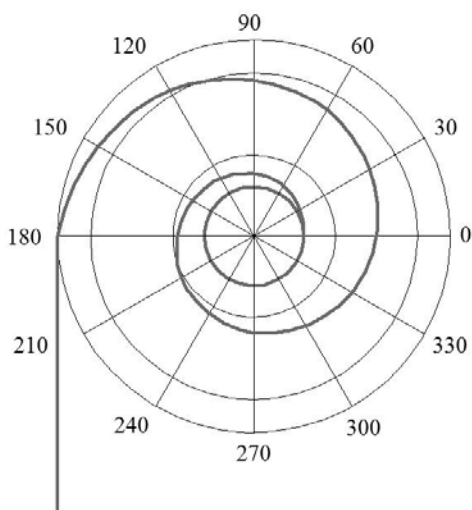


Рис. 2. Спиралевидная траектория движения



Предотвращение заглохания двигателя осуществляется следующим образом. По сигналам датчиков угла поворота штурвала 8, угловой скорости вращения вала двигателя 7 бортовой компьютер 6 подает команду на блок управления первого мотор редуктора 9 для увеличения подачи топлива, компенсирующую ошибочные действие водителя. Кроме того, бортовой компьютер 6 подает команду на второй мотор-редуктор золотниковой коробки 4 для включения передачи на номер ниже. В этом случае двигатель не заглохнет, а машина движется с требуемой кривизной траектории.

Второе ошибочное управляющее воздействие водителя – превышение скоростного режима движения по условиям безопасности; предотвращение бокового заноса компенсируется следующим образом. Занос может быть предотвращен компенсирующим управлением водителя или автоматизированной системы по регулированию угловой скорости поворота и кривизны траектории при одновременном торможении машины. Однако при торможении ведущие колеса обоих бортов вращаются синхронно, а чувствительность машины компенсирующему управлению поворота в этом режиме равна нулю. Сокращение частоты вращения вала двигателя снижает и значение заданной угловой скорости поворота в соответствии со свойствами гидропривода, что также увеличивает отклонение траектории от заданной.

Необходимая точность траектории движения без бокового заноса и компенсация ошибочных действий водителя обеспечиваются введением в систему между турбинным колесом и входным валом автоматической коробки передач гидрозамедлителя (ГЗ) с электромагнитным клапаном, регулирующим его заполнение (на рис. 3 не показан). Для предохранения двигателя от перегрузки при торможении предусмотрено перенаправление подачи рабочей жидкости из межлопаточного пространства гидротрансформатора 3,

т.е. его опорожнение. Рабочая жидкость в этом режиме подается в гидрозамедлитель с помощью электромагнитного клапана. Выход БК 6 соединен с электромагнитными клапанами управления наполнением ГЗ и опорожнением гидротрансформатора, фрикциона блокировки ГТ ( $\Phi_{\text{бл}}$ ).

При идентификации отклонения траектории система создает режим движения на повышенной частоте вращения вала двигателя 1, переключает передачу в АКП 18 на номер ниже, уменьшает расчетную кривизну регулирования угла наклона шайбы гидронасоса ГОМП 5 по сигналу, подаваемому на второй канал управления ГОМП.

Предлагаемая система позволяет повысить скорость движения БГМ при выполнении условий вписываемости в ограниченный коридор без бокового заноса. Ввод гидрозамедлителя с электромагнитным клапаном управления его заполнением и опорожнением ГТ придает быстроходной гусеничной машине новые свойства: возможность торможения машины, сохраняя возможность управления поворотом. Это свойство особенно эффективно не только при ошибочном превышении водителем скорости входа в поворот, но и при движении машины на спусках по серпантину; сохраняется управляемость и исключается «заброс» двигателя по оборотам. Расширение номенклатуры датчиков G сенсора – установка датчиков бокового ускорения в кормовой части корпуса – позволяет точнее определять условия бокового заноса. Также снижаются требования к квалификации водителя и его утомляемость при длительном движении по дорогам ограниченной ширины и низкими сцепными свойствами.

Однако торможение гусеничной машины гидрозамедлителем сопровождается существенными затратами энергии, нагревом рабочей жидкости и необходимостью ее охлаждения [11]. Энергоэффективность системы можно повысить, если в конструкцию вместо гидрозамедлителя установить электромашину

(мотор-генератор) 11 и накопитель 14 с системой управления, включающей инвертор 12 и конденсатор 13. При таком решении кинетическая энергия гусеничной машины при торможении может быть рекуперирована в электрическую энергию для питания внутренних и внешних потребителей.

### Заключение

1) Реализация предложенных технических решений по компенсации ошибочных управлений водителем позволяет предотвратить заглохание двигателя и остановку машины при входе

в поворот. Кроме того, автоматически обеспечивается стабилизация траектории движения при ошибочном превышении водителем скоростного режима.

2) Введение в конструкцию энергосилового блока гидрозамедлителя придает быстроходной гусеничной машине новые свойства: возможность стабилизации траектории движения за счет одновременного торможения машины и управления поворотом. Это свойство особо эффективно не только при превышении водителем скоростного режима, но и при движении на спусках и по серпантину. ■

### Литература

1. Держанский В.Б., Тараторкин И.А. Исследование динамики управляемого движения быстроходных гусеничных машин // Вестник МГТУ им. Н.Э. Баумана. Машиностроение. 2008. № 3 (72). С. 86–99. ISSN 0236-3941.
2. Тараторкин И.А. Держанский В.Б., Вязников М.В., Тараторкин А.И., Волков А.А. Экспериментальное определение кинематических и силовых параметров при повороте гусеничной машины // Транспорт Урала. 2016. № 3 (50). С. 80–86. ISSN 1815-9400.
3. Савочкин В.А. Дмитриев А.А. Статистическая динамика транспортных и тяговых гусеничных машин. М. : Машиностроение, 1993. 320 с.
4. Kondakov S.V., Kharlapanov D.V., Vansovich E.I. Models of the turn resistance for high-speed caterpillar vehicles / Russian Engineering Research, 2016. Т. 36. № 1. Pp. 1–5. ISSN print 1068-798X; ISSN online 1934-8088.
5. Kondakov S.V., Kharlapanov D.V., Vansovich E.I. [Reliability of models describing the resistance of the turn of a high-speed tracked vehicle]. Russian Engineering Research. 2015. № 10. Pp. 3–7. ISSN print 1068-798X; ISSN online 1934-8088.
6. Березин И. Я., Абызов А. А. Корректирование скорости в модели движения транспортной машины // М-лы XXVI Международн. научн.-техн. совещания по динамике и прочности двигателей. – Самара, 1996. С. 21–22.
7. Абызов А. А. Скорости и траектории движения быстроходной гусеничной машины по местности в соответствии с изменяющимися дорожными условиями // М-лы Всеросс. научн.-техн. конф. – Курган : Изд-во КГУ, 2003. С. 153–156.
8. Абызов А. А. Обеспечение безотказности элементов ходовых систем быстроходных гусеничных машин при проектировании на основе моделирования процессов эксплуатации и формирования отказов : автореф. дисс. ... на соиск. уч. ст. д-ра техн. наук. – Челябинск, 2014. С. 35.
9. Шеридан Т. Б. Феррел У. Р. Система «человек-машина». Модели обработки информации, управление и принятие решений человеком-оператором / Пер. с англ. / под ред. К. Ф. Фролова. – М. : Машиностроение, 400 с.
10. Мехатронная система управления движением быстроходной гусеничной машины : пат. 2645487 Рос. Федерация. № 2015154151 ; заявл. 16.12.2015 ; опубл. 21.02.2018, Бюл. № 6. 2 с.
11. Кондаков С. В., Павловская О. О. Исследование разгона энергоэффективной быстроходной гусеничной машины с интеллектуальной электрической трансмиссией // Вестник машиностроения. 2016. № 12. С. 3–8. ISSN 0042-4633.

### Literature

1. Derzhansky V.B., Taratorkin I.A. Investigation of dynamics of controlled movement of rapid crawler vehicles [Issledovanie dinamiki upravlyaemogo dvizheniya bystrohodnyh

- gusenichnyh mashin] // Herald of MSTU named after N.E. Bauman. Mechanical Engineering. 2008. № 3 (72). P. 86–99. ISSN 0236-3941.
2. Taratorkin I.A., Derzhansky V.B., Vyaznikov M.V., Taratorkin A.I., Volkov A.A. Experimental evaluation of kinematic and power parameters in crawler vehicle turning [Eksperimentalnoe opredelenie kinematicheskikh i silovykh parametrov pri povorote gusenichnoy mashiny] // Transport of the Urals. 2016. № 3 (50). P. 80–86. ISSN 1815-9400.
  3. Savochkin V.A., Dmitriev A.A. Statistical dynamics of transport and tractive crawler vehicles [Statisticheskaya dinamika transportnykh i tyagovykh gusenichnykh mashin] M. : Mechanical engineering, 1993. 320 p.
  4. Kondakov S.V., Kharlapanov D.V., Vansovich E.I. Models of the turn resistance for high-speed caterpillar vehicles / Russian Engineering Research, 2016. T. 36. № 1. Pp. 1–5. ISSN PRINT: 1068-798X; ISSN ONLINE: 1934-8088.
  5. Kondakov S.V., Kharlapanov D.V., Vansovich E.I. [Reliability of models describing the resistance of the turn of a high-speed tracked vehicle]. Russian Engineering Research. 2015. № 10. Pp. 3–7. ISSN PRINT: 1068-798X; ISSN ONLINE: 1934-8088.
  6. Berezin I.Ya., Abyzov A.A. Velocity corrections in a vehicle movement model [Korrektirovanie skorosti v modeli dvizheniya transportnoy mashiny] // Materials of 26<sup>th</sup> International scientific and technical session on dynamics and engine durability. – Samara, 1996. P. 21–22.
  7. Abyzov A.A. Of speed and rapid crawler vehicle motion trajectory across the locality in keeping with changing road conditions // Materials of All-Russia scientific and technical conference. – Kurgan: KSU publishers, 2003. P. 153–156.
  8. Abyzov A.A. Assurance of rapid crawler vehicle component reliability in designing based on modeling of operation processes and failure formation: [Obespechenie bezotkaznosti elementov hodovykh sistem bystrohodnykh gusenichnykh mashin pri proektirovaniy na osnove modelirovaniya protsessov ekspluatatsii i formirovaniya otkazov] a doctoral thesis abstract. – Chelyabinsk, 2014. P. 35.
  9. Sheridan T.B., Ferrel U.R. «A man-a machine» system. Models of data processing, management and decision-making by a man-operator [Sistema «chelovek-mashina». Modeli obrabotki informatsii, upravlenie i prinyatie resheniy chelovekom-operatorom] / Transl. from English / edited by K.F. Frolov. – M. : Mechanical engineering. 400 p.
  10. Mechatronic control system over a rapid crawler vehicle: [Mehatronnaya sistema upravleniya dvizheniem bystrohodnoy gusenichnoy mashiny] pat. 2645487 Russian Federation № 2015154151 ; claimed. 16.12.2015 ; published. 21.02.2018, Bul. № 6. 2 p.
  11. Kondakov S.V., Pavlovskaya O.O. Studies of acceleration of a power efficient rapid crawler vehicle with intelligent electrical transmission [Issledovanie razgona energoeffektivnoy bystrohodnoy gusenichnoy mashiny s intellektualnoy elektricheskoy transmissiyey] // Herald of mechanical engineering. 2016. № 12. P. 3–8. ISSN 0042-4633.

*Статья сдана в редакцию 2 апреля 2018 года  
0,52 а. л.*

# Управление в технических системах

УДК 624.4: 620.179.162

*А.Н. Киреев, М.А. Киреева*

## Анализ погрешностей применения условной чувствительности при ультразвуковом контроле деталей подвижного состава железных дорог

UDC 624.4: 620.179.162

*A.N. Kireev, M.A. Kireeva*

## Analysis of the errors of conditional sensitivity use at ultrasonic control of railroads rolling stock details

### Аннотация

Поставлена задача оценки и анализа погрешностей при применении условной чувствительности при ультразвуковом контроле деталей подвижного состава железных дорог эхоимпульсным методом. Оценка погрешностей применения условной чувствительности осуществлялась на примере ультразвукового контроля обода тепловозного литого дискового колесного центра эхометодом с внутренней боковой поверхности в осевом направлении.

Рассмотрена методика отстройки функции временной регулировки чувствительности при настройке условной чувствительности.

Произведены расчеты амплитуд эхосигналов от раз-

ных видов отражателей и на их основе расчеты погрешностей применения условной чувствительности как без функции временной регулировки чувствительности, так и с включенной функцией временной регулировки чувствительности.

Показано, что в рассматриваемом случае применение условной чувствительности без настройки функции временной регулировки чувствительности может привести к погрешности определения объемных точечных дефектов до 98,57 % и плоскостных точечных дефектов – до 77,78 %. Применение метода настройки функции временной регулировки чувствительности позволяет уменьшить погреш-

ность определения объемных точечных несплошностей 66,21 % и плоскостных точечных несплошностей на 40,26 %, что показывает целесообразность применения функции временной регулировки чувствительности при настройке условной чувствительности ультразвукового контроля деталей подвижного состава железных дорог.

**Ключевые слова:** железная дорога, подвижной состав, ультразвуковой контроль, эхоимпульсный метод, эхометод, условная чувствительность, временная регулировка чувствительности, погрешность.

DOI: 10.20291/2079-0392-2018-2-27-34

*Статья рекомендована к публикации Р.Я. Сулеймановым, канд. техн. наук, УрГУПС. E-mail: rasul2@e1.ru.*

**Андрей Николаевич Киреев**, канд. техн. наук, доцент; докторант кафедры железнодорожного транспорта Луганского национального университета имени Владимира Даля; г. Луганск. E-mail: lifter\_23@mail.ru.

**Маргарита Анатольевна Киреева**, аспирант кафедры железнодорожного транспорта Луганского национального университета имени Владимира Даля; г. Луганск. E-mail: ktnlifter@gmail.com.

*The article is recommended for publication by R.Ya. Suleimanov, candidate of technical science, USURT. E-mail: rasul2@e1.ru.*

**Andrey Nikolaevich Kireev**, candidate of technical science, assistant professor, postdoctoral student for «Railway Transport» chair, Volodymyr Dahl Lugansk National University; Lugansk. E-mail: lifter\_23@mail.ru.

**Margarita Anatolievna Kireeva**, postgraduate student for «Railway Transport» chair, Volodymyr Dahl Lugansk National University; Lugansk. E-mail: ktnlifter@gmail.com.

**Annotation**

The task of assessment and analysis of the errors at use of conditional sensitivity at ultrasonic control of railroads rolling stock details by the echo impulse method is set. Assessment of the errors of conditional sensitivity use was carried out on the example of ultrasonic control of a diesel cast disk wheel center rim by the echo method from the internal side surface in the axial direction.

The technique detuning the function of temporary adjustment of sensitivity while tuning of conditional sensitivity is considered.

Calculations of the echo signals amplitudes from reflectors of different types are carried out. On this basis calculations of the errors of conditional sensitivity use both with and without the function of temporary adjustment of sensitivity activated are made.

It is demonstrated that in the case under consideration use of conditional sensitivity without tuning of the function of temporary adjustment of sensitivity can lead to errors in assessment of volume point defects up to 98,57 % and planar defects up to 77,78 %. Application of the function

of temporary adjustment of sensitivity tuning method allows to reduce the errors up to 66,21 % and 40,26 % correspondingly that proves application of the function of temporary adjustment of sensitivity to tuning of conditional sensitivity of ultrasonic control of railroads stock details being expedient.

**Keywords:** railroad, rolling stock, ultrasonic control, echo impulse method, echo method, conditional sensitivity, temporary adjustment of sensitivity, error.

DOI: 10.20291/2079-0392-2018-2-27-34

**Н**еразрушающие методы контроля крайне важны для обеспечения качества и надежности деталей и узлов подвижного состава железных дорог (ПСЖД). С их помощью диагностируется техническое состояние множества деталей и узлов ПСЖД, определяются геометрические параметры деталей и узлов, структура и физико-механические свойства материалов. Чаще всего такие методы используются при контроле деталей и узлов на выявление дефектов металла (дефектоскопия).

Для выявления поверхностных и подповерхностных дефектов при контроле деталей и узлов ПСЖД применяют визуально-оптический, магнитный и вихретоковый методы неразрушающего контроля [1–4]. Для выявления внутренних – радиационные и акустические методы неразрушающего контроля. Но радиационные методы неразрушающего контроля [1, 5] применяются реже из-за громоздкости и дороговизны аппаратуры, сравнительно малой толщины проникновения применяемых при контроле ионизирующих излучений, опасности этого способа для оператора.

При контроле деталей и узлов ПСЖД на выявление внутренних

дефектов чаще используют ультразвуковые методы акустического неразрушающего контроля [1, 6, 7], в частности, ультразвуковой эхоимпульсный метод (эхометод). Такие методы основаны на применении упругих колебаний и волн, возбуждаемых или возникающих в контролируемом объекте, ультразвукового диапазона частот акустических колебаний.

При ультразвуковом контроле деталей ПСЖД применяют метод настройки условной чувствительности на мере СО-2 (рис. 1) [8].

Метод заключается в отстройке нулевого уровня на боковом цилиндрическом отражателе (БЦО) диаметром 6 мм, расположенном на глубине 44 мм в мере СО-2, и добавления к нему дополнительного коэффициента усиления ( $k_v$ ), установленного нормативной документацией на контроль [9]. Пьезоэлектрический преобразователь устанавливается на рабочую поверхность СО-2 (рис. 2).

Отстройка нулевого уровня от БЦО в СО-2: медленной «притиркой» преобразователя к поверхности СО-2 определяется точка с максимальной амплитудой эхосигнала от БЦО. Кнопками усиления и ослабления сигнала амплитуда

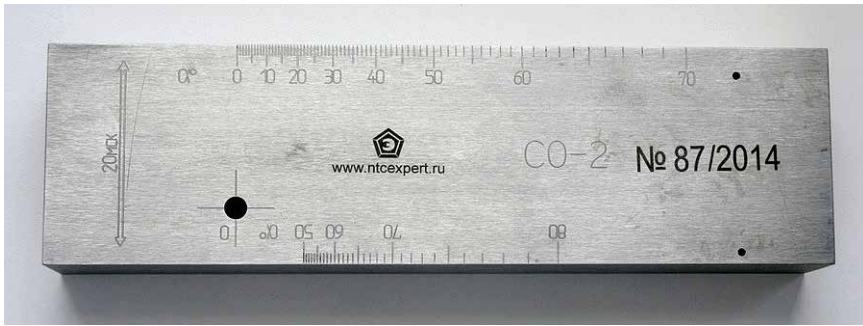


Рис. 1. Мепа CO-2



Рис. 2. Отстройка нулевого уровня от БЦО в CO-2

эхо сигнала доводится до контрольного уровня (обычно 50% высоты вертикальной шкалы экрана дефектоскопа), фиксируется показание децибелного attenuатора ( $N_{CO-2_{БЦО}}$ ).

В работе поставлена задача оценки и анализа погрешностей при применении условной чувствительности

при ультразвуковом контроле деталей ПСЖД эхоимпульсным методом.

Рассмотрим пример применения условной чувствительности при ультразвуковом контроле обода теплового литого дискового колесного центра эхометодом с внутренней боковой поверхности в осевом направлении. Параметры

применяемого преобразователя представлены в таблице 1, параметры объекта контроля – в таблице 2.

Отражение ультразвуковой волны от бокового цилиндрического отражателя описывается выражением [10]:

$$N_{\text{БЦО}} = 20 \lg \left( \frac{S_a}{\lambda} \sqrt{\frac{d_{\text{БЦО}}}{8x^3 \left(1 + \frac{d_{\text{БЦО}}}{2x}\right)}} \right), \quad (1)$$

где  $N_{\text{БЦО}}$  – амплитуда эхосигнала от БЦО, дБ;  $S_a$  – площадь пьезоэлектрического преобразователя, мм<sup>2</sup>;  $d_{\text{БЦО}}$  – диаметр БЦО (для СО-2 – 6 мм), мм;  $x$  – расстояние до отражателя, мм.

Воспользовавшись исходными данными (таблицы 1, 2), рассчитаем амплитуду эхосигнала от БЦО диаметром 6 мм, на глубине 44 мм (расстояние до отражающей поверхности 41 мм) в мере СО-2:

$$N_{\text{СО-2}_{\text{БЦО}}} = 20 \lg \left( \frac{113,097}{2,36} \sqrt{\frac{6}{8 \cdot 41^3 \left(1 + \frac{6}{2 \cdot 41}\right)}} \right) = -16,33 \text{ (дБ)}.$$

Следовательно, уровень усиления дефектоскопа составит 16,33 дБ.

В ГОСТ «Центры колесные литые и катаные для железнодорожного подвижного состава. Методы неразрушающего контроля» при настройке условной чувствительности для контроля обода литого колесного центра эхометодом установлен дополнительный коэффициент усиления  $k_y = 4$  дБ.

Условная чувствительность эхометода для контроля обода литого колесного центра составит 20,33 дБ.

Эквивалентный размер плоскодонного цилиндрического отражателя (ПЦО), являющегося моделью плоскостной точечной несплошности, находится из выражения [10]:

$$d_{\text{ПЦО}} = \frac{2\lambda x 10^{N/40}}{\sqrt{S_a \pi}}, \quad (2)$$

где  $d_{\text{ПЦО}}$  – диаметр плоскодонного цилиндрического отражателя, мм;  $N$  – амплитуда эхо-сигнала от ПЦО, дБ.

Рассчитаем эквивалентный размер ПЦО при настроенной условной чувствительности (20,33 дБ) в конце контролируемого диапазона (90 мм):

$$d_{\text{ПЦО}} = \frac{2 \cdot 2,36 \cdot 90 \cdot 10^{-20,33/40}}{\sqrt{113,097 \cdot 3,14}} = 6,99 \text{ (мм)}.$$

Эквивалентный размер полусферического отражателя (ПСО), являющегося

Таблица 1

Параметры применяемого пьезоэлектрического преобразователя

Тип преобразователя	Диаметр пьезоэлемента $d$ , мм	Площадь пьезоэлемента $S_a$ , мм <sup>2</sup>	Частота преобразователя $f$ , Гц
П 111–2,5–к12	12	113,097	2500000

Таблица 2

Параметры объекта контроля

Материал	Высота обода, мм	Диапазон контроля	
		Начало, мм	Конец, мм
Сталь 25Л	100	20	90
Скорость ультразвуковой волны в объекте контроля $c$ , мм/с		Длина ультразвуковой волны в объекте контроля $\lambda = c/f$ , мм	
5900000		2,36	

моделью объемной точечной несплошности, находится из выражения [10]:

$$d_{\text{ПСО}} = \frac{4\lambda x^2 10^{N/20}}{S_a - 2\lambda x 10^{N/20}}, \quad (3)$$

где  $d_{\text{ПСО}}$  – диаметр полусферического отражателя, мм;  $N$  – амплитуда эхосигнала от ПСО, дБ.

Рассчитаем эквивалентный размер ПЦО при настроенной условной чувствительности (20,33 дБ) в конце контролируемого диапазона (90 мм):

$$d_{\text{ПСО}} = \frac{4 \cdot 2,36 \cdot 90^{20,33/20}}{113,097 - 2 \cdot 2,36 \cdot 90 \cdot 10^{-20,33/20}} = 101,98 \text{ (мм)}.$$

В работе [9] предложен метод отстройки функции временной регулировки чувствительности (ВРЧ) при настроенной условной чувствительности, который позволяет выровнять амплитуду эхосигнала от равновеликих БЦО в контролируемом диапазоне.

Аналитическая зависимость для отстройки функции ВРЧ:

$$k_{\text{ВРЧ}} = 20 \lg \left( \sqrt{\frac{x_k^3(1+3/x_k)}{x^3(1+3/x)}} \right), \quad (4)$$

где  $k_{\text{ВРЧ}}$  – уровень ВРЧ, дБ;  $x_k$  – конечная точка диапазона контроля, мм;  $x$  – точка настройки функции ВРЧ, мм.

Отражение ультразвуковой волны от ПЦО описывается выражением [10]:

$$N_{\text{ПЦО}} = 20 \lg \left( \frac{S_a S_b}{\lambda^2 x^2} \right), \quad (5)$$

где  $N_{\text{ПЦО}}$  – амплитуда эхосигнала от ПЦО, дБ;  $S_b$  – площадь ПЦО, мм<sup>2</sup>.

Отражение ультразвуковой волны от ПСО описывается выражением [10]:

$$N_{\text{ПСО}} = 20 \lg \left( \frac{S_a d_{\text{ПСО}}}{4\lambda x^2 \left( 1 + \frac{d_{\text{ПСО}}}{2x} \right)} \right), \quad (6)$$

где  $N_{\text{ПСО}}$  – амплитуда эхосигнала от ПСО, дБ;  $d_{\text{ПСО}}$  – диаметр ПСО, мм.

На рис. 3 в графическом виде представлены зависимости отражения ультразвуковой волны от ПЦО и ПСО, рассчитанные по аналитическим зависи-

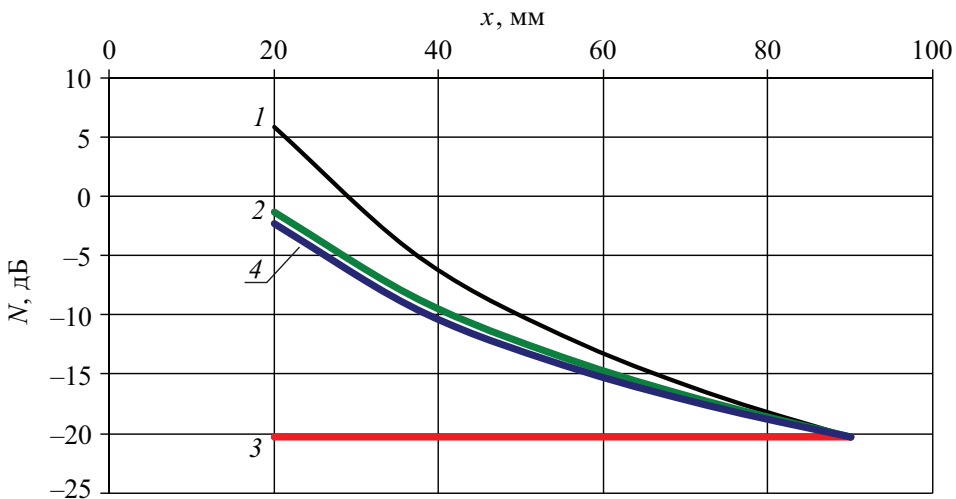


Рис. 3. Зависимости отражений ультразвуковой волны  
 1 – отражение от ПЦО ( $d_{\text{ПЦО}} = 6,99$ мм); 2 – отражение от ПСО ( $d_{\text{ПСО}} = 101,98$  мм);  
 3 – условная чувствительность без функции ВРЧ; 4 – условная чувствительность с отстроенной функцией ВРЧ

ностям (5) и (6), а также кривые условной чувствительности с и без отстроенной функции ВРЧ.

Воспользовавшись аналитической зависимостью (2), рассчитаем размер ПЦО при настроенной условной чувствительности без функции ВРЧ и с отстроенной функцией ВРЧ в пяти точках контроля. Результаты расчета представлены в таблицах 3, 4.

Абсолютная погрешность определения эквивалентного размера ПЦО находится из выражения:

$$\Delta = d_{\text{ПЦОmax}} - d_{\text{ПЦОmin}}, \quad (7)$$

где  $d_{\text{ПЦОmax}}$  – максимальное значение диаметра ПЦО, мм;  $d_{\text{ПЦОmin}}$  – минимальное значение диаметра ПЦО, мм.

Относительная погрешность определения эквивалентного размера ПЦО находится из выражения:

$$\delta = \frac{d_{\text{ПЦОmax}} - d_{\text{ПЦОmin}}}{d_{\text{ПЦОmax}}} \cdot 100\%. \quad (8)$$

Воспользовавшись аналитической зависимостью (3), рассчитаем размер ПСО при настроенной условной чувствительности без функции ВРЧ и с отстроенной функцией ВРЧ в пяти точках контроля. Результаты расчета представлены в таблицах 5, 6.

Абсолютная погрешность определения эквивалентного размера ПСО находится из выражения:

$$\Delta = d_{\text{ПСОmax}} - d_{\text{ПСОmin}}, \quad (9)$$

где  $d_{\text{ПСОmax}}$  – максимальное значение диаметра ПСО, мм;  $d_{\text{ПСОmin}}$  – минимальное значение диаметра ПСО, мм.

Относительная погрешность определения эквивалентного размера ПСО находится из выражения:

Таблица 3

Размер ПЦО в контролируемом диапазоне без функции ВРЧ

Расстояние до ПЦО $x$ , мм				
20	37,5	55	72,5	90
Диаметр ПЦО $d_{\text{ПЦО}}$ , мм				
1,55	2,91	4,27	5,63	6,99

Таблица 4

Размер ПЦО в контролируемом диапазоне с отстроенной функцией ВРЧ

Расстояние до ПЦО $x$ , мм				
20	37,5	55	72,5	90
Диаметр ПЦО $d_{\text{ПЦО}}$ , мм				
4,37	5,39	6,06	6,57	6,99

Таблица 5

Размер ПСО в контролируемом диапазоне без функции ВРЧ

Расстояние до ПЦО $x$ , мм				
20	37,5	55	72,5	90
Диаметр ПСО $d_{\text{ПСО}}$ , мм				
3,50	13,31	31,21	59,61	101,98

Таблица 6

Размер ПЦО в контролируемом диапазоне с отстроенной функцией ВРЧ

Расстояние до ПЦО $x$ , мм				
20	37,5	55	72,5	90
Диаметр ПЦО $d_{\text{ПЦО}}$ , мм				
69,71	79,67	88,02	95,36	101,98

Таблица 7

Погрешность применения условной чувствительности			
Условная чувствительность без функции ВРЧ			
Погрешность определения ПЦО		Погрешность определения ПСО	
$\Delta$ , мм	$\delta$ , %	$\Delta$ , мм	$\delta$ , %
5,44	77,78	98,48	96,57
Условная чувствительность с отстроенной функцией ВРЧ			
Погрешность определения ПЦО		Погрешность определения ПСО	
$\Delta$ , мм	$\delta$ , %	$\Delta$ , мм	$\delta$ , %
2,62	37,52	32,27	31,64

$$\delta = \frac{d_{\text{ПСОmax}} - d_{\text{ПСОmin}}}{d_{\text{ПСОmax}}} \cdot 100\%. \quad (10)$$

Воспользовавшись выражениями (7)–(10), рассчитаем абсолютные и относительные погрешности применения условной чувствительности ультразвукового контроля эхометодом. Результаты расчета представлены в сводной таблице 7.

Как видно из таблицы 7, в рассматриваемом случае применение условной чувствительности без настройки функции ВРЧ может привести к погрешности

определения объемных точечных дефектов до 98,57% и плоскостных точечных дефектов – до 77,78%. Метод настройки функции ВРЧ, предложенный в работе [9], позволяет уменьшить погрешность определения объемных точечных несплошностей на 66,21% и плоскостных точечных несплошностей – на 40,26%, что показывает целесообразность применения функции ВРЧ при настройке условной чувствительности ультразвукового контроля деталей ПСЖД эхоимпульсным методом. ■

### Литература

1. Неразрушающий контроль и диагностика : Справочник. Изд. 2-е испр. и доп. / под ред. В.В. Клюева. – М. : Машиностроение, 2003. 656 с. ISBN 5-217-03178-6.
2. Калиниченко Н.П. Визуальный и измерительный контроль : учебное пособие для специалистов I, II и III уровней / Н.П. Калиниченко, А.Н. Калиниченко. – Томск : Изд-во ТПУ, 2009. 300 с. ISBN 978-5-98298-709-9.
3. Криворудченко В.Ф. Современные методы технической диагностики и неразрушающего контроля деталей и узлов подвижного состава железнодорожного транспорта : учебное пособие / В.Ф. Криворудченко, Р.А. Ахмеджанов. – М. : Маршрут, 2005. 434 с. ISBN 5-89035-187-7.
4. Толмачев И.И. Физические основы и технологии магнитопорошкового контроля : учебное пособие. – Томск : Изд-во ТПУ, 2008. 125 с. ISBN 5-98298-235-0.
5. Кулешов В.К. Практика радиографического контроля / В.К. Кулешов, Ю.И. Сертаков, П.В. Ефимов, В.Ф. Шумихин. – Томск : Изд-во ТПУ, 2011. 288 с. ISBN 978-5-98298-859-1.
6. Алешин Н.П. Ультразвуковой контроль : учебное пособие / Н.П. Алешин, В.Т. Бобров, Ю.В. Ланге, В.Г. Щербинаский / под общ. ред. В.В. Клюева. – М. : Изд. дом «Спектр», 2011. 224 с. ISBN 978-5-904270-59-9.
7. Крауткремер Й. Ультразвуковой контроль материалов : справочник / Й. Крауткремер, Г. Крауткремер / Пер. с нем. Е.К. Бухмана / под ред. В.Н. Волченко. – М. : Металлургия, 1991. 752с. ISBN 5-229-00362-6.
8. ГОСТ Р 55724–2013. Контроль неразрушающий. Соединения сварные. Методы ультразвуковые. М. : Стандартинформ, 2014. 24 с.
9. Киреев А.Н. Применение функции временной регулировки чувствительности при настройке условной чувствительности ультразвукового контроля деталей подвижного состава железных дорог эхоимпульсным методом / А.Н. Киреев, В.А. Витренко // Вестник ВНИИЖТ. М., 2017. Т. 76. № 6. С. 377–382. ISSN 2223-9731.

10. Киреев А.Н. Дефектометрия при ультразвуковом диагностировании элементов и систем подвижного состава железных дорог : монография. – Луганск : Изд-во «Ноулидж», 2016. 147 с. ISBN 978-617-579-512-5.

#### Literature

1. Non-destructive control and diagnostics: [Nerazrushayushchiy kontrol i diagnostika] Reference book. 2<sup>nd</sup> cor. and complemented / edited by V.V. Kluyev. – M.: Mechanical Engineering, 2003. 656 p. ISBN 5-217-03178-6.
2. Kalinichenko N.P. Visual and metrical control: [Vizualnyy i izmeritelnyy kontrol] manual for 1<sup>st</sup>, 2<sup>nd</sup> and 3<sup>rd</sup> level specialists / N.P. Kalinichenko, A.N. Kalinichenko. – Tomsk : TPU pub., 2009. 300 p. ISBN 978-5-98298-709-9.
3. Krivorudchenko V.F. Modern methods of technical diagnostics and non-destructive control over components and units of railway rolling stock: [Sovremennyye metody tehnikeskoy diagnostiki i nerazrushayushchego kontrolya detaley i uzlov podvizhnogo sostava zheleznodorozhnogo transporta] manual / V.F. Krivorudchenko, R.A. Akhmedzhanov. – M. : Route, 2005. 434 p. ISBN 5-89035-187-7.
4. Tolmachev I.I. Physical fundamentals and technology of magnetic particle test: [Fizicheskie osnovy i tehnologii magnitoporoshkovogo kontrolya] Manual. – Tomsk : TPU pub., 2008. 125 p. ISBN 5-98298-5-0.
5. Kuleshov V.K. Radiographical control practice [Praktika radiograficheskogo kontrolya] / Tomsk : TPU pub., 2011. 288 p. ISBN 978-5-98298-859-1.
6. Aleshin N.P. Ultrasound control: [Ultrazvukovoy kontrol] manual / N.P. Aleshin, V.T. Bobrov, Yu.V. Langet, V.G. Scherbinasky / edited by V.V. Kluyev. – M. : Spectre Publishing house, 2011. 224 p. ISBN 978-5-904270-59-9.
7. Krautkremer J. Ultrasound control over materials: [Ultrazvukovoy kontrol materialov] reference book / J. Krautkremer, G. Krautkremer / Transl. from German. by E.K. Buchman / edited by V.N. Volchenko. – M. : Metallurgy, 1991. 752 p. ISBN 5-229-00362-6.
8. GOST R 55724–2013. Non-destructive control. Welded junctions. Ultrasound methods. [Kontrol nerazrushayushchiy. Soedineniya svarnyye. Metody ultrazvukovoye] M. : Standartinform. 2014, 24 p.
9. Kireyev A.N. Application of temporary adjustment of sensitivity under settings of conditional sensitivity of ultrasound control over railway rolling stock components by pulse-echo method [Primenenie funktsii vremennoy regulirovki chuvstvitelnosti pri nastroyke uslovnoy chuvstvitelnosti ultrazvukovogo kontrolya detaley podvizhnogo sostava zheleznih dorog ehoimpulsnym metodom] / A.N. Kireyev, V.A. Vitrenko // Herald of VNIIZT. M., 2017. V. 76. № 6. P. 377–382. ISSN 2223-9731.
10. Kireyev A.N. Defect measurement in ultrasound diagnostics of components and systems of railway rolling stock: [Defektometriya pri ultrazvukovom diagnostirovanii elementov i sistem podvizhnogo sostava zheleznih dorog] monograph. – Lugansk : Knowledge publishers, 2016. 147 p. ISBN 978-617-579-512-5.

*Статья сдана в редакцию 16 марта 2018 года  
0,45 а. л.*

*Р. Я. Сулейманов, М. Г. Дурандин*

## Методы снижения дугообразования на коллекторе тяговых электродвигателей

*R. Ya. Suleymanov, M. G. Durandin*

## Methods of arcing reduction on the collector of traction electric motors

### Аннотация

Современный подвижной состав железных дорог и городской электрический транспорт оснащаются коллекторными двигателями постоянного тока последовательного возбуждения. При всех положительных свойствах эти двигатели имеют слабое место: щеточный аппарат. При больших токовых нагрузках наблюдается повышенное искрение под щетками. В определенных условиях щеточное искрение может перейти в круговой огонь по коллектору. В настоящее время отказы двигателей по круговым огням доходят до 30 %.

Одной из причин повышенного искрения является замыкание щетки двух коллекторных пластин, находящихся под током. Для предотвращения этого явления авторами предложено выполнять щетку из тонких изолированных пластин, склеенных в одну монолитную массу с помощью диэлектрического клея. Другой способ борьбы с круговыми огнями – подавать под щетки сжатый воздух, который сдувает возникшее пламя в сторону дугогасящей камеры.

**Ключевые слова:** тяговый двигатель, коллектор, электрическая щетка, искрение, круговой огонь, шихтованная щетка, сжатый воздух, дугогасящая камера, коллекторная пластина.

DOI: 10.20291/2079-0392-2018-2-35-41

### Annotation

The modern railway rolling stock and urban electric transport are equipped with collector direct current series motors. With all the advantages, such motors have a weak point – the brush rig. At high current load, the increased brush-sparkling is observed. In certain conditions the brush sparking can transform into flashing. Currently, motor breakdowns as a result of flashing reach 30 %. One of the reasons of the increased brush-sparking is the brush closing two current-carrying collector plates. To prevent this effect, the authors suggest that the brush should be made of thin isolated plates monolithed by means of dielectric glue. The other way to prevent flashing is infusing compressed air blowing the flashes away to the interrupting chamber.

**Keywords:** traction motor, commutator, electric brush, sparking, flashing, compressed air, interrupting chamber, collector plate.

DOI: 10.20291/2079-0392-2018-2-35-41

*Статья рекомендована к публикации Н.В. Булановым, д-ром физ.-мат. наук, профессором, УрГУПС. E-mail: NBulanov@usurt.ru.*

**Рашит Яхьевич Сулейманов**, канд.техн. наук, доцент; кафедра «Электрические машины» Уральского государственного университета путей сообщения; Екатеринбург, Россия. E-mail: rasul2@e1.ru.

**Михаил Гелиевич Дурандин**, канд.техн. наук, доцент; кафедра «Электрическая тяга» Уральского государственного университета путей сообщения; Екатеринбург, Россия. E-mail: mdurandin@jutlook.com.

*The article is recommended for publication by N.V. Bulanov, doctor of Physical and Mathematical Sciences, professor, USURT. E-mail: NBulanov@usurt.ru.*

**Rashit Yahievich Suleimanov**, candidate of technical science, assistant professor, «Electric Cars» chair; Ural State University of Railway Transport. Ekatherinburg, Russia. E-mail: rasul2@e1.ru.

**Mikhail Gelievich Durandin**, candidate of technical science, assistant professor; «Electric Traction» chair; Ural State University of Railway Transport. Ekatherinburg, Russia. E-mail: mdurandin@jutlook.com.

Современный подвижной состав железных дорог и городской электрический транспорт в подавляющем большинстве случаев оснащаются коллекторными тяговыми двигателями постоянного тока последовательно возбуждения. Они обладают мягкими скоростными характеристиками, повышенным пусковым моментом и выгодно отличаются простотой управления [1]. При импульсном регулировании они дополнительно приобретают способность безреостатного пуска и перехода в режим рекуперативного или реостатного торможения во всем диапазоне реализуемых скоростей [2].

Но слабым местом двигателей постоянного тока является узел коммутации – коллекторно-щеточный аппарат. При больших токовых нагрузках, в режимах глубокого ослабления возбуждения, в переходных процессах наблюдается повышенное искрение под щетками. В определенных условиях щеточное искрение может сформировать канал кругового огня, закорачивающего щетки противоположной полярности, или дугового переброса на заземленные части с катастрофическими для машины последствиями.

История развития тягового электромашиностроения показывает, что в особой степени актуальность и острота проблемы дуговых разрядов на коллекторе проявляется при попытках модернизации устоявшихся конструкций коллекторных машин и при создании новых образцов повышенной мощности.

Так, с начала 2000-х гг. в реализации Стратегического плана развития отечественных железных дорог локомотивный парк РЖД стал пополняться новыми грузовыми электровозами серии 2ЭС6. Их отличительной особенностью явилось 30%-ное повышение мощности тягового привода за счет использования новых коллекторных двигателей серии ЭДП-810.

Опыт эксплуатации новых локомотивов подтвердил улучшение их тяговых свойств, особенно при работе с тяжеловесными составами и в условиях

горного профиля. Но с первых же месяцев эксплуатации тяговые двигатели электровозов 2ЭС6 продемонстрировали тревожную статистику по увеличенному числу выхода их из строя по причине круговых огней и перебросов на нажимной конус коллектора и подшипниковый щит. Попытки модернизировать машину с целью повышения надежности ее щеточно-коллекторного узла или создания альтернативных модификаций тяговых двигателей от других заводов-производителей положительных результатов не дали.

Круговые диаграммы причин внеплановых ремонтов трех наиболее используемых в конструкции электровозов 2ЭС6 серий тяговых электродвигателей – ЭДП-810У1, СТК-810 и ЭК-810 представлены на рис. 1–3.

Нетрудно заметить, что в конструкциях тяговых электродвигателей от разных производителей («Электротяжмаш», Харьков; ОАО НПП СЭМЗ, г. Смела; ЗАО ПК ЗТЭО, г. Набережные Челны) и эксплуатирующихся на разных профилях с разными весами поездов (Свердловская, Южно-Уральская и Западно-Сибирская железные дороги) отказы носят однотипный характер. Одна треть выхода из строя тяговых электродвигателей новых локомотивов связана с дуговым прогаром коллекторного узла. Для сравнения: в тяговых электродвигателях серии ТЛ-2К1, установленных на грузовых электровозах старого поколения, средний процент круговых огней и перебросов даже в неблагоприятные периоды не превышал 15.

Научные исследования кругового огня как физического явления и условий, способствующих его возникновению, проводились начиная с 1930-х гг. [3]. Их результаты доказывают, что источником возникновения электрической дуги всегда выступает первичное искрение на коллекторе вне зависимости от физической природы его происхождения. С этих позиций щеточный узел всегда рассматривался как наиболее вероятный источник искро- и дугообразования на коллекторе.



Рис. 1. Причины внеплановых отказов тяговых электродвигателей ЭДП-810У1



Рис. 2. Причины внеплановых отказов тяговых электродвигателей СТК-810

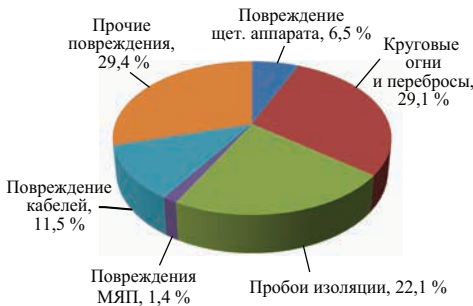


Рис. 3. Причины внеплановых отказов тяговых электродвигателей ЭК-810

Щеточное искрение может возникать как из-за нарушения условий безыскровой коммутации, так и из-за ухудшения контакта в зоне щеточно-коллекторного перехода под воздействием механических ударов и вибраций.

Доказано, что правильная настройка пружинного механизма щеткодер-

жателей и надлежащий уход за техническим состоянием щеток и рабочей поверхности коллектора в системе профилактических осмотров и периодических ремонтов коллекторных машин становятся эффективными средствами борьбы с механическими причинами возникновения щеточного искрения.

Поэтому наиболее проблемным как по сложности физической природы возникновения, так и по методам предотвращения является щеточное искрение коммутационного характера. При коммутации, пока секция замкнута щеткой, происходит изменение направления в ней тока с образованием сразу нескольких ЭДС. В соответствии с классической теорией коммутации, их совокупность приводит к образованию в контуре коммутирующей секции так называемого добавочного тока коммутации. Так как сопротивление секции весьма мало, добавочный ток ограничивается только сопротивлением щетки и щеточно-коллекторного перехода. При выходе щетки из состояния короткого замыкания происходит разрыв добавочного тока, и его электромагнитная энергия, запасенная в индуктивности коммутирующих проводников, частично рассеивается в виде тепловой энергии в зоне контакта, а избыточная часть идет на искрообразование.

Отсюда, меры борьбы с коммутационным искрением основываются в первую очередь на снижении величины добавочного тока. Большинство методов в решении этой задачи направлены на снижение суммарной ЭДС в коммутирующем контуре.

Уменьшения добавочного тока коммутации можно добиться и увеличением сопротивления материала щеток. В тяговых машинах в настоящее время применяют щетки марки «ЭГ», обладающие относительно повышенным переходным сопротивлением за счет использования графита с примесями. Но простое увеличение сопротивления щеточного материала ведет к повышенным потерям в щетках, их дополнительному

нагреванию и, кроме того, в случае износа щеток большого эффекта не дает.

Известен также коллектор электрической машины [4], имеющий в своей конструкции кроме основных набор дополнительных пластин, располагаемые по обе стороны от основной пластины и соединенные перемычкой через нелинейно-резистивный элемент. Однако такое устройство требует значительного усложнения коллектора.

Предлагался также щеточно-коллекторный узел [5], содержащий коллектор с чередующимися проводящими и изолирующими пластинами, контактирующими с разнополярными группами щеток. Каждая щетка состоит из основной и вспомогательной щеток, располагаемой со стороны сбегającego края основной. Основная щетка подключена непосредственно к источнику питания, а вспомогательная – к блоку улучшения коммутации. При этом вспомогательная щетка выполнена из тангенциально-расслоенных и изолированных друг от друга элементов, соединенных между собой через нелинейно-резистивные элементы. Очевидно, что подобное устройство коллектора еще больше усложняет узел коммутации.

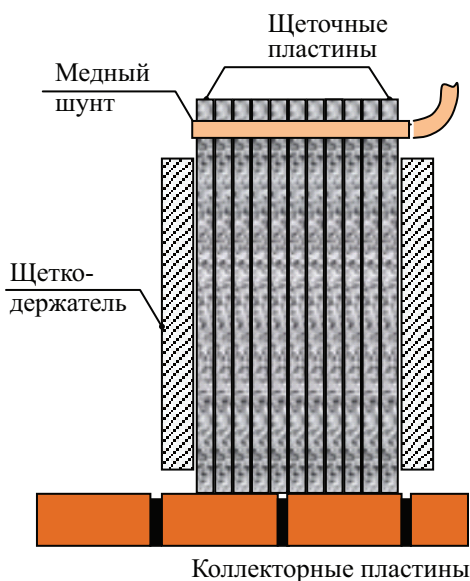


Рис. 4. Эскиз разрезной щетки

Нами предлагается способ снижения добавочного тока коммутации за счет использования разрезной конструкции щеток [6] (рис. 4).

Сущность способа заключается в том, что щетка выполнена наборной, из отдельных пластинок прямоугольной формы, скрепленных друг с другом электроизоляционным клеем. В верхней части они электрически соединены между собой токопроводящим медным шунтом. В рабочем положении щетки пластины оказываются расположенными перпендикулярно поверхности коллектора и параллельно коллекторным пластинам. Толщина каждой пластинки равна толщине изоляционной прокладки коллектора, а количество пластинок в щеточном контакте в этом случае определяется шириной щетки.

Устройство работает следующим образом. При одновременном нахождении двух коллекторных пластин под щеткой добавочный ток коммутации из-за изоляционных клеевых прослоек между пластинками замыкается по удлинненной траектории – дважды проходя полную высоту щеток до медного шунта и обратно. Это многократно (до 6–8 раз) увеличивает сопротивление токового контура. Условие равенства толщины пластинок и межламельной изоляции исключает замыкание коммутирующего тока по короткому пути – приграничному к коллектору щеточному слою. При этом получается существенное снижение площади поперечного сечения каждой щеточной пластины, что способствует дополнительному увеличению сопротивления контура, по которому замыкается добавочный ток коммутации. Важно, что эквивалентное сопротивление всей щетки для якорного тока остается практически без изменения.

Таким образом, предложенное устройство позволяет добиваться дополнительного снижения добавочного тока коммутации без изменения настройки добавочных полюсов, не ухудшая условий питания якорной обмотки.

Другим направлением борьбы с дугвыми явлениями на коллекторе можно

назвать комплекс мер, затрудняющих зарождение и пространственное распространение дуговых разрядов в коллекторной камере. Примером реализации данного направления служат предложения по установке диэлектрических экранов на пути распространения кругового огня. Однако на практике они не доказали своей эффективности, поскольку процесс гашения уже возникшей дуги требует выполнения ряда физических условий, диктуемых природой данного явления.

Традиционным способом ускоренного гашения дуги между разрывными электрическими контактами при их коммутации под током служат методы воздушного или магнитного дутья. Дуга, выдуваясь в специальную камеру, удлиняется, за счет этого охлаждается и гасится. Этот способ, предназначенный для гашения дуги в коммутационных аппаратах большой мощности, трудно реализуем в условиях вращающегося коллектора и ограниченного пространства коллекторной камеры.

В ранних исследованиях по круговым огням отмечались свидетельства о влиянии параметров вентиляции в коллекторных машинах на вероятность развития круговых огней. Поэтому одним из способов защиты от круговых огней предлагался обдув коллектора при помощи вентилятора, насаженного на вал машины.

Воздушная струя направляется вдоль коллекторных пластин, поэтому данный способ эффективен только при равенстве диаметров якоря и коллектора, что для конструкции большинства электрических машин нехарактерно. Кроме того, весьма затруднительно обеспечить необходимую скорость подачи воздуха для подавления процесса дугообразования из-за ограниченных габаритов и слабого напора встроенного вентилятора, а также его функциональной зависимости от скорости вращения якоря. К этому следует добавить, что искровые реализации при этом методе служат с коллекторных пластин в сторону заземленных частей якоря и остова

машины, что только повышает вероятность дуговых перебросов.

По физической природе дуга представляет собой электронно-ионный поток заряженных частиц, образующихся в результате ударной и термической видов ионизации. Механизм начала зажигания дуги связан с ударной ионизацией, для которой электронам необходимо достигнуть определенного уровня кинетической энергии, что реализуется за счет электростатического поля. Дальнейшее формирование и пространственное развитие дуги происходит уже на основе термоэлектронной эмиссии с поверхности катодного электрода и термической ионизации молекул воздуха в основном столбе дуги, т. е. определяющим в этом процессе выступает тепловой фактор.

Стабильность горения дуги определяется динамическим балансом двух взаимно противоположных процессов – ионизации и деионизации. Поэтому прекращение дугового процесса возможно только том случае, если скорость деионизации оказывается больше, чем ионизационный процесс. Вот почему стабильность горения дуги в сильной степени зависит от величины дугового тока – основного механизма регулирования температурных условий при реализации термической формы ионизации.

Упрощенная схема замещения токового контура якорных секций в случае зажигания дуги на коллекторе представлена на рис. 5.

В соответствии с представленной схемой, условием гашения дуги является

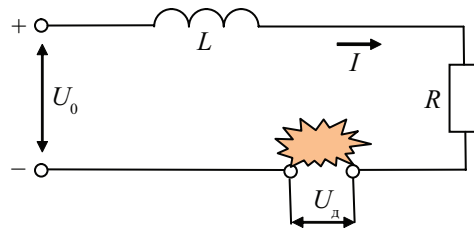


Рис. 5. Электрическая схема замещения якорной секции с дуговым разрядом

$$L \frac{di}{dt} = (U_0 - IR) - u_d(t) < 0. \quad (1)$$

Откуда

$$u_d(t) > (U_0 - IR). \quad (2)$$

При этом напряжение на дуговом разряде складывается

$$u_d = \Delta u_k + \Delta u_a + \frac{du_{ст}}{dx} l_{ст}, \quad (3)$$

где  $(\Delta u_k + \Delta u_a)$  – катодное и анодное падение напряжение. Рассматриваются как константы в пределах (15–30) В;  $\frac{du_{ст}}{dx}$  – градиент падения напряжения в основном столбе дуги;  $l_{ст}$  – длина основного столба дуги.

Из выражения (3) следует, что при заданном значении дугового тока  $I$  выполнение условия прекращения горения дуги (2) выполняется тем легче, чем выше оказывается падение напряжения в дуге  $U_d$ .

Из сказанного следует, что повышение интенсивности процесса деионизации для облегчения условий погашения дуги может быть достигнуто: а) охлаждением дуги (для снижения интенсивности процесса термоионизации), б) увеличением длины основного столба дуги (для повышения величины падения напряжения в дуге), в) уменьшением ее токопроводящего сечения (для увеличения ее эквивалентного сопротивления и соответственно снижения дугового тока – главного фактора регулирования интенсивности процесса термоионизации) и г) пространственным перемещением дуги (для отрыва ее столба от опорных точек питания).

Авторами предлагается комплексное использование всех перечисленных выше факторов ускоренного гашения дуги в машинах средней и большой мощности за счет применения воздушного дутья [7] (рис. 6).

Применение традиционной системы вентиляции в качестве источника воздушного дутья на коллекторе

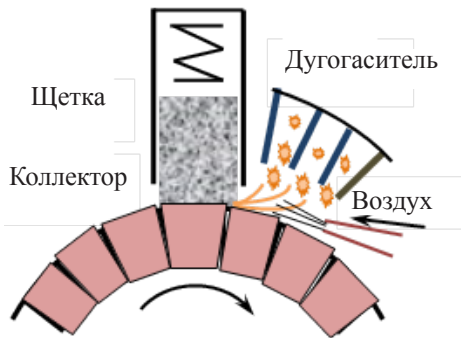


Рис. 6. Схема воздушного дутья

наталкивается на ряд конструктивных сложностей в реализации данного метода.

Для обеспечения воздушного дутья необходим независимый и достаточно мощный источник сжатого воздуха. В конструкции любого локомотива для этих целей лучше всего подходит тормозная магистраль, давление которой через редуктор может регулироваться вплоть до 9–10 атмосфер.

Предлагается организовывать подачу сжатого воздуха в зону наиболее вероятного искрения под щетками по касательной к поверхности коллектора в направлении, противоположном вращению (см. рис. 6). Очевидно, что температура воздушной струи при этом будет на уровне окружающей среды, что обеспечит эффективное охлаждение как самой дуги, так и опорного электрода.

Кроме того, динамический напор сжатого воздуха будет способствовать отрыву опорной части дуги от поверхности коллектора и удлинению ее траектории, причем не в сторону нажимного конуса, а вверх по касательной к вращающейся поверхности, в сторону устройства дугогашения.

Сопутствующими преимуществами метода является и то, что дополнительный обдув коллектора будет способствовать не только снижению концентрации заряженных частиц в коллекторной камере, но и препятствовать возникновению потенциального искрения за счет эффективного удаления щеточной

пыли из межламельного пространства, что повышает пробивные межламельные напряжения.

Предлагаемые методы по снижению дугообразования на коллекторе электрических машин прошли предварительную экспериментальную проверку эффективности на тяговом двигателе

ДК-29. Для достижения максимальной эффективности предлагаемых решений и выбора оптимальных режимов их работы необходимо проводить предметные исследования по подбору рабочих параметров на тех типах электрических машин, на которых предполагается их практическое использование. ■

#### Литература

1. Токарев Б. Ф. Электрические машины. М. : Энергоиздат, 1954. С. 472.
2. Сулейманов Р. Я. Динамика управления тяговым приводом постоянного тока с электронно-импульсным регулированием // Вестник УрГУПС, 2010. № 1. С. 40–48. ISSN 2079-0392.
3. Брон О.Б. Электрическая дуга в аппаратах управления. М.–Л. : Государственное энергетическое издательство, 1954. С. 472.
4. Пат. RU № 2026596, МПК6 H02K 13/14. В.Л. Лотоцкий, С.В. Лотоцкий. Коллектор электрической машины. Оpubл. 10.01.1995.
5. Пат. RU № 2026595, МПК6 H02K 13/10. В.Л. Лотоцкий, С.В. Лотоцкий. Щеточно-коллекторный узел электрической машины.
6. Пат. РФ. RU № 2 316876 МПК Оpubл 10.02.2008 Бюл. № 4. Устройство защиты коллектора машины постоянного тока от искрения под щетками.
7. Пат. РФ. RU 2270511 МПК H 02K 9/28. Оpubл 20.02.2006, Бюл. № 5 Способ защиты двигателей постоянного тока от круговых огней на коллекторе.

#### Literature

1. Tokarev B.F. Electric machinery [Elektricheskie mashiny] M. : Energoizdat. 1954. P. 472.
2. Suleimanov R.Ya. Dynamics of control over DC tractive drive with electronic and pulse regulation [Dinamika upravleniya tyagovym privodom postoyannogo toka s elektronno-impul'snym regulirovaniem] // Herald of USURT, 2010. № 1. P. 40–48. ISSN 2079-0392.
3. Bron O.B. Electrical arc in control switches [Elektricheskaya duga v apparatah upravleniya] M.–L. : State Power engineering publishers, 1954. P. 472.
4. Patent (RU №2026596, МПК6 H02K 13/14.V.L. Lototsky, S.V. Lototsky. Electric machine collector [Kollektor elektricheskoy mashiny] Published 10.01.1995).
5. Patent. RU №2026595, МПК6 H02K 13/10. V.L. Lototsky, S.V. Lototsky. Brush base-collector unit of an electric machine [Shchetочно-kollektorny uzel elektricheskoy mashiny].
6. Patent RF RU № 2 316876 МПК Published 10.02.2008 Bul. №4. Protective device of a DC machine collector against sparking under brushes [Ustrojstvo zashchity kollektora mashiny postoyannogo toka ot iskreniya pod shchetkami].
7. Patent RF RU 2270 511 МПК H 02K 9/28. Published 20.02.2006, Bul. №5 A technique of DC engine protection against circular flames on the collector [Sposob zashchity dvigateley postoyannogo toka ot krugovykh ogney na kollektore].

*Статья сдана в редакцию 13 марта 2018 года  
0,51 а. л.*

И.А. Яицков

## Теоретическое исследование виброакустических характеристик элементов кабин мотовозов

I.A. Yaitskov

## Theoretical research on vibroacoustic characteristics of the locotractors cabin elements

### Аннотация

Использование в конструкциях транспортных машин виброактивных механизмов значительно увеличивает уровни шума и вибрации, негативно влияющие на работников локомотивных бригад, а при работе транспортных машин в населенных пунктах приводит к акустическому загрязнению окружающей среды.

Необходима реализация мероприятий по снижению шума от движения подвижного состава в местах его формирования. В решении данной задачи отечественными и зарубежными специалистами [1–20] выполнены определенные исследования.

Для кабин мотовозов характерно значительное влияние структурной составляющей шума. Поэтому в настоящей статье приведены результаты теоретических исследований вибрационных и акустических характеристик элементов кабин мотовозов на основе традиционно применяемого метода энергетического баланса для пластинчатых конструкций. Кроме этого, в системе уравнений учтены элементы остекления кабин как слабого звена несущей конструкции. Представленные результаты позволяют при проектировании кабин мотовозов определить ожидаемые уровни звукового давления, сравнить их с предельно допустимыми величинами.

Значения превышений в соответствующих частотных диапазонах и является основной информацией для выбора инженерных решений по снижению уровней шума на этапе проектирования подобных машин.

**Ключевые слова:** шум, вибрация, кабина, двигатели внутреннего сгорания, мотовозы.

DOI: 10.20291/2079-0392-2018-2-42-49

### Annotation

Involvement of vibroactive mechanisms in transport vehicles construction considerably increases the noise intensity and the level of vibration that influences locomotive crews negatively and leads to acoustic environmental pollution in population centers.

Measures are to be taken aimed at decreasing the noise level caused by the rolling stock traffic in the centers of its formation. Certain researches have been conducted by Russian and foreign experts in order the problem to be solved.

The considerable influence of the noise structural component is characteristic of locotractors cabins. Therefore the article presents the results of theoretical researches on vibroacoustic characteristics of the locotractors cabin elements, based on the traditionally applied power balance method of plate constructions. Besides, the system of equations takes into account the cabin glazing elements as a weak point of the construction. The presented results allow to determine the expected noise intensity levels while designing the cabins and compare them to the maximum permissible values. The excessive values in the corresponding frequency ranges serve as the key information for the choice of engineering solutions on the noise intensity level decrease at the stage of designing similar cars.

**Keywords:** noise, vibration, cabin, internal combustion engines, locotractors.

DOI: 10.20291/2079-0392-2018-2-42-49

---

*Статья рекомендована к печати И. Г. Переверзевым, канд. техн. наук, доцент, зав. кафедрой «Безопасность жизнедеятельности» РГУПС. E-mail: bgd@kaf.rgups.ru.*

*Иван Анатольевич Яицков, канд. техн. наук, доцент, кафедра «Вагоны и вагонное хозяйство» Ростовского государственного университета путей сообщения (РГУПС); Ростов-на-Дону, Россия. E-mail: yia@rgups.ru.*

*The article is recommended for publication by I.G. Pereverzev, candidate of technical science, assistant professor, head of «health and safety» chair, RSTU. E-mail: bgd@kaf.rgups.ru.*

*Ivan Anatolievich Yaitskov, candidate of technical science, vice-director of research department, assistant professor for «Rail cars and rolling stock» chair, Rostov State Transport University (RSTU); Rostov-on-Don, Russia. E-mail: yia@rgups.ru.*

В качестве силовой установки мотовозов используется двигатель внутреннего сгорания, близко расположенный к кабине. Воздействие вибраций и звукового излучения силовых установок, различающихся по мощности, будет отличаться по интенсивности при практически одинаковой компоновке источников вибрации и шума относительно расчетных точек для различных типов мотовозов.

В качестве объекта исследования выбраны мотовозы погрузочно-транспортные МПТ-6 исп. 2 (рис. 1), который оснащен двумя кабинами, и МПТ-4

(рис. 2). Изучалось формирование вибрационных и акустических характеристик на рабочем месте машиниста (для кабин, на крыше которых установлен кран). Расчет структурной составляющей шума основан на методах энергетического баланса, традиционно применяемых для подобных конструкций. Однако эта специфика кабин объектов исследования в работах [1–20] не учтена. В схеме компоновки кабины мотовоза (рис. 1, 2) мы учитывали дверь, остекление и особенности вводимой вибрационной мощности.

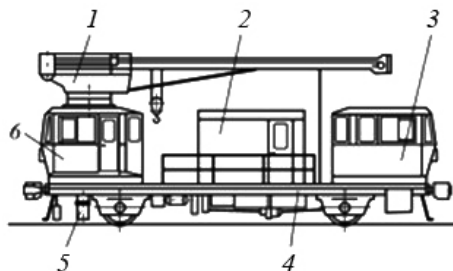


Рис. 1. Компоновка мотовоза погрузочно-транспортного МПТ-6 исп. 2 (общий вид)  
1 – кран грузоподъемный; 2 – мастерская; 3 – кабина для перевозки ремонтных бригад;  
4 – платформа (рама) мотовоза; 5 – аутригеры; 6 – кабина управления

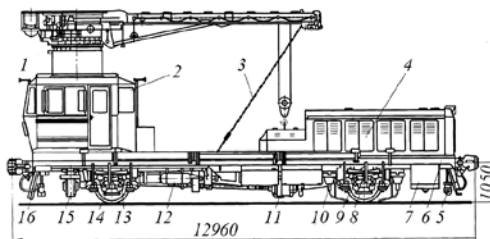


Рис. 2. Компоновка мотовоза погрузочно-транспортного МПТ-4 (общий вид)  
1 – кран грузоподъемный; 2 – кабина управления; 3 – растяжка транспортировочная;  
4 – дизель-генератор; 5 – электрооборудование; 6 – рама; 7 – топливные баки;  
8 – колесные пары; 9 – подвешивание рессорное; 10 – система пескоподачи;  
11 – гидропередача универсальная; 12 – пневмосистема; 13 – отключение рессорного подвешивания; 14 – подножки; 15 – аутригер; 16 – путеотчиститель

Введем обозначения согласно компоновке кабины мотовоза (рис. 2): 1 – пол, 2 – фронтальная панель, 2<sub>0</sub> – элементы остекления фронтальной панели, 2<sub>д</sub> – дверь, 3 – передняя панель, 3<sub>0</sub> – остекление передней панели, 4 – задняя панель, 4<sub>0</sub> – остекление задней панели, 5 – левая панель, 5<sub>0</sub> – остекление левой панели, 6 – потолок кабины.

Для такой схемы компоновки кабины система уравнений примет вид

$$\begin{aligned} & \delta_1 S'_1 q_1 + \alpha_{12} l_{12} q_1 + \alpha_{13} l_{13} q_1 + \alpha_{14} l_{14} q_1 + \\ & + \alpha_{15} l_{15} q_1 + \alpha_{1g} l_{1g} q_1 = \alpha_{21} l_{12} q_2 + \alpha_{32} l_{13} q_3 + \\ & + \alpha_{41} l_{14} q_4 + \alpha_{51} l_{15} q_5 + \alpha_{1g} l_{1g} q_1 + \sum N_1 l_1; \\ & \delta_2 S'_2 q_2 + \sum_1^{k2} \alpha_{20} l_{20} q_2 + \alpha_{2g} l_{2g} q_2 + \\ & + \alpha_{21} l_{12} q_2 + \alpha_{23} l_{23} q_2 + \alpha_{26} l_{26} q_2 = \\ & = \alpha_{21} l_{21} q_1 + \sum_1^{k2} \alpha_{02} l_{20} q_{02} + \alpha_{g2} l_{2g} q_g + \\ & + \alpha_{32} l_{23} q_3 + \alpha_{52} l_{25} q_5 + \alpha_{62} l_{26} q_6; \\ & \sum_1^{k2} \delta_0 S'_0 q_{02} + \sum_1^{k2} \alpha_{02} l_{20} q_{02} = \sum_1^{k2} \alpha_{20} l_{20} q_2; \\ & \delta_g S'_g q_g + \alpha_{g2} l_{2g} q_g + \alpha_{g1} l_{1g} q_g = \\ & = \alpha_{2g} l_{2g} q_2 + \alpha_{1g} l_{1g} q_1; \\ & \delta_3 S'_3 q_3 + \alpha_{31} l_{13} q_3 + \sum_1^{k3} \alpha_{30} l_{30} q_3 + \alpha_{32} l_{23} q_3 + \\ & + \alpha_{34} l_{34} q_3 + \alpha_{36} l_{36} q_3 = \alpha_{13} l_{13} q_1 + \\ & + \sum_1^{k3} \alpha_{03} l_{30} q_{03} + \alpha_{23} l_{23} q_2 + \alpha_{43} l_{34} q_4 + \alpha_{63} l_{36} q_6; \\ & \sum_1^{k3} \delta_0 S'_0 q_{03} + \sum_1^{k3} \alpha_{03} l_{30} q_3 = \sum_1^{k3} \alpha_{30} l_{30} q_3; \\ & \delta_4 S'_4 q_4 + \sum_1^{k4} \alpha_{40} l_{40} q_4 + \alpha_{41} l_{14} q_4 + \alpha_{43} l_{34} q_4 + \\ & + \alpha_{45} l_{45} q_4 + \alpha_{46} l_{46} q_4 = \sum_1^{k4} \alpha_{04} l_{40} q_{04} + \\ & + \alpha_{14} l_{14} q_1 + \alpha_{34} l_{34} q_3 + \alpha_{54} l_{45} q_5 + \alpha_{64} l_{46} q_6; \end{aligned}$$

$$\sum_1^{k4} \delta_0 S'_0 q_{04} + \sum_1^{k4} \alpha_{04} l_{40} q_{04} = \sum_1^{k4} \alpha_{40} l_{40} q_4;$$

$$\delta_5 S'_5 q_5 + \sum_1^{k5} \alpha_{50} l_{50} q_5 + \alpha_{51} l_{15} q_5 + \alpha_{52} l_{25} q_5 +$$

$$+ \alpha_{54} l_{45} q_5 + \alpha_{56} l_{56} q_5 = \sum_1^{k5} \alpha_{05} l_{50} q_{05} +$$

$$+ \alpha_{15} l_{15} q_1 + \alpha_{25} l_{25} q_2 + \alpha_{45} l_{45} q_4 + \alpha_{65} l_{56} q_6;$$

$$\sum_1^{k5} \delta_0 S'_0 q_{05} + \sum_1^{k5} \alpha_{05} l_{05} q_{05} = \sum_1^{k5} \alpha_{50} l_{05} q_5;$$

$$\delta_6 S'_6 q_6 + \alpha_{62} l_{26} q_6 + \alpha_{63} l_{36} q_6 + \alpha_{64} l_{46} q_6 +$$

$$+ \alpha_{65} l_{56} q_6 = \alpha_{26} l_{26} q_2 + \alpha_{36} l_{36} q_3 +$$

$$+ \alpha_{46} l_{46} q_4 + \alpha_{56} l_{56} q_5 + \alpha_{1g} l_{1g} q_1 + N_6 l_6,$$

где  $q_{02}$ ,  $q_{03}$ ,  $q_{04}$ ,  $q_{05}$  – потоки вибрационной мощности в остеклении соответствующих панелей кабины мотовоза, Вт/м;  $k_2$ ,  $k_3$ ,  $k_4$ ,  $k_5$  – количество элементов остекления;  $S'_i$  – площадь соответствующего элемента остекления, м<sup>2</sup>; индекс  $g$  относится к двери во второй панели кабины;  $\sum_1^2 N$  – вибромощности, передаваемые в пол кабины от колесных пар и силовой установки, Вт;  $N_6$  – вибромощность, передаваемая в потолок кабины от крана, Вт;  $l_1$  – расстояние между креплением кабины к раме, м;  $l_6 = \pi d_k$ ,  $d_k$  – диаметр платформы крана, устанавливаемой на крыше кабины, м.

При толщинах остекления  $h = 5-6$  мм даже при двойных стеклопакетах  $f_{\text{диф}} = \frac{10^4}{S'}$ , т.е. для всего нормируемого частотного диапазона импеданс элементов остекления может быть определен по формуле

$$z_0 = 1,5hfM = 45hS'f, \text{ кг/с.}$$

Для элементов кабины, даже при достижении коэффициента потерь колебательной энергии  $h \sim 10^{-2}$ ,  $f_{\text{диф}} = \frac{4 \cdot 10^4}{S'}$ , т.е. для элементов кабины также можно

использовать зависимость для импеданс во всем нормируемом диапазоне частот

$$z_0 = 1,5hfM.$$

Тогда скорость колебаний каждого элемента кабины определяется как

$$V_i = \sqrt{\frac{q_i}{z_i}}.$$

Коэффициент поглощения

$$\delta = \frac{\pi f \eta}{2C_u} = \frac{\pi f \eta}{2\sqrt{c_i} hf \cdot 1,8};$$

для остекления:

$$\delta = \frac{3,14 \cdot 2,5 \cdot 10^{-2} \eta}{2\sqrt{\frac{4,3 \cdot 10^9}{1,2 \cdot 10^3} hf \cdot 1,8}} = 68 \cdot 10^{-4} \sqrt{\frac{f}{h}};$$

для кузовных конструкций:

$$\delta = 0,33\eta_\Sigma \sqrt{\frac{f}{h}},$$

где  $\eta_\Sigma$  – суммарный эффективный коэффициент потерь колебательной энергии элементов кабины.

Граница диффузности

$$f = \frac{8h}{\pi \eta S} \sqrt{\frac{E}{3(1 - \mu^2)\rho}};$$

для остекления:

$$f_{\text{диф}} = \frac{8h}{3,14 \cdot 2,5 \cdot 10^{-2} S} \sqrt{\frac{4,3 \cdot 10^9}{3 \cdot 1,2 \cdot 10^3}} = 1,12 \cdot 10^5 \frac{h}{S};$$

для несущей конструкции:

$$f_{\text{диф}} = \frac{7,8 \cdot 10^3 h}{\eta S}.$$

При толщине элементов остекления даже двойного стеклопакета

зависимость для расчета импеданс примет вид

$$z_0 = 0,27fS.$$

Из системы уравнений энергетического баланса определяются энергетические потоки каждого элемента кабины ( $q_i$ ), из которых и рассчитываются скорости колебаний  $V_i = \sqrt{\frac{q_i}{z_i}}$  и уровни вибраций

$$L_v = 20 \lg \frac{V_i}{5 \cdot 10^{-8}}.$$

Для удобства расчета скоростей колебаний элементов кабины система уравнений энергетического баланса представлена в матричном виде (таблица).

Вследствие громоздкости решения системы уравнений относительно скоростей колебаний в данной статье решение не приводится.

Полученные зависимости учитывают не только геометрические и физико-механические параметры всех элементов кабины мотовоза, но и диссипативную функцию, задаваемую эффективным коэффициентом потерь колебательной энергии. Именно эта физическая величина служит основной для выбора средств снижения структурной составляющей шума, которая для тепловозов и мотовозов является одной из основных причин превышения уровней звукового давления в кабинах машинистов над нормативными величинами.

Полученные зависимости позволяют теоретически обосновать выбор вибропоглощающих материалов исходя из предельных спектров на этапе проектирования кабин объектов исследования. ■

$k_1$	$-\alpha_{21}l_{12}$	$-\alpha_{31}l_{13}$	$-\alpha_{41}l_{14}$	$-\alpha_{51}l_{15}$	0	0	0	0	0	0	0	$-\alpha_g l_{1g}$	$q_1$	$l_1 N_1$
$-\alpha_{12}l_{12}$	$k_2$	$-\alpha_{32}l_{23}$	0	$-\alpha_{52}l_{25}$	$-\alpha_{62}l_{26}$	$-\sum_1^{k_2} \alpha_{02}l_{20}$	0	0	0	0	0	$-\alpha_{g2}l_{2g}$	$q_2$	0
$-\alpha_{13}l_{13}$	$-\alpha_{23}l_{23}$	$k_3$	$-\alpha_{43}l_{34}$	0	$-\alpha_{63}l_{36}$	0	$-\sum_1^{k_3} \alpha_{03}l_{30}$	0	0	0	0	0	$q_3$	0
$-\alpha_{14}l_{14}$	0	$-\alpha_{34}l_{34}$	$k_4$	$-\alpha_{54}l_{54}$	$-\alpha_{64}l_{46}$	0	0	$-\sum_1^{k_4} \alpha_{04}l_{40}$	0	0	0	0	$q_4$	0
$-\alpha_{15}l_{15}$	$-\alpha_{25}l_{25}$	0	$-\alpha_{45}l_{45}$	$k_5$	$-\alpha_{65}l_{56}$	0	0	0	0	0	$-\sum_1^{k_5} \alpha_{05}l_{50}$	0	$q_5$	0
0	$-\alpha_{26}l_{26}$	$-\alpha_{36}l_{36}$	$-\alpha_{46}l_{46}$	$-\alpha_{56}l_{56}$	$k_6$	0	0	0	0	0	0	0	$q_6$	$l_6 N_6$
0	$-\sum_1^{k_2} \alpha_{20}l_{20}$	0	0	0	0	$k_7$	0	0	0	0	0	0	$q_{20}$	0
0	0	$-\alpha_{30}l_{30}$	0	0	0	0	$k_8$	0	0	0	0	0	$q_{30}$	0
0	0	0	$-\sum_1^{k_4} \alpha_{40}l_{40}$	0	0	0	0	$k_9$	0	0	0	0	$q_{04}$	0
0	0	0	0	$-\sum_1^{k_5} \alpha_{50}l_{50}$	0	0	0	0	0	0	$k_{10}$	0	$q_{505}$	0
$-\alpha_{1g}l_{1g}$	$-\alpha_{2g}l_{2g}$	0	0	0	0	0	0	0	0	0	0	$k_{11}$	$q_g$	0

**Литература**

1. Подуст С.Ф., Чукарин А.Н., Богуславский И.В. Основы вибро-акустических расчетов отечественных электровозов. Ростов-на-Дону : Издательский центр ДГТУ, 2013. 160 с. ISBN 978-5-7890-0773-0.
2. Подуст С.Ф., Куклин Д.А. Моделирование виброакустической динамики рельса на шпалах // Вестник ДГТУ. 2013. №1-2 (70-71). 2013. С. 103–111. ISSN 1992-5980.
3. Подуст С.Ф. Моделирование виброакустической динамики шпал при движении подвижного состава // Вестник РГУПС. 2013. №1. 2013. С. 50–54. ISSN 0201-727X.
4. Колесников И.В., Пронников Ю.В., Чукарин А.Н. Основы акустического проектирования кабин машинистов (теория и практика). Ростов-на-Дону : Издательский центр ДГТУ, 2012. 120 с. ISBN 978-5-7890-0698-6.
5. Снижение шума и вибрации транспортных средств / В.П. Сергиенко, С.Н. Бухаров, И.В. Колесников и др. М. : Машиностроение, 2014. 297 с. ISBN 978-5-94275-760-1.
6. Подуст С.Ф. Анализ закономерностей шумообразования электропоездов // Вестник РГУПС. 2012. № 14. 2012. С. 42–45. ISSN 0201-727X.
7. Иванов Н.И. Борьба с шумом и вибрациями на путевых и строительных машинах. – 2-е изд., перераб. и доп. М. : Транспорт, 1987. 223 с.
8. The ways of noise and vibration reduction when designing, production and operation of the railway rolling stock // I.V. Kolesnikov, S.F. Podoust, S.S. Podoust, A.N. Chukarin. М. : VINITI RAS, 2015. 216 p. ISBN 978-5-902928-53-9.
9. Пронников Ю.В. Моделирование структурной составляющей шума в кабинах машинистов подвижного состава // Вестник РГУПС. 2010. № 3. С. 64–68. ISSN 0201-727X.
10. Пронников Ю.В. О расчете составляющей шума в кабинах машинистов подвижного состава, создаваемой вибрацией элементов остекления // Сб. тр. междунар. науч.-практ. конф. «Транспорт. Безопасность. Логистика». – Ростов-на-Дону, 2010. С. 8–14.
11. Техническая акустика транспортных машин: справочник / Л.Г. Балишанская, Л.Ф. Дроздова, Н.И. Иванов и др. / под ред. Н.И. Иванова. СПб : Политехника, 1992. 365 с.
12. Иванов Н.И., Кришневский Б.А. Анализ эффективности звукоизолирующих кабин самоходных машин // Борьба с шумом и вредными вибрациями в строительстве. Л. : Ленингр. дом н.-т. пропаганды, 1982. С. 45–51.
13. Ivanov N.I., Kurzev G. The Theory and Practice of Construction and Transport Machine Noise Reduction // Unikeller Conference. Zürich, 1989. P. 4.
14. Иванов Н.И. Инженерная акустика. Теория и практика борьбы с шумом : учебник. – М. : Логос, 2013. 432 с. ISBN 978-5-98704-659-3.
15. Никифоров А.С. Акустическое проектирование судовых конструкций. Л. : Судостроение, 1990. 200 с. ISBN 5-7355-0188-7.
16. Тартаковский Б.Д. Методы и средства вибропоглощения // Борьба с шумом и вибрацией. М. : Знание, 1974. С. 430–436.
17. Яицков И.А., Финоченко Т.А., Чукарин А.Н. Идентификация производственных факторов, влияющих на условия труда работников локомотивных бригад тепловозов и мотовозов. URL: [ivdon.ru/ru/magazine/archive/n4y2017/4438](http://ivdon.ru/ru/magazine/archive/n4y2017/4438) (дата обращения: 24.04.2018).
18. Yaitskov I.A., Chukarin A.N., Finotchenko T.A. Theoretical Research of Noise and Vibration Spectra in Cabins of Locomotive and Diesel Shunting Locomotive // International Journal of Applied Engineering Research. 2017. V. 12. № 21. Pp. 10724-10730. ISSN 0973-4562.
19. Яицков И.А. Теоретическое исследование воздушной составляющей шума силовых установок транспортных машин // Интернет-журнал «Науковедение». 2017. Т. 9. № 6. URL: <https://naukovedenie.ru/PDF/35TVN617.pdf> (дата обращения: 09.04.2018).
20. Яицков И.А., Раздорский С.А. О расчете спектров вибраций и шума тонкостенных оболочек на примере капотов силовых установок и при абразивной обработке сварных швов кузовных конструкций // Современные фундаментальные и прикладные исследования. 2017. № 4 (27). Ч. 1. С. 191–196. ISSN 2221-7797.

**Literature**

1. Podust S.F., Chukarin A.N., Boguslavsky I.V. Fundamentals of vibro-acoustic evaluation of domestic locomotives [Osnovy vibro-akusticheskikh raschetov otechestvennykh elektrovozov] Rostov-on-the-Don : DSTU publishers, 2013. 160 p. ISBN 978-5-7890-0773-0.

2. Podust S.F., Kuklin D.A. Modelling of vibro-acoustic dynamics of a rail on sleepers [Modelirovanie vibroakusticheskoy dinamiki relsa na shpalah] // Herald of DSTU. 2013. № 1–2 (70–71). 2013. P. 103–111. ISSN 1992-5980.
3. Podust S.F. Modelling of vibro-acoustic dynamics of sleepers in rolling stock movement [Modelirovanie vibroakusticheskoy dinamiki shpal pri dvizhenii podvizhnogo sostava ] // Herald of RSURT. 2013. №1. 2013. P. 50–54. ISSN 0201-727X.
4. Kolesnikov I.V., Pronnikov Yu.V., Chukarin A.N. Fundamentals of acoustic designing of locomotive driver's cabs (theory and practice) [Osnovy akusticheskogo proektirovaniya kabin mashinistov (teoriya i praktika)] Rostov-on-the-Don : DSTU publishing centre, 2012. 120 p. ISBN 978-5-7890-0698-6.
5. Reduction of noise and vibration of vehicles [Snizhenie shuma i vibratsii transportnyh sredstv] / V.P. Sergienko, S.N. Bukharov, I.V. Kolesnikov et al. M. : Mechanical engineering, 2014. 297 p. ISBN 978-5-94275-760-1.
6. Podust S.F. Analysis of regularities for noise generation of electric trains [Analiz zakonomernostey shumooobrazovaniya elektropoezdov] // Herald of RSURT. 2012. № 14. 2012. P. 42–45. ISSN 0201-727X.
7. Ivanov N.I. Noise and vibrations control in road and construction machinery [Borba s shumom i vibratsiyami na putevyh i stroitelnyh mashinah]. – 2<sup>nd</sup> ed., revised and augmented. M. : Transport, 1987. 223 p.
8. The ways of noise and vibration reduction when designing, production and operation of the railway rolling stock // I.V. Kolesnikov, S.F. Podoust, S.S. Podoust, A.N. Chukarin. M. : VINITI RAS, 2015. 216 p. ISBN 978-5-902928-53-9.
9. Pronnikov Yu.V. Modelling of noise structural constituent in rolling stock driver's cabs [Modelirovanie strukturnoy sostavlyayushchey shuma v kabinah mashinistov podvizhnogo sostava] // RSURT. 2010. № 3. P. 64–68. ISSN 0201-727X.
10. Pronnikov Yu.V. About evaluation of a noise constituent in rolling stock driver's cabs generated by glazing vibration [O raschete sostavlyayushchey shuma v kabinah mashinistov podvizhnogo sostava, sozdavaemoj vibratsiey elementov ostekleniya] // Col. works of international scientific and practical conf. «Transport. Safety. Logistics». – Rostov-on-the-Don, 2010. P. 8–14.
11. Technical acoustics of vehicles: [Tehnicheskaya akustika transportnyh mashin] reference book / L.G. Balishanskaya, L.F. Drozdova, N.I. Ivanov et al. / edited by N.I. Ivanov : SPb : Politechnica, 1992. 365 p.
12. Ivanov N.I., Krishnevsky B.A. Analysis of efficiency of sound-proof cabs of self-propelled vehicles // Noise and harmful vibration control in construction [Analiz effektivnosti zvukoizoliruyushchih kabin samohodnyh mashin // Borba s shumom i vrednymi vibratsiyami v stroitelstve] L. : Leningr. House of scientific and technical propaganda, 1982. P. 45–51.
13. Ivanov N.I., Kurzev G. The Theory and Practice of Construction and Transport Machine Noise Reduction // Unikeller Conference. Zürich, 1989. P. 4.
14. Ivanov N.I. Engineering acoustics. Theory and practice of noise control: [Inzhenernaya akustika. Teoriya i praktika borby s shumom] textbook. – M. : Logos, 2013. 432 p. ISBN 978-5-98704-659-3.
15. Nikiforov A.S. Acoustic designing of vessel structures [Akusticheskoe proektirovanie sudovyh konstruktsiy] L. : Shipbuilding, 1990. 200 p. ISBN 5-7355-0188-7.
16. Tartakovsky B.D. Methods and means of vibration absorption // Noise and vibration reduction [Metody i sredstva vibropogloshcheniya // Borba s shumom i vibratsiey] M. : Znaniye, 1974. P. 430-436
17. Yaitskov I.A., Finotchenko T.A., Chukarin A.N. Identification of production factors influencing working conditions of diesel shunting and locomotive team workers [Identifikatsiya proizvodstvennykh faktorov, vliyayushchih na usloviya truda rabotnikov lokomotivnykh brigad teplovozov i motovozov] URL: [ivdon.ru/ru/magazine/archive/n4y2017/4438](http://ivdon.ru/ru/magazine/archive/n4y2017/4438) (reference date: 24.04.2018).
18. Yaitskov I.A., Chukarin A.N., Finotchenko T.A. Theoretical Research of Noise and Vibration Spectra in Cabins of Locomotive and Diesel Shunting Locomotive // International Journal of Applied Engineering Research. 2017. V. 12. № 21. Pp. 10724-10730. ISSN 0973-4562.
19. Yaitskov I.A. Theoretical studies of air constituent of transport machinery power unit noise // Online journal «Science studies» [Teoreticheskoe issledovanie vozduшной sostavlyayushchey shuma silovykh ustanovok transportnyh mashin // Internet-zhurnal

- «Naukovedenie»] 2017. V. 9. № 6. URL: [https://naukovedenie.ru /PDF/35TVN617.pdf](https://naukovedenie.ru/PDF/35TVN617.pdf) (reference date: 09.04.2018).
20. Yaitskov I.A., Razdorsky S.A. On evaluation of vibration spectra and noise of thin-wall shells using the example of power unit hoods and in abrasive treatment of carrosserie structure weld seams // Modern fundamental and applied research [O raschete spektrov vibratsiy i shuma tonkostennykh obolochek na primere kapotov silovykh ustanovok i pri abrazivnoy obrabotke svarnykh shvov kuzovnykh konstruktsiy // Sovremennye fundamentalnye i prikladnye issledovaniya] 2017. № 4 (27). P. 1. P. 191–196. ISSN 2221-7797.

*Статья сдана в редакцию 29 мая 2018 года  
0,47 а. л.*

# Организация и логистика

УДК 625.1

Г.Л. Аккерман, М.А. Мыльникова

## Организация мониторинга за напряженным состоянием бесстыкового пути

UDC 625.1

G.L. Akkerman, M.A. Myl'nikova

## Organization of monitoring of the continuous welded railway thermal stress

### Аннотация

При эксплуатации бесстыкового железнодорожного пути возникают температурные напряжения, которые могут привести к нарушению его поперечной и продольной устойчивости. На кафедре «Путь и железнодорожное строительство» УрГУПС для обеспечения безопасного движения поездов разработано устройство – бализа, позволяющее осуществлять контроль за напряженным состоянием пути. Бализа позволяет производить автоматизированный мониторинг за поперечной и продольной устойчивостью пути, а также определять скорость проходящих подвижных составов и их полнота составность.

Бализу необходимо устанавливать в наиболее опасных местах с точки зрения поперечной устойчивости пути как на вновь строящихся линиях, так и на эксплуатируемых путях. Предлагается несколько способов передачи сигнала с бализы на принимающее устройство. Возможно несколько вариантов расположения принимающего устройства. Наиболее детально рассматривается организационный процесс мониторинга за напряженным состоянием бесстыкового пути в каждой дистанции пути и отдельно в службе пути.

**Ключевые слова:** бализа, напряжения, угон, выброс, скорость движения поездов, процесс организации мониторинга, дистанция пути, служба пути.

DOI: 10.20291/2079-0392-2018-2-50-56

### Annotation

While exploiting a continuous welded railway the arising thermal stress can lead to its lateral and longitudinal destabilization. A special device ensuring safe train traffic named *baliza* has been developed at the «Railway and Railway Construction» chair of USURT. The device is meant for controlling the thermally stressed condition of the railway allowing to monitor automatically its lateral and longitudinal stability and to determine the speed and integrity of passing trains.

A baliza is to be established in the most dangerous in the sense of lateral stability places, both on under construction and operating railways. Several ways of the baliza signal transmission to the receiver are suggested. Several options of the receiver disposition are possible and their advantages are revealed in the article. Organization of the continuous welded railway thermal stress monitoring at every railway division and, separately, at the permanent railway department is considered in details.

**Keywords:** baliza, thermal stress, creep, release, train traffic speed, organization of monitoring, railway division, permanent railway department.

DOI: 10.20291/2079-0392-2018-2-50-56

Статья рекомендована к публикации В.С. Шварцфельдом, зав. кафедрой ФГБОУ ВО ДВГУПС, д-ром техн. наук. E-mail: v\_s\_s\_@mail.ru.

Геннадий Львович Аккерман, д-р техн. наук, профессор; кафедра «Путь и железнодорожное строительство» Уральского государственного университета путей сообщения; Екатеринбург, Россия. E-mail: GAkkerman@usurt.ru.

Мария Александровна Мыльникова (Скутина), аспирант; кафедра «Путь и железнодорожное строительство» Уральского государственного университета путей сообщения; Екатеринбург, Россия. E-mail: mylnikova.ma93@gmail.com.

The article is recommended for publication by V.S. Schwartzfeld, head of a chair, FSFEI HE FESTU, doctor of technical science. E-mail: v\_s\_s\_@mail.ru.

Gennady Lvovich Akkerman, doctor of technical science, Professor; «Railway Construction and Railway Track» chair, Ural State University of Railway Transport (USURT). E-mail: GAkkerman@usurt.ru.

Maria Aleksandrovna Mylnikova (Skutina) postgraduate student; «Railway Construction and Railway Track» chair, Ural State University of Railway Transport (USURT), Ekatherinburg, Russia. E-mail: mylnikova.ma93@gmail.com.

В процессе использования бесстыкового пути в рельсовых плетях возникают температурные напряжения, которые могут привести к выбросу или разрыву пути, что представляет собой угрозу для безопасного движения поездов.

Контроль за напряжениями в рельсовых плетях осуществляется несколькими способами. Система СЦБ, основанная на работе рельсовых плетей, производит мониторинг за разрывами пути, не позволяя контролировать его выброс. Путьеизмерительные вагоны измеряют поперечные неровности пути, но данный контроль происходит по факту их появления. Внедряемая система контроля СКБП-2009 позволяет вести контроль за предотказным состоянием пути с точки зрения поперечной устойчивости, но не осуществляет контроль за продольными перемещениями пути. Предлагаемая система контроля не защищена от попадания влаги; осуществляет

контроль напряжений на поверхности рельса. Эксперименты, подтвержденные расчетами, показали [1] неравномерность распределения температуры и напряжений на поверхности рельса и в его сечении.

Нами предлагается осуществлять мониторинг за напряжённым состоянием пути при помощи бализы [1–7].

Предлагаемое устройство «бализа» разработано на кафедре «Путь и железнодорожное строительство» УрГУПС. При его использовании возможен контроль за напряжениями в сечении рельса (а не на его поверхности), возможным выбросом пути, продольным перемещениями пути – угоном, количеством осей проходящих составов, скоростью движения поездов.

Предполагается, что бализа будет установлена в наиболее опасных местах с точки зрения поперечной устойчивости пути (рис. 1): на а) на вновь строящихся линиях или при необходимости

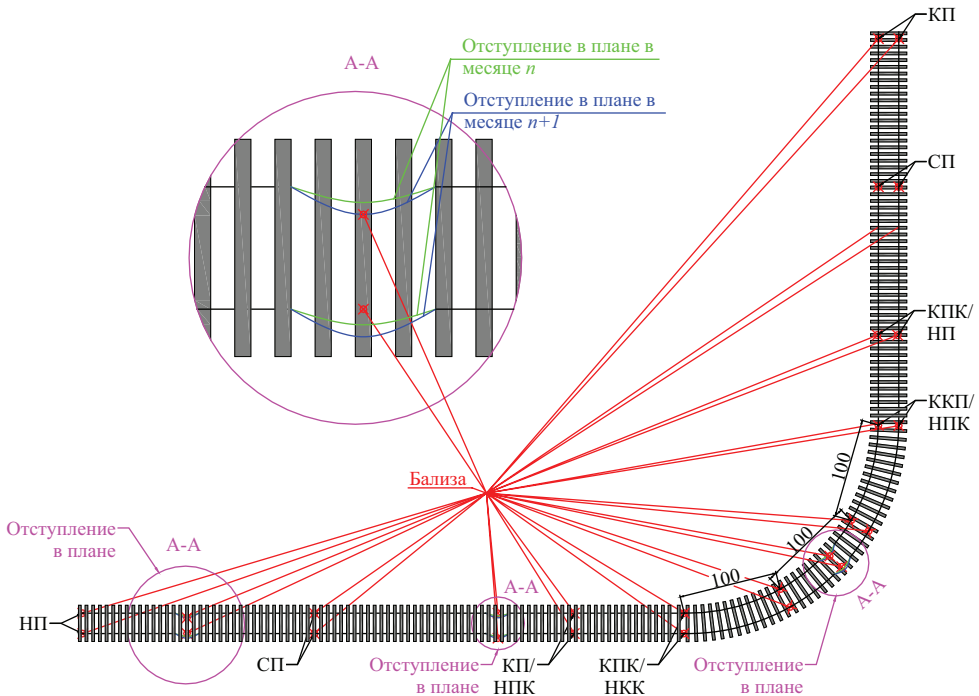


Рис. 1. Схема расположения бализы

НП – начало прямой; СП – середина прямой; КП – конец прямой; НПК – начало переходной кривой; КПК – конец переходной кривой; НКК – начало круговой кривой; ККК – конец круговой кривой

на существующих (в круговых кривых каждые 100 м, в прямых в начале и конце плети, в середине прямолинейных участков при большой длине плети), б) на существующих эксплуатируемых линиях (в местах развития неровностей в плане на основании анализа скорости и ускорения изменения отступлений в плане во времени и в пространстве по результатам путеизмерительных лент [8]).

Результатом прохода путеизмерительного вагона является путеизмерительная лента, в которой отражены такие данные, как величина отступления  $f$  и его длина  $l$ , также есть возможность определения направленности рихтовки. Предлагается аппроксимировать рихтовку параболой (рис. 2) для определения ее изменений в пространстве и времени:

$$y = ax^2 + bx + c. \quad (1)$$

При расположении осей согласно рис. 2 можно найти коэффициенты  $a$ ,  $b$ ,  $c$  при решении системы уравнений, полученной путем подстановки данных в точки 1, 2 и 3:

$$\begin{cases} a \cdot \left(-\frac{l}{2}\right)^2 + b \cdot \left(-\frac{l}{2}\right) + c = 0 \\ a \cdot 0^2 + b \cdot 0 + c = -f \\ a \cdot \left(\frac{l}{2}\right)^2 + b \cdot \left(\frac{l}{2}\right) + c = 0. \end{cases} \quad (2)$$

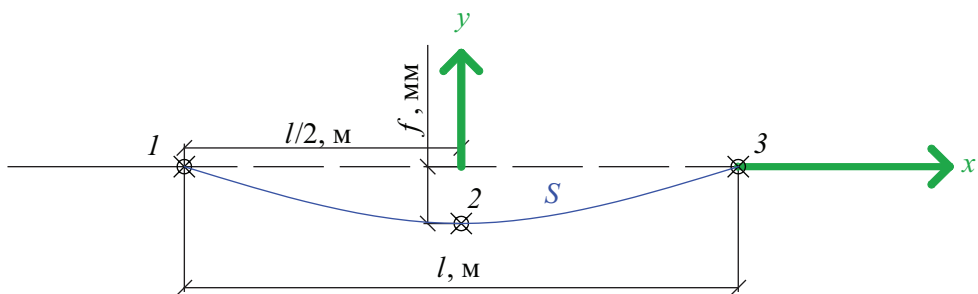


Рис. 2. Аппроксимация рихтовки параболой

Отсюда  $a = \frac{4 \cdot f}{l^2}$ ,  $b = 0$ ,  $c = -f$ . Следовательно, отклонение в плане имеет вид:

$$y = \frac{4 \cdot f}{l^2} \cdot x^2 - f. \quad (3)$$

Далее определяем наиболее частые места возникновения отступлений в плане. Для этого ищем скорость  $V$  и ускорения изменения рихтовки  $a$  от её длины и величины  $y$  путем дифференцирования функции  $y$

$$\begin{aligned} V_i &= \frac{dy}{dx} = 2 \cdot \frac{4 \cdot f}{l^2} \cdot x - f = \\ &= 0,000174x - 0,021, \end{aligned} \quad (4)$$

$$a_i = \frac{d^2y}{dx^2} = 2 \cdot \frac{4 \cdot f}{l^2} = 0,000174. \quad (5)$$

Далее для одного и того же рассматриваемого участка необходимо сравнить ускорение изменения рихтовки  $a_i$  с аналогичными  $a_{i-1}$ , полученными из предыдущих путеизмерительных лент, где  $i$  – дата прохода путеизмерительного вагона, а  $i-1$  – дата предыдущего прохода подобного вагона. Если  $a_{i-1} < a_i$ , то это сечение является наиболее опасным для нарушения поперечной устойчивости и требуется устройство бализы.

Передача сигнала с бализы происходит на принимающее устройство. Есть несколько вариантов расположения принимающего устройства [2]. Наиболее эффективен способ передачи сигнала на приемник, расположенный на

опоре контактной сети, и далее к потребителям. Здесь исключено вмешательство человека. Замеры возможно проводить с любым шагом по времени. Далее с принимающего устройства сигнал поступает в единую систему обработки данных.

Схематично процесс организации мониторинга в дистанции пути представлен на рис. 3.

Процесс организации мониторинга за напряженным состоянием бесстыкового пути в службах пути устроен таким образом, что конечный сигнал из единой системы обработки данных каждой дистанции пути поступает оператору, находящемуся в службе пути (рис. 4).

Оператор на основании выходных данных (рис. 5), полученных с бализы, по шкале для определения критических состояний пути (рис. 6) принимает решение для каждого участка о продолжении работы или его закрытии до устранения неполадки. После этого опе-

ратор отправляет указания к действиям диспетчерам и в путевую часть в случае необходимости. Запись результатов измерений и принятого оператором решения автоматически дублируется на сервере. Полученные данные хранятся в течение 5–10 лет.

Прием и передача сигнала с каждой бализы на приемопередаточное устройство, в единую систему обработки данных, в службу пути и службу движения должен осуществляться по радиоволнам, wi-fi или GSM-связи.

Таким образом, процесс организации мониторинга за напряженным состоянием пути при помощи бализы производится автоматизированно, это позволяет снизить количество ошибок, возникающих в результате человеческого фактора. Бализа осуществляет контроль за большим спектром параметров, что увеличивает безопасность движения поездов и способствует развитию современного тренда – цифровизации. ■

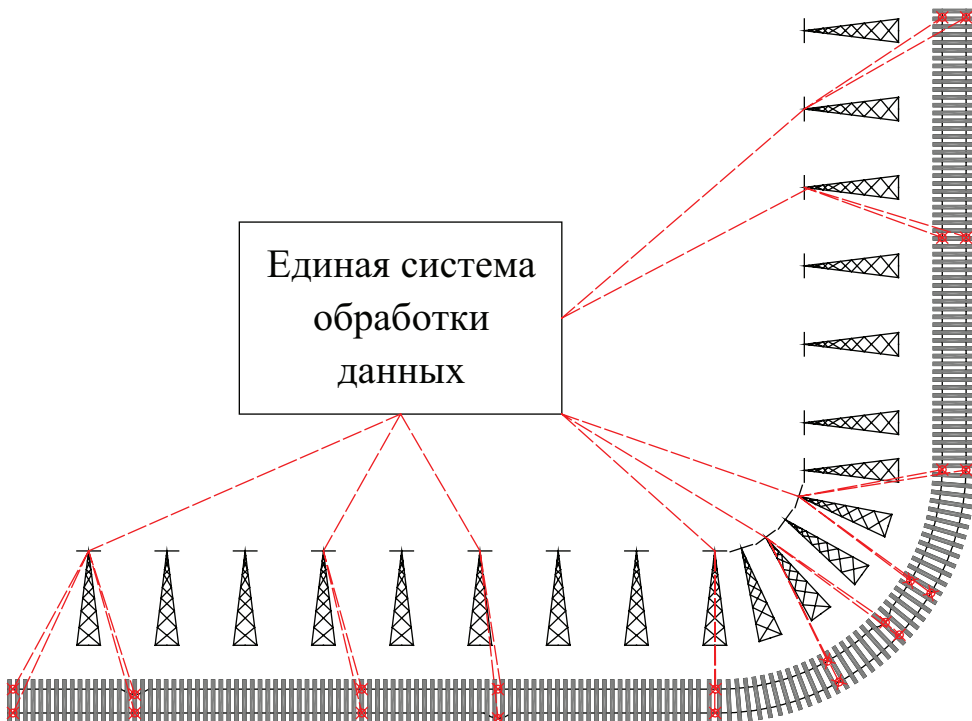


Рис. 3. Процесс организации мониторинга в дистанции пути

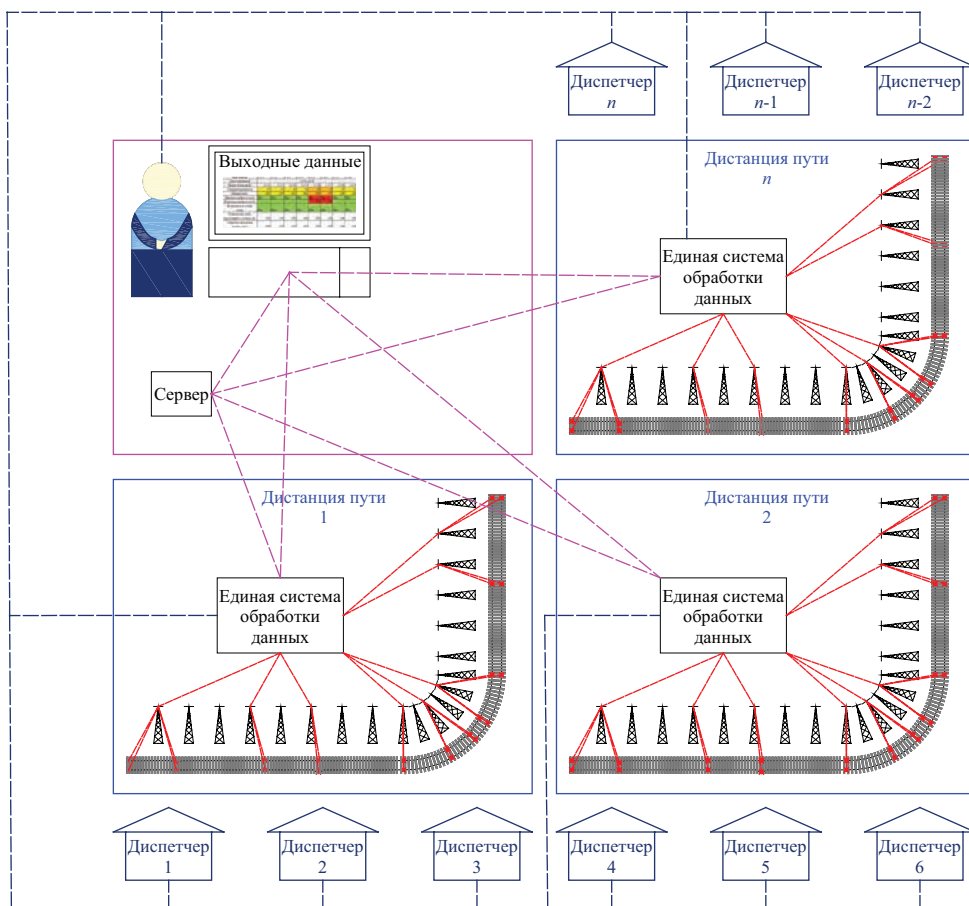


Рис. 4. Процесс организации мониторинга в службе пути

Имя бализы	1.1.1	1.1.2	1.1.3	1.1.4	1.1.5	1.1.6	1.1.7	1.1.8
Дата измерений	24.04.2018							
Время измерений	11:32	11:33	11:34	11:35	11:36	11:37	11:38	11:39
Температура рельса	10	10	10	10	15	15	10	10
Напряжения	200	200	200	200	350	350	200	200
Возможность выброса пути	Нет	Нет	Нет	Нет	Да	Да	Нет	Нет
Величина выброса пути					100	100		
Возможность угона пути	Нет	Нет	Нет	Нет	Да	Да	Нет	Нет
Количество осей проходящего состава, шт.	280	280	280	280	280	280	280	280
Скорость движения поезда, км/ч	100	100	100	100	100	100	100	100

Рис. 5. Пример выходных данных



Рис. 6. Шкалы для определения критических состояний рельсовой плети

### Литература

1. Скутина (Мыльникова) М.А. Влияние изменения температуры по поверхности и сечению рельса на устойчивость бесстыкового пути // Транспорт Урала. 2017. № 1 (52). С. 81–85. ISSN 1815-9400.
2. Аккерман Г.Л., Скутина (Мыльникова) М.А. Контроль температурно-напряженного состояния рельсовых плетей, выброса, разрыва и угона железнодорожного бесстыкового пути при помощи бализы // Вестник УрГУПС. 2017. № 1 (33). С. 28–34. ISSN 2079-0392.
3. Akkerman G.L., Skutina (Mylnikova) M.A. Control over transverse shifts of rail sleeper lattice which impact on deformation of ballast layer // В сб. : Procedia Engineering, 2017. С. 181–185.
4. Аккерман Г.Л., Скутина (Мыльникова) М.А. Средства контроля за мониторингом рельсовых плетей // РСП Эксперт. 2015. № 2. С. 17–18.
5. Аккерман Г.Л., Скутина (Мыльникова) М.А. Бализа как способ контроля напряженного состояния рельсовых плетей, выброса и разрыва пути // Инновационный транспорт. 2015. № 3 (17). С. 34–37. ISSN 2311-164X.
6. Скутина (Мыльникова) М.А. Определение напряженного состояния рельсовых плетей при помощи бализ // Повышение эффективности транспортной системы региона: проблемы и перспективы : м-лы Всеросс. научн. практ. конф. с международн. участием ; В 3 т. / под ред. С.М. Гончарука. – Хабаровск : 2015. С. 88–93.
7. Аккерман Г.Л., Скутина (Мыльникова) М.А., Калинин А.В., Рыбинцев И.Е. Бализа – средство контроля температурно-напряженного состояния рельсовых плетей, прогнозирование выброса и разрыва плети // Инновационный транспорт. 2016. № 2 (20). С. 54–61. ISSN 2311-164X.
8. Мыльникова (Скутина) М.А. Определение наиболее опасных мест выброса бесстыкового пути с учетом влияния отступлений в плане на его устойчивость // Проектирование развития региональной сети железных дорог. 2017. № 5. С. 192–195.

### Literature

1. Skutina (Mylnikova) M.A. Influence of rail surface and section temperature changes on stability of continuous welded rails [Vliyaniye izmeneniya temperatury po poverhnosti i secheniyu relsa na ustojchivost besstykovogo puti] // Transport of the Urals. 2017. № 1 (52). С. 81–85. ISSN 1815-9400.
2. Akkerman G.L., Skutina (Mylnikova) M.A. Control over thermal and strained condition of rail bars, blow-out, breakaway and creep of continuous welded rails using a balise [Kontrol temperaturno-napryazhennogo sostoyaniya relsovyh pletej, vybrosa, razryva i uguna zheleznodorozhnogo besstykovogo puti pri pomoshhi balizy] // Herald of USURT. 2017. № 1 (33). P. 28–34. ISSN 2079-0392.

3. Akkerman G.L., Skutina (Mylnikova) M.A. Control over transverse shifts of rail sleeper lattice which impact on deformation of ballast layer // In Col. : Procedia Engineering, 2017. P. 181–185.
4. Akkerman G.L., Skutina (Mylnikova) M.A. Means of control over rail bars monitoring [Sredstva kontrolya za monitoringom relsovyh pletey] // RSP Expert. 2015. № 2. P. 17–18.
5. Akkerman G.L., Skutina (Mylnikova) M.A. A balise as a means of control over strained condition of rail bars, track blow-out and breakaway [Baliza kak sposob kontrolya napryazhennogo sostoyaniya relsovyh pletey, vybrosa i razryva puti ] // Innovational Transport. 2015. № 3 (17). P. 34–37. ISSN 2311-164X.
6. Skutina (Mylnikova) M.A. Designation of rail bars strained condition with a balise // Enhancement of efficiency of the regional transport system: problems and challenges [Opreделение napryazhennogo sostoyaniya relsovyh pletey pri pomoshchi baliz // Povyshenie effektivnosti transportnoy sistemy regiona: problemy i perspektivy]: materials of All-Russia scientific and practical conference with international participation ; In V. 3 / edited by S.M.Goncharuk. – Khabarovsk, 2015. P. 88–93.
7. Akkerman G.L., Skutina (Mylnikova) M.A., Kalinin A.V., Rybintsev I.E. A balise – a means of control over thermal and strained condition of rail bars, forecasting of rail blow-up and breakaway [Baliza – sredstvo kontrolya temperaturno-napryazhennogo sostoyaniya relsovyh pletey, prognozirovanie vybrosa i razryva pletii] // Innovational Transport. 2016. № 2 (20). P. 54–61. ISSN 2311-164X.
8. Mylnikova (Skutina) M.A. Designation of the most dangerous places of continuous welded rail blow-out with consideration of deviations in its stability // Designing regional railways [Opreделение naibolee opasnyh mest vybrosa besстыkovogo puti s uchetom vliyaniya otstupleniy v plane na ego ustoychivost // Proektirovanie razvitiya regionalnoy seti zheleznynh dorog] 2017. № 5. P. 192–195.

*Статья сдана в редакцию 15 апреля 2018 года  
0,35 а. л.*

*В.М. Сай, Т.К. Чернушевич*

## Оценка кадрового риска в сетевой «зонтичной» организационной структуре

*V.M. Sai, T.K. Chernushevich*

## Insider risk assessment in the network «umbrella» structure

### Аннотация

Настоящая работа посвящена вопросам рисков в социальной (кадровой) подсистеме «зонтичной» сетевой структуры на примере ОАО «РЖД» как интегратора сети.

Представлена математическая формализация риска, которая непосредственно связана с кадровым потенциалом субъекта, входящего в организационно-экономическое поле сетевой структуры.

Для оценки рисков персонала сетевой организации рассмотрены два показателя, характеризующие линейных и функциональных руководителей, – возраст и научно-инженерный потенциал.

Оценка риска кадровой составляющей основана на нормальном распределении возраста руководителей сети и критериях Шапиро – Уилка, а определение интегрального показателя научно-инженерного потенциала управленческих работников основано на линейной свертке показателей.

Расчеты выполнены по шести гипотетическим предприятиям в зависимости от объемов поставляемой продукции, критерия Шапиро – Уилка, меры точности (рассеивание характеристик).

Количественная оценка риска изменяется от 0 до 1.

При таком подходе учета рисков интегратор настраивает элементы сети под необходимый ему уровень надежности. В этом случае можно говорить, что интегратор настраивает организационную сеть под себя или для себя. Безусловно, такая настройка возможна только в «зонтичных» компаниях.

**Ключевые слова:** сетевые структуры, «зонтичные» структуры, риски в сетях, оценка рисков.

DOI: 10.20291/2079-0392-2018-2-57-67

### Annotation

The article is devoted to the questions of risks in the social insider subsystem of an «umbrella» network structure on the example of JSC «Russian Railways» as the network integrator.

Mathematic formal characterization of the risk directly connected to the human capacity of a subject included into the organizational and economic field of the network structure is presented.

Two characteristics of line and functional managers – their age and scientific engineering potential are considered for assessment of insider risks of the network organization.

Assessment of the insider risk is based on adequate distribution of the network managers' age and the Shapiro-Wilk criterion. The integral indicator of the managers' scientific engineering potential is based on the linear connection of the indicators.

The calculations are executed for six hypothetical enterprises depending on the volumes production delivered, the Shapiro – Wilk criterion and the level of precision (the characteristics inaccuracy).

The quantitative assessment of the risk varies from 0 to 1.

Under such approach to the risks consideration, the integrator adjusts the network elements to the needed reliability level. In this case it may be stated that the integrator adjusts the network to itself. Certainly, such adjustment is feasible for «umbrella» companies only.

**Keywords:** network structures, «umbrella» structures, networks risks, risks assessment.

DOI: 10.20291/2079-0392-2018-2-57-67

*Статья рекомендована к публикации В.М. Самуйловым, д-ром техн. наук, профессором, УрГУПС. E-mail: E-mail: VSamuilov@mail.ru.*

**Василий Михайлович Сай**, д-р техн. наук, профессор; кафедра «Путь и железнодорожное строительство» Уральского государственного университета путей сообщения; Екатеринбург, Россия. E-mail: vsay@usurt.ru.

**Таисия Константиновна Чернушевич**, аспирант; кафедра «Путь и железнодорожное строительство» Уральского государственного университета путей сообщения; Екатеринбург, Россия. E-mail: tk\_ch@mail.ru.

*The article is recommended for publication by V.M. Samuilov, doctor of technical science, professor, USURT. E-mail: VSamuilov@mail.ru.*

**Vasily Mikhailovich Sai**, doctor of technical science, professor; «Railway Construction and Railway Track» chair, Ural State University of Railway Transport, Ekaterinburg, Russia. E-mail: vsay@usurt.ru.

**Taisia Konstantinovna Chernushevich**, postgraduate student; «Railway Construction and Railway Track» chair, Ural State University of Railway Transport, Ekaterinburg, Russia. E-mail: tk\_ch@mail.ru.

Современная экономическая среда характеризуется постоянно меняющимися организационно-экономическими условиями. Успех в работе хозяйствующего субъекта, его эффективное развитие, жизнеспособность зависят от способности предприятия быстро менять устоявшиеся подходы хозяйствования на новые тенденции деятельности.

Современная экономическая среда представляет собой не только набор строгих детерминированных процессов, но и множество вероятностных неблагоприятных событий. Значит, для эффективной работы предприятия крайне важно умение моделировать вероятностные процессы производственно-хозяйственной деятельности, что позволяет прогнозировать неблагоприятные исходы деятельности.

Далее под неблагоприятными исходами будем понимать вероятность наступления рисков потерь (убытков).

Сегодня риск стал неотъемлемой частью нашей жизни; в сложившихся условиях благодаря учету и оценке риска, а также рациональному управлению им в сетевой организации можно достигнуть эффективного и надежного развития, снизить издержки всех составляющих организационной структуры, тем самым повысив динамику в работе.

Настоящая работа посвящена вопросам рисков в социальной (кадровой) подсистеме «зонтичной» сетевой структуры. Под «зонтичной» сетевой структурой будем понимать экономическую форму организации, интегратором которой является крупная фирма, а элементами сети – хозяйствующие субъекты (субъекты права), взаимоотношения с которыми интегратор выстраивает на вещном праве или на договорных началах. В статье некоторые примеры расчетов выполнены для «зонтичной» сетевой структуры, интегратором которой служит ОАО «РЖД».

Основоположники фундаментальных исследований в области риска – Дж. М. Кейнс, Ф. Найт, К. Рэдхэд, С. Хьюз, У. Бек [1–5]. Именно в их трудах впервые отражены общие управ-

ленческие и экономические концепции риска.

Исследования в области рисков также проводили и многие отечественные ученые. В их работах можно выделить общие характеристики риска: «неопределенность, противоречивость, непредсказуемость исхода, возможность ущерба, отклонения от заданного результата» [6].

Зачастую риск связывают с возможностью наступления неблагоприятного события [7]. У других авторов риск определен как «действия в неясной, неопределённой обстановке (наудачу), то есть деятельность субъектов хозяйственной жизни, связанную с преодолением неопределённости» [8].

Некоторые авторы утверждают, что «риск – это опасность нежелательных отклонений от ожидаемых состояний будущего, из расчета которых принимаются решения в настоящем» [9].

Другие авторы риск характеризуют «как событие или группу родственных случайных событий, наносящих ущерб объекту, обладающему данным риском» [10].

На железнодорожном транспорте исследования в области рисков проводили Н. Е. Любавина, В. А. Золотов, М. И. Федосеева и др.

На транспорте определений понятия «риск» также множество. Например, риск оценивается «как вероятность наступления неблагоприятного результата при достижении своих целей с учетом контролируемых и неконтролируемых факторов» [11].

В работе «Экономические методы управления рисками при транспортном обслуживании» автор придерживается мнения, что «риск на железнодорожном транспорте – это вероятность потерь части доходов каждого подразделения и отрасли в целом или возможность получения части дополнительной прибыли по сравнению с существующим вариантом в результате деятельности, связанной с преодолением неопределенности» [12]. Авторы также утверждают, что «риск при

транспортном обслуживании является объективным и существенным его свойством», характеризующимся «неопределенностью во взаимоотношениях с внешней средой и вероятностью возникновения как потерь, так и дополнительных доходов (эффектов) при реализации всех стадий процесса».

Анализируя такое большое разнообразие исследовательских подходов к понятию «управление кадровым риском», можно констатировать, что понятие «риск», с одной стороны, – сложная управленческая категория, а с другой, что это явление в теоретическом плане недостаточно изучено. Отсюда возникает и практическая проблема в практике деятельности хозяйственного субъекта – количественная оценка риска.

Но благодаря учету и оценке риска, а также рациональному управлению им в сетевой организации можно достигнуть эффективного и надежного развития, снизить издержки всех составляющих организационной структуры, тем самым повысив динамику в работе.

Настоящая работа посвящена вопросам рисков в социальной (кадровой) сфере сетевой структуры.

К числу отечественных ученых, активно исследующих кадровое направление рискологии, можно отнести А. А. Аминова, Е. Н. Буланову, А. Г. Бадалова, Л. М. Забирову, Н. В. Карцеву, А. Е. Митрофанову, М. В. Кынтикову, Т. О. Соломанидину, Н. С. Шкурко и др.

Например, под термином «управление кадровым риском» рассматривают деятельность в условиях неопределенности, «направленную на разработку стратегических и тактических мер по анализу риска, выработки и принятия соответствующих мер для оптимизации управления в условиях риска на всех этапах работы с человеческими ресурсами компании» [13].

Другой автор считает, что «управление кадровым риском» – это «процесс определения, оценки и контроля всех внутренних и внешних факторов кадрового риска, изменение которых может

негативно повлиять на деятельность организации и её персонала» [14].

В своей работе М. В. Кынтиков отмечает, что управление риском с точки зрения системного подхода можно представить как систему, состоящую из управляющей подсистемы – субъекта управления и управляемой подсистемы – объекта управления. Система управления риском понимается как аппарат, который на основе полученной информации о рисках компании разрабатывает стратегию и тактику управления, направленную на их минимизацию [15].

Риск, связанный с деятельностью персонала, является одним из основополагающих в ходе функционирования предприятия. Так, согласно международному рейтингу Ernst&Young, кадровый риск входит в десятку наиболее значимых рисков, занимая среди них пятое место [16].

Таким образом, возникает насущная необходимость исследования, анализа, математической формализации построения прогнозных моделей для управления кадровым риском в организациях для адекватного реагирования на потенциальные угрозы внешней среды.

Сложность управления кадровым риском обусловлена рядом обстоятельств. Например, многие виды риска неочевидны, имеют вероятностный характер. Так, в работе Л. М. Забировой отмечается, что «в основе риска, связанного с человеческими ресурсами, лежит природа и сущность человека, как самого сложного объекта управления, порождающего некий уровень информационной и поведенческой неопределенности, относительно невысокую управляемость организационного поведения» [17].

Таким образом, во-первых, кадровый риск является трудноуправляемым, и не всегда может быть сведен к минимуму в силу самой природы человеческих ресурсов. Во-вторых, управление кадровым риском – достаточно непростой процесс, потому что риск – это не только риск управления персоналом, но и риск самого персонала.

Кадровый риск отличается как по источнику возникновения, технологии его оценки, так и последствиями рискованной ситуации для персонала и организации.

Целью настоящей работы является математическая формализация риска, непосредственно связанного с кадровым потенциалом субъекта, входящего в организационно-экономическое поле сетевой структуры.

Следовательно, предметом исследования становится кадровая подсистема (или подсистема персонала) организации, входящей в сетевую структуру [18–23].

Существует достаточное количество показателей, определяющих кадровую подсистему и эффективность её работы. Значительное количество показателей, как правило, используется при оценке кадровой подсистемы самим предприятием – субъектом сети: от продуктивности линейно-функциональных руководителей до продуктивности исполнителя.

При формализации риска интегратора сети во взаимодействии с элементом сетевой структуры (субъектом права), входящего в организационную сеть, безусловно, нет необходимости применять большое количество показателей. Достаточно использовать некоторую их последовательность, описывающую деятельность, может быть, лишь первых двух уровней управленческой иерархии, например, возраст, стаж работы, образование, психологические характеристики и др.

В настоящей работе для оценки рисков персонала сетевой организации предложены только два показателя, характеризующие линейных и функциональных руководителей, а также их заместителей, – это возраст (может быть, стаж) и научно-инженерный потенциал.

Оценим первый из предложенных показателей, формирующих кадровый риск интегратора при взаимодействии с элементами сети, – возраст.

Предположим, что возраст сотрудников интегратора сети – случайная величина. Тогда исходя из центральных

предельных теорем [23] при условии непредрвзятости к возрасту претендентов следует, что распределение случайной величины всегда близко к нормальному закону распределения с положительным смещением.

Необходимо отметить, что рассматриваемые (в настоящей работе выбранные авторами) характеристики данного распределения являются для элементов организационной сети, с точки зрения интегратора, наиболее приемлемыми (базовыми, опорными, теоретическим).

Тогда под риском интегратора при его взаимодействии с элементами сети будем понимать некоторые отклонения характеристик распределения возрастов сотрудников сетевого элемента от характеристик распределения возрастов сотрудников интегратора.

Для подтверждения гипотезы о нормальном распределении случайной величины воспользуемся критерием Шапиро – Уилка, так как именно выбранный критерий разработан для проверки гипотезы при малых выборках (от 3 до 50 элементов), что чаще всего встречается при исследовании управляющей иерархии организаций [24].

В работе принято, что основными характеристиками, которые описывают нормальное распределение, являются критерий Шапиро – Уилка  $W$  и «мера точности»  $h$ .

Итак, для интегратора и хозяйствующих субъектов (х.с) критерий Шапиро – Уилка [24]:

$$W_{\text{инт}} = \frac{b_{\text{инт}}^2}{S_{\text{инт}}^2}, \quad (1)$$

$$W_{\text{х.с}}^{1...6} = \frac{b_{\text{х.с}}^2}{S_{\text{х.с}}^2}, \quad (2)$$

где  $b^2 = \left[ \sum_{i=1}^l a_{n-i+1} (x_{n-i+1} - x_i) \right]^2$  – оценка среднеквадратического отклонения Ллойда;

$S^2 = \sum_{i=1}^n (x_i - \bar{x})^2$  – сумма квадратов отклонений от среднего значения выборки.

Сумма квадратов отклонений от среднего значения выборки  $S^2$  определена в соответствии с выборкой интегратора или субъекта сети; параметр  $a_{n-i+1}$  определен по [24];  $n, t$  – количество элементов расчетной выборки ин-

тегратора или субъекта сети;  $t = \frac{n}{2}$ , если  $n$  – четное;  $t = \frac{n-1}{2}$ , если  $n$  – не-

четное;  $x_i, x_{n-i+1}$  – элементы выборки, соответствующие либо элементам выборки интегратора, либо субъекта сети;  $\bar{x}$  – среднее арифметическое выборки интегратора или субъекта сети.

«Мера точности» для нормального закона распределения является характеристикой рассеивания: чем точнее измерение, тем больше мера точности (заимствовано из теории ошибок).

Итак, «мера точности» для интегратора  $h_{\text{инт}}$  и хозяйствующих субъектов  $h_{\text{х.с}}^{1,\dots,6}$  [25]:

$$h_{\text{инт}} = \frac{1}{\sigma_{\text{инт}} \cdot \sqrt{2}}, \quad (3)$$

$$h_{\text{х.с}}^{1,\dots,6} = \frac{1}{\sigma_{\text{х.с}}^{1,\dots,6} \cdot \sqrt{2}}, \quad (4)$$

где  $\sigma = \sqrt{\frac{1}{n} \sum_{i=1}^n (x_i - \bar{x})^2}$  – стандартное

отклонение, определено на основе выборки интегратора или хозяйствующего субъекта;  $n$  – количество элементов расчетной выборки интегратора или субъекта сети;  $x_i$  –  $i$ -й элемент выборки соответствующий  $i$ -му элементу выборки интегратора или субъекта сети;  $\bar{x}$  – среднее арифметическое выборки либо интегратора, либо субъекта сети.

Вычисленные характеристики распределения возрастов сотрудников интегратора и сетевых элементов, необходимые в дальнейших расчетах риска, представлены в таблице 1.

Таблица 1

Субъект	$W$	$W_{\text{тр}}$ [24]	Сравнение $W$ и $W_{\text{тр}}$	$h$
Интегратор	$W_{\text{инт}} = 0,977$	$W_{\text{инт}}^{\text{тр}} = 0,943$ при $n = 43$	$W_{\text{инт}} > W_{\\text{инт}}^{\text{тр}}$ случайная величина нормально распределена	$h_{\text{инт}} = 0,108$
Предприятие 1	$W_{\text{х.с}}^1 = 0,980$	$W_{\text{тр(х.с)}}^1 = 0,842$ при $n = 10$	$W_{\text{х.с}}^1 > W_{\text{тр(х.с)}}^1$ случайная величина нормально распределена	$h_{\text{х.с(1)}} = 0,236$
Предприятие 2	$W_{\text{х.с}}^2 = 0,999$	$W_{\text{тр(х.с)}}^2 = 0,763$ при $n = 3$	$W_{\text{х.с}}^2 > W_{\text{тр(х.с)}}^2$ случайная величина нормально распределена	$h_{\text{х.с(2)}} = 0,172$
Предприятие 3	$W_{\text{х.с}}^3 = 0,912$	$W_{\text{тр(х.с)}}^3 = 0,807$ при $n = 7$	$W_{\text{х.с}}^3 > W_{\text{тр(х.с)}}^3$ случайная величина нормально распределена	$h_{\text{х.с(3)}} = 0,116$
Предприятие 4	$W_{\text{х.с}}^4 = 0,889$	$W_{\text{тр(х.с)}}^4 = 0,818$ при $n = 8$	$W_{\text{х.с}}^4 > W_{\text{тр(х.с)}}^4$ случайная величина нормально распределена	$h_{\text{х.с(4)}} = 0,074$
Предприятие 5	$W_{\text{х.с}}^5 = 0,983$	$W_{\text{тр(х.с)}}^5 = 0,947$ при $n = 50$	$W_{\text{х.с}}^5 > W_{\text{тр(х.с)}}^5$ случайная величина нормально распределена	$h_{\text{х.с(5)}} = 0,099$
Предприятие 6	$W_{\text{х.с}}^6 = 0,974$	$W_{\text{тр(х.с)}}^6 = 0,929$ при $n = 31$	$W_{\text{х.с}}^6 > W_{\text{тр(х.с)}}^6$ случайная величина нормально распределена	$h_{\text{х.с(6)}} = 0,080$

Требуемые критерии Шапиро – Уилка ( $W_{тр}$ ) для интегратора и хозяйствующих субъектов определены по [24] при различных значениях  $n$ . Все расчетные критерии Шапиро – Уилка больше табличных, следовательно, гипотеза о нормальном распределении не отвергается.

Гистограммы и функции распределения возраста сотрудников интегратора и элементов сети представлены на рис.

Ниже предложено выражение для определения количественной оценки риска кадровой составляющей  $R_B^{инт}$ , связанного с возрастом сотрудников.

$$R_B^{инт} = \frac{e^{W_{инт}} - e^{W_{х.с}^{1...6}}}{e^{h_{инт}} - e^{h_{х.с}^{1...6}}} \cdot \frac{1}{\sum_{i=1}^n W_i + e^{\sum_{j=1}^k h_j}}, \quad (5)$$

где  $e^{\sum_{i=1}^n W_i} = W_{инт} + W_{х.с}^{1...6}$  – сумма критериев Шапиро – Уилка интегратора и хозяйствующего элемента;

$e^{\sum_{j=1}^k h_j} = h_{инт} + h_{х.с}^{1...6}$  – сумма «мер точности» интегратора и элемента сети.

Данное выражение имеет смысл при  $W_{х.с}^{1...6} < W_{инт}$  и  $h_{х.с}^{1...6} < h_{инт}$ , иначе  $R_B^{инт} = 0$ .

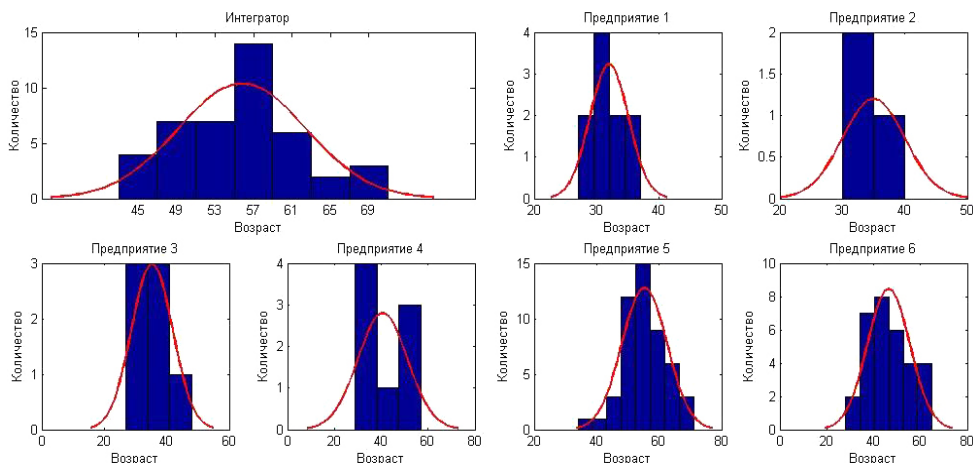
В таблице 2 представлены результаты расчетов оценки рисков, выполненных по выражению (5).

Таблица 2

Субъекты сети	Риск $R_B^{инт}$
Интегратор – Предприятие 1	0
Интегратор – Предприятие 2	0
Интегратор – Предприятие 3	0
Интегратор – Предприятие 4	0,721
Интегратор – Предприятие 5	0
Интегратор – Предприятие 6	0,028

В результате расчетов установлено, что самым ненадежным для интегратора сети с точки зрения возраста сотрудников является предприятие 6. Количественная оценка риска по этому показателю составляет 72,1%. Эта оценка показывает, насколько хозяйствующий субъект, входящий в организационную сеть, не соответствует требованиям интегратора сети.

Далее рассмотрим второй показатель, характеризующий научно-инженерный потенциал руководителя, его заместителей и руководителей функциональных подразделений интегратора и элементов сети. Этот показатель включает следующие факторы: численность управленческих работников с высшим



Гистограммы и функции распределения возраста сотрудников интегратора и элементов сети

образованием ( $N_{\text{в}}$ ), с высшим профессиональным ( $N_{\text{вп}}$ ), с дополнительным образованием ( $N_{\text{до}}$ ), кандидатов ( $N_{\text{кн}}$ ) и докторов наук ( $N_{\text{дн}}$ ).

Запишем выпуклую комбинацию этих факторов и определим показатель научно-инженерного потенциала управленческих работников интегратора, или субъекта права:

$$P_{\text{нип}} = k_1 N_{\text{в}} + k_2 N_{\text{вп}} + k_3 N_{\text{до}} + k_4 N_{\text{кн}} + k_5 N_{\text{дн}}, \quad (6)$$

где  $k_{1,2,5}$  – коэффициенты значимости факторов, предложенных выше. При

этом  $\sum_{i=1}^5 k_i = 1$ ,  $k_1 = 0,1$ ;  $k_2 = 0,1$ ;  $k_3 = 0,2$ ;  $k_4 = 0,25$ ;  $k_5 = 0,35$ .

Безусловно, коэффициенты значимости зависят от особенностей производственно-хозяйственной деятельности предприятия. В настоящей статье эти коэффициенты предложены авторами для транспортной сетевой структуры – холдинга ОАО «РЖД».

Введем обозначения:  $P_{\text{нип}}^{\text{инт}}$  – показатель научно-инженерного потенциала интегратора сети;  $P_{\text{нип}}^{\text{x.c}}$  – показатель научно-инженерного потенциала элемента организационной сети.

В таблице 3 приведены результаты вычислений показателей научно-инженерного потенциала управленческих работников интегратора и элементов сети.

Таблица 3

Субъекты сети	$P_{\text{нип}}$
Интегратор	$P_{\text{нип}}^{\text{инт}} = 12,95$
Предприятие 1	$P_{\text{нип}}^{\text{x.c(1)}} = 2,45$
Предприятие 2	$P_{\text{нип}}^{\text{x.c(2)}} = 1,35$
Предприятие 3	$P_{\text{нип}}^{\text{x.c(3)}} = 1,6$
Предприятие 4	$P_{\text{нип}}^{\text{x.c(4)}} = 2,85$
Предприятие 5	$P_{\text{нип}}^{\text{x.c(5)}} = 18,45$
Предприятие 6	$P_{\text{нип}}^{\text{x.c(6)}} = 8,05$

Далее будем сходиться из того, что показатель научно-инженерной подготовки для элементов сетевой структуры может быть много ниже, чем для самого интегратора сети. На его нормирование может влиять размер самой компании, тип выпускаемой продукции, объемы работ (услуг). Для транспортной сетевой структуры он в первую очередь зависит от влияния продукции (услуги), предоставляемой элементом сети интегратору, на безопасность движения поездов, а также численности поставщиков, насыщения рынка продукцией (услугой), объемов поставок и др.

Итак, с точки зрения формирования интегратора надежной организационной сети появляется понятие «требуемый (проходной) показатель научно-инженерного потенциала предприятия, входящего в сеть».

Именно таким образом интегратор выстраивает организационную сеть по своему подобию.

Тогда требуемый (проходной) показатель научно-инженерного потенциала предприятия, входящего в сеть:

$$P_{\text{нип}}^{\text{с.пот}} = f(P_{\text{нип}}^{\text{инт}}, \alpha_1, \alpha_2, \dots, \alpha_i, \dots, \alpha_n), \quad (7)$$

где  $\alpha_i$  –  $i$ -й параметр для определения требуемого показателя научно-инженерного потенциала элемента организационной сети.

Предположим, что  $\alpha_1$  – параметр, определяющий влияние выпускаемой продукции или оказанной услуги элементами сети на безопасность движения поездов. Параметр  $\alpha_1$  изменится от 0 до 1. В таблице 4 предложен авторский взгляд на распределение параметра  $\alpha_1$  в зависимости от типа продукции.

Таблица 4

Тип продукции	$\alpha_1$
Непосредственно влияющий на безопасность движения	1
Косвенно влияющий на безопасность движения	0,5
Не влияющий на безопасность движения	0

В расчетах настоящей работы принято  $\alpha_1 = 1$  для всех субъектов хозяйствования.

Параметр  $\alpha_2$  может принимать значения больше 1 в том случае, когда интегратору поставляют продукцию или оказывают услугу несколько предприятий. Предположим, что  $\alpha_2$  изменяется по логарифмическому закону  $y = a + b \cdot \ln x$ .

Тогда при  $a = 1$  и  $b = (1 - Q_{\text{пс}})$ , где  $Q_{\text{пс}}$  – доля поставляемой продукции (услуги)  $i$ -м предприятием  $\alpha_2 = 1 + (1 - Q_{\text{пс}}) \cdot \ln z$ , где  $z$  – число снабжающих организаций (чем больше снабжающих предприятий, тем риски в недополучении общего объема продукции уменьшаются). Результаты расчетов  $\alpha_2$  и  $Q_{\text{пс}}$  представлены в таблице 5, причем организации 1–3 поставляют продукцию типа А; организации 4–6 – типа В.

Параметр  $\alpha_3$  характеризует корреляцию размеров интегратора и субъекта права,  $\alpha_3 = \frac{N_{\text{инт}}}{N_{\text{х.с}}^{1, \dots, n}}$ , где  $N_{\text{инт}}$  – количество сотрудников интегратора,

$N_{\text{х.с}}^{1, \dots, n}$  – количество сотрудников у хозяйствующих субъектов сетевой структуры.

Итак, выражение (7) в общем виде примет вид:

$$P_{\text{нип}}^{\text{с. пот}} = \frac{P_{\text{нип}}^{\text{инт}} \alpha_1 \dots}{\alpha_2 \alpha_3 \dots} \quad (8)$$

Для рассматриваемого частного случая, где  $z = 3$  при поставке продукции типа А и  $z = 3$  при поставке продукции типа В, результаты расчетов  $P_{\text{нип}}^{\text{с. пот}}$  представлены в таблице 6.

Итак, для определения возникновения риска необходимо сравнить  $P_{\text{нип}}^{\text{х.с}}$  и  $P_{\text{нип}}^{\text{с. пот}}$ . При  $P_{\text{нип}}^{\text{х.с}} > P_{\text{нип}}^{\text{с. пот}}$  можно утверждать об отсутствии появления рисков.

Результаты сравнения  $P_{\text{нип}}^{\text{х.с}}$  и  $P_{\text{нип}}^{\text{с. пот}}$  приведены в таблице 7.

В ситуации, когда  $P_{\text{нип}}^{\text{х.с}} < P_{\text{нип}}^{\text{с. пот}}$ , количественная оценка риска

$$R_{\text{нип}}^{\text{инт}} = \frac{P_{\text{нип}}^{\text{с. пот}} - P_{\text{нип}}^{\text{х.с}}}{P_{\text{нип}}^{\text{х.с}}} \quad (9)$$

Таблица 5

Предприятие	$\alpha_2$	$Q_{\text{пс}}$
Предприятия, поставляющие интегратору продукцию типа А		
Предприятие 1	1,82	0,25
Предприятие 2	1,99	0,1
Предприятие 3	1,38	0,65
Предприятия, поставляющие интегратору продукцию типа В		
Предприятие 4	1,93	0,15
Предприятие 5	1,71	0,35
Предприятие 6	1,54	0,5

Таблица 6

Наименование	$P_{\text{нип}}^{\text{с. пот}}$
Предприятие 1	1,65
Предприятие 2	0,45
Предприятие 3	1,52
Предприятие 4	1,24
Предприятие 5	8,78
Предприятие 6	6,02

(вычислять не было необходимости, т. к.  $P_{\text{нип}}^{\text{х.с}(5)} > P_{\text{нип}}^{\text{инт}}$ , расчеты предоставлены для наглядности)

Таблица 7

Наименование	Сравнение $P_{\text{нип}}^{\text{х.с}}$ и $P_{\text{нип}}^{\text{с.пот}}$
Предприятие 1	2,45 > 1,65
Предприятие 2	1,35 > 0,45
Предприятие 3	1,6 > 1,52
Предприятие 4	2,85 > 1,24
Предприятие 5	18,45 > 8,78
Предприятие 6	8,05 > 6,02

Таблица 8

Наименование	Риск $R_{\text{кп}}^{\text{инт}}$
Интегратор – Предприятие 1	max (0; 0)
Интегратор – Предприятие 2	max (0; 0)
Интегратор – Предприятие 3	max (0; 0)
Интегратор – Предприятие 4	max (0; 0,721)
Интегратор – Предприятие 5	max (0; 0)
Интегратор – Предприятие 6	max (0; 0,028)

При условии  $P_{\text{нип}}^{\text{х.с}} > P_{\text{нип}}^{\text{с.пот}}$  у интегратора при взаимодействии с хозяйствующими субъектами риск, связанный с научно-инженерным потенциалом элементов сети, –  $R_{\text{нип}}^{\text{инт}} = 0$ .

Как было отмечено выше, при оценке риска интегратора сети во взаимодействии с элементами сетевой структуры, входящими в организационную сеть, может быть использовано несколько показателей.

Тогда возникает вопрос определения интегрального показателя рисков при взаимодействии интегратора сети с хозяйствующими субъектами, входящими в сеть.

В настоящей работе при взаимодействии интегратора с элементами сети риск, относящийся к управляющей подсистеме, определяется самым простым и наглядным образом:

$$R_{\text{кп}}^{\text{инт}} = \max(R_{\text{в}}^{\text{инт}}; R_{\text{нип}}^{\text{инт}}). \quad (10)$$

Результаты вычислений  $R_{\text{кп}}^{\text{инт}}$  представлены в таблице 8.

Итак, предложенная методика оценки рисков интегратора организационной сети при взаимодействии с хозяйствующими субъектами и ее математическая формализация дают возможность определить возникновение рисков, связанных с кадровым потенциалом элементов сети.

Предложенная методика оценки рисков интегратора организационной сети позволяет использовать несколько показателей, по мнению интегратора самых важных на заданном периоде анализа рисков в сети.

При таком подходе учета рисков интегратор настраивает элементы сети под необходимый ему уровень надежности. В этом случае можно говорить, что интегратор настраивает организационную сеть «зонтичных» компаний под себя или для себя. ■

**Литература**

1. Кейнс Дж. М.. Общая теория занятости, процента и денег. Избранное. М. : Эксмо. 2007. 960 с. ISBN 978-5-699-20989-7.
2. Hayes Mk. The Economics of Keynes: A New Guide to the General Theory. Edward Elgar Publishing. 2008. 257 p. ISBN 978-1-781-00868-3.
3. Knight F. H. Risk, Uncertainty and Profit. New York. 1965. 445 p.
4. Рэдхэд К., Хьюс С. Управление финансовыми рисками. М. : ИНФРА-М., 1996. 288 с. ISBN 58-62-25154-5.
5. Beck U. World at Risk 1st Edition. Cambridge : Polity Press. 2010. P. 269. ISBN: 978-0745-64201-7; ISBN 10-0745-64201-2.
6. Якупова Н. М., Магомедова З. М. Контроллинг рисков: выявление, дифференциация, предупреждение. Казань : Казанский гос. ун-т, 2010. 192 с. ISBN 978-5-98180-808-1.
7. Лаврентьева А. А. Проектирование систем управления рисками организаций // Вестник ПАГС. 2004. № 6. С. 68–74. ISSN 1682-2358.
8. В. А. Абчук. Курс предпринимательства. СПб : Изд-во «Альфа». 2001. С. 544. ISBN 5-87062-085-6.
9. Маренков Н. Л., Косаренко Н. Н. Страхование дело. М. : Изд. «Феникс». 2003. С. 608. ISBN 5-222-03960-9; ISBN 5-8309-0082-3.

10. Хохлов Н. В. Управление риском. М. : Юнити-Дана. 1999. С. 239. ISBN 5-238-00119-3.
11. Любавина Н. Е. Совершенствование работы дорожных центров фирменного транспортного обслуживания с учетом экономических рисков в их взаимоотношениях с клиентами : дис. ... на соиск. уч. ст. канд. экон. наук. М., 1999. 176 с.
12. Золотов В. А. Экономические методы управления рисками при транспортном обслуживании : дис. ... на соиск. уч. ст. канд. экон. наук. М. : МГУПС, 2002. 164 с.
13. Соломанидина Т. О., Соломанидин В. Г. Кадровая безопасность компании. М. : Альфа-Пресс, 2011. С. 47–48. ISBN 978-5-16-012411-7.
14. Митрофанова А. Е. Концепция управления кадровыми рисками в работе с персоналом организации // Компетентность. 2013. № 3. С. 40–45. ISSN 1993-8780.
15. Кынтиков М. В. Управление рисками в работе с персоналом в системе обеспечения кадровой безопасности организации : автореф. дис. ... на соиск. уч. ст. канд. экон. наук. М., 2011. 24 с.
16. Десять главных рисков для бизнеса. Прогноз Ernst & Young. URL: <http://www.ey.com/ru/ru/newsroom/news-releases/press-release-11-03-2013> (дата обращения: 10.02.2017).
17. Забирова Л. М. Управление рисками, связанными с человеческими ресурсами // Вестник Казанского государственного финансово-экономического института. 2009. № 2 (15). С. 17–22. ISSN 2073-9672.
18. Чернушевич Т. К. Риски в сетевых организационных структурах // Вестник УрГУПС. 2016. № 2. С. 108–118. ISSN 2079-0392.
19. Сай В. М., Громов И. Д., Чернушевич Т. К. Оценка рисков взаимодействия в организационных сетевых структурах // Транспорт Урала. 2016. № 3 (50). С. 9–13. ISSN 1815-9400.
20. Сай В. М., Громов И. Д. Об организации взаимодействия хозяйствующих субъектов в сетях с разделенными интересами (на примере компании ПАО «РЖД») // Вестник УрГУПС. 2012. № 3. С. 83–94. ISSN 2079-0392.
21. Сай В. М., Сизый С. В. Геометрические характеристики организационных сетей // Мир транспорта. 2010. № 4 (32). С. 10–17. ISSN 1992-3252.
22. Сай В. М. Методология построения сетевых организационных структур на железнодорожном транспорте : дис. ... на соиск. уч. ст. д-ра техн. наук. Екатеринбург : УрГУПС, 2003. 389 с.
23. Орлов А. И. Нечисловая статистика. М. : МЗ-Пресс, 2004. 514 с.
24. Shapiro S. S., Wilk M. B. An analysis of variance test for normality // *Biometrika*. 1965. № 3. P. 591–611. ISSN 0006-3444.
25. Линник Ю. В. Метод наименьших квадратов и основы математико-статистической теории обработки наблюдений. М., 1962. 2-е изд. 354 с.

#### Literature

1. Keynes G.M. General theory of employment, percent and money [Obshchaya teoriya zanyatosti, protsenta i deneg] Selection. M. : Exmo. 2007. 960 p. ISBN 978-5-699-20989-7.
2. Hayes Mk. The Economics of Keynes: A New Guide to the General Theory. Edward Elgar Publishing. 2008. 257 p. ISBN 978-1-781-00868-3.
3. Knight F. H. Risk, Uncertainty and Profit. New York. 1965. 445 p.
4. Redhead K., Hughes S. Financial risk management [Upravlenie finansovymi riskami] M. : INFRA-M., 1996. 288 p. ISBN 58-62-25154-5.
5. Beck U. World at Risk 1st Edition. Cambridge : Polity Press. 2010. p. 269. ISBN: 978-0745-64201-7; ISBN 10-0745-64201-2.
6. Yakupova N.M., Magomedova Z.M. Risk Controlling: detection, differentiation, prevention [Kontrollirovanie riskov: viyavlenie, differentsiatsiya, preduprezhdenie] Kazan : Kazan st. Un-t, 2010. 192 p. ISBN 978-5-98180-808-1.
7. Lavrentieva A.A. Development of risk management systems for entities [Proektirovanie sistem upravleniya riskami organizatsiy] // Herald of PAGES. 2004. № 6. P. 68–74. ISSN 1682-2358.
8. V.A. Abchuck. A Course in Entrepreneurship [Kurs predprinimatelstva] SPb : Alpha Publishers. 2001. P. 544. ISBN 5-87062-085-6.
9. Marenkov N.L., Kosarenko N.N. Insurance business [Strahovoe delo] M. : Phoenix Publishers, 2003. P. 608. ISBN 5-222-03960-9; ISBN 5-8309-0082-3.

10. Khokhlov N.V. Risk management. [Upravlenie riskom] M. : Unity-Dana. 1999. P. 239. ISBN 5-238-00119-3.
11. Lyubavina N.E. Improvement of premium transport servicing centres work with consideration of economic risks in their relationship with customers: [Sovershenstvovanie raboty dorozhnyh tsentrov firmennogo transportnogo obsluzhivaniya s uchetom ekonomicheskikh riskov v ih vzaimootnosheniyah s klientami] a candidate's thesis. M. : 1999. 176 p.
12. Zolotov V.A. Economic methods of risk management in transport servicing: [Ekonomicheskie metody upravleniya riskami pri transportnom obsluzhivanii] a candidate's thesis. M. : MSURT, 2002. 164 p.
13. Solomanidina T.O., Solomanidin V.G. Company personnel security. [Kadrovaya bezopasnost kompanii] M. : Alpha-Press, 2011. P. 47–48. ISBN 978-5-16-012411-7.
14. Mirofanova A.E. Concept of personnel risk management in work with the staff [Kontsepsiya upravleniya kadrovymi riskami v rabote s personalom organizatsii] // Competence. 2013. № 3. P. 40–45. ISSN 1993-8780.
15. Kyntikov M.V. Risk management in work with the staff in personnel security system of an organization: [Upravlenie riskami v rabote s personalom v sisteme obespecheniya kadrovoy bezopasnosti organizatsii] abstract of a candidate's thesis. M., 2011. 24 p.
16. Ten basic business risks. Ernst & Young Forecast [Desyat glavnykh riskov dlya biznesa. Prognoz Ernst & Young.] URL: <http://www.ey.com/ru/ru/newsroom/news-releases/press-release-11-03-2013> (reference date: 10.02. 2017).
17. Zabirowa L.M. Management of risks connected with manpower resources [Upravlenie riskami, svyazannymi s chelovecheskimi resursami] // Herald of Kazan state financial and economic Institute. 2009. № 2 (15). P. 17–22. ISSN 2073-9672.
18. Chernushevich T.K. Risks in netting organization structures [Riski v setevykh organizatsionnykh strukturah] // Herald of USURT. 2016. № 2. P. 108–118. ISSN 2079-0392.
19. Sai V.M., Gromov I.D., Chernushevich T.K. Evaluation of interaction risks in organization netting structures [Otsenka riskov vzaimodeystviya v organizatsionnykh setevykh strukturah] // Transport of the Urals. 2016. № 3 (50). P. 9–13. ISSN 1815-9400.
20. Sai V.M., Gromov I.D. About interaction of economic entities in networks with separate interests (using the example of RZD PAO). [Ob organizatsii vzaimodeystviya hozyajstvuyushchih subjektov v setyah s razdelennymi interesami (na primere kompanii PAO «RZhD»)] // Herald of USURT. 2012. № 3. P. 83–94. ISSN 2079-0392.
21. Sai V.M., Sizy S.V. Geometrical features of organization networks [Geometricheskie harakteristiki organizatsionnykh setej] // The world of transport. 2010. № 4 (32). P. 10–17. ISSN 1992-3252.
22. Sai V.M. Methodology of construction of netting organization structures on railway transport: [Metodologiya postroeniya setevykh organizatsionnykh struktur na zheleznodorozhnom transporte] doctoral thesis. Ekaterinburg: USURT, 2003. 389 p.
23. Orlov A.I. Non-numeric statistics [Nechislovaya statistika] M. : MZ-Press, 2004. 514 p.
24. Shapiro S. S., Wilk M. B. An analysis of variance test for normality // Biometrika. 1965. № 3. P. 591–611. ISSN 0006-3444.
25. Linnik Yu.V. Least square method and fundamentals of mathematical and statistical theory of processing of observations [Metod naimenshih kvadratov i osnovy matematiko-statisticheskoy teorii obrabotki nablyudeniy] M., 1962. 2<sup>nd</sup> ed. 354 p.

*Статья сдана в редакцию 7 мая 2018 года  
0,83 а. л.*

О.Д. Покровская

**Логистическая классность железнодорожных станций**

O.D. Pokrovskaya

**Logistic rating of railway stations****Аннотация**

ОАО «РЖД» теряет потенциальных клиентов, уходящих на private объекты терминально-складской инфраструктуры, в том числе и потому, что клиенты не располагают доступной информацией о комплексном сервисе на объектах холдинга. Нами разработана уникальная система присвоения железнодорожным грузовым станциям, открытым для выполнения грузовых операций, логистического класса на основе значимой для клиента информации о дополнительном логистическом сервисе. Логистический класс позволит упростить идентификацию типа объекта и принять адекватное решение по выбору объекта, наиболее подходящего для бизнеса. Логистический класс станции должен присваиваться экспертным путем (коммерческо-ревизионной службой, независимыми экспертами, клиентами) и размещаться в общесетевом доступе для расширения возможностей комплексной оценки и отслеживания уровня загрузки и развития терминально-складской инфраструктуры ОАО «РЖД» в реальном времени, с одной стороны, и предоставления клиентам в свободном доступе открытых сведений, с другой. Рассмотрена методика присвоения логистического класса с учетом особенностей имеющихся на станции терминально-складской инфраструктуры и ассортимента логистического сервиса. Приведен ряд авторских показателей, позволяющих комплексно оценивать работу логистических объектов на местах общего пользования. В частности, такие новые показатели, как «логистическая работа» и «коэффициент комплексности транспортно-логистического сервиса». Предложена функциональная характеристика железнодорожных логистических объектов по авторской классификации с указанием величины коэффициента комплексности транспортно-логистического сервиса. Прямым прикладным назначением методики является реализация принципов логистики и клиентоориентированности для привлечения высокодоходных грузопотоков, а также переключения грузов с автомобильного транспорта на объекты холдинга РЖД.

**Ключевые слова:** клиентоориентированность, логистический класс, логистические объекты, логистическая работа, комплексность транспортно-логистического сервиса.

DOI: 10.20291/2079-0392-2018-2-68-76

**Annotation**

JSC «Russian Railways» loses its potential clients leaving for private terminal and warehouse infrastructure objects because, inter alia, the clients have no available information on complex service at the objects belonging to the holding.

We have developed a unique system of assessment of railway cargo stations performing logistic operations on the basis of information on additional logistic service significant for the client. The logistic class will allow to simplify identification of an object type and to make an adequate decision on the choice of an object most suitable for business. The logistic class of the station is to be assigned in the expert way (commercial and auditing service, independent experts, clients) and be presented in the Network-wide access, ensuring expansion of opportunities for complex assessment and tracking the loading level and development of the terminal and warehouse infrastructure of JSC «Russian Railways» in real time, on the one hand, and providing the clients with free accessible information, on the other. The technique of a logistic class assignment considering specific features of a terminal-warehouse structure station and its range of logistic service is regarded. A number of the author's indicators allowing to estimate integrally the work of logistic objects in public places are presented, in particular, such new indicators as «logistic operation» and «transport and logistics service integrity coefficient». The functional characteristic of railway logistic objects according to the author's classification indicating the coefficient of the logistic service integrity is suggested. The technique is directly meant for the principles of logistics and client focus realization to engage highly profitable cargo flows and also their reallocation from the motor transport on the objects belonging to «Russian Railways».

**Keywords:** client focus, logistic class, logistic objects, logistic work, integrity of transport and logistics service.

DOI: 10.20291/2079-0392-2018-2-68-76

Статья рекомендована к публикации Д.И. Кочневой, канд. техн. наук, УрГУПС. E-mail: DKochneva@usurt.ru.

Оксана Дмитриевна Покровская, канд. техн. наук, доцент; кафедра «Логистика, коммерческая работа и подвижной состав» Сибирского государственного университета путей сообщения; Новосибирск, Россия. E-mail: insight1986@inbox.ru.

The article is recommended for publication by D.I. Kochneva, candidate of technical science, USURT. E-mail: DKochneva@usurt.ru.

Oksana Dmitrievna Pokrovskaya, candidate of technical science, assistant professor; «Logistics, transport operations and rolling stock» Siberian Transport University; Novosibirsk, Russia. E-mail: insight1986@inbox.ru.

Стратегией развития железнодорожного транспорта до 2030 г. предусмотрена трансформация компании из инфраструктурной и перевозочной в транспортно-логистическую [1].

Применение ОАО «РЖД» клиентоориентированного подхода как элемента антикризисного управления в условиях борьбы за комитента обусловлено переходом заказчиков на альтернативный способ доставки (автотранспортом) или к коммерческим логистическим операторам, что снижает общесетевые объемы погрузки.

Экспертами установлено, что за последние десять лет на автотранспорт перешло не менее 5% годовой погрузки [2]. При отсутствии современных развитых объектов терминально-логистической инфраструктуры реализовать комплексный («сквозной бесшовный») транспортно-логистический сервис и привлечь высокодоходные грузы на железнодорожный транспорт практически невозможно, поскольку именно на таких объектах реализуются услуги добавленной стоимости.

Основа клиентоориентированного сервиса – доступный и удобный сервис, а также достаточный уровень информированности комитентов об услугах холдинга [2, 3].

Сегодня очевидна необходимость реализации принципа клиентоориентированности при информировании потребителей о терминально-складских объектах холдинга, особенно в условиях обострения борьбы за заказчика. Основные требования к такой информации указаны в [4].

Наша цель – предложить методику присвоения логистического класса грузовым станциям с учетом требований клиентоориентированности, доступности и полноты информации. Для этого разработана уникальная система присвоения железнодорожным грузовым станциям, открытым для выполнения грузовых операций, логистического класса на основе значимой для клиента информации о дополнительном логистическом сервисе.

Железнодорожный логистический объект (ЛЮ) – элемент терминально-

складской инфраструктуры железнодорожного транспорта, выполняющий функции узлового элемента терминально-логистической системы по техническому обеспечению и практическому выполнению услуг погрузки, выгрузки, хранения и распределения грузов, включая доведение грузов до потребителя, при взаимодействии с др. участниками процесса перевозок [20].

Логистический класс определяется для железнодорожных грузовых станций, открытых для выполнения грузовых операций и обладающих ЛО на станциях, открытым для выполнения грузовой работы, по балльной методике по всем логистическим функциям и операциям, выполняемым на станции, с учетом их комплексности [21].

Предлагаемый логистический класс грузовой станции, открытой для выполнения грузовых операций, представлен цифрами от 1 до 9 и отражает (на основе авторского коэффициента  $K_{\text{лог}}$ ) ассортимент дополнительного транспортно-логистического сервиса.

Высокая прикладная значимость нового подхода к классности грузовых станций подтверждена доступностью, простотой и полнотой информации о дополнительном «околотранспортном» сервисе; должна быть реализована в самом подходе к присвоению класса. Классность должна отражать особенности имеющейся на станции терминально-складской инфраструктуры, ассортимента транспортного, складского и комплексного логистического сервиса, т. е. параметры, значимые для клиента. Поэтому требуется совершенно иная классификация грузовых станций с учетом особенностей, типологии, функциональности и оснащенности имеющейся на станции терминально-складской инфраструктуры, а также ассортимента транспортного, складского и комплексного логистического сервиса.

Клиентоориентированность такой новой классификации заключается в том, что, с одной стороны, класс будет отражать те параметры, от которых зависит принимаемое клиентом решение

по выбору того или иного объекта, с другой, отвечать особенностям эксплуатационной работы железных дорог и способствовать управляемости, учету, контролю и оценке деятельности объектов терминально-складской инфраструктуры, работающих на местах общего пользования по всей сети железных дорог [5].

Анализ транспортной и логистической литературы по существу вопроса формирования эффективных транспортно-складских систем, в частности, исследований, посвященных рациональному проектированию и эксплуатации терминально-складской инфраструктуры [6–10], классификации терминально-складской инфраструктуры [11–15], оптимизации взаимодействия с клиентурой на рынке транспортно-логистических услуг [11, 13, 15–17], качества транспортно-логистического сервиса [17–19] показал недостаточность теоретических исследований объектов терминально-складской инфраструктуры в таких вопросах, как повышение клиентоориентированности предоставляемого ими сервиса, особенности реализации комплексного транспортно-логистического обслуживания и комплексной оценки деятельности терминально-складской инфраструктуры на сети железных дорог по принципам логистики.

В основе логистической классности находится классификация объектов терминально-складской инфраструктуры, предложенная в [22, 23].

Логистический класс станции должен присваиваться экспертным путем (коммерческо-ревизионной службой, независимыми экспертами, клиентами) и размещаться в общесетевом доступе для расширения возможностей комплексной оценки и отслеживания уровня загрузки и развития терминально-складской инфраструктуры ОАО «РЖД» в реальном времени и предоставления в свободном доступе открытых сведений клиентам. Последнее – обязательное требование для перехода ОАО «РЖД» к новому уровню логистического провайдинга – 4PL, предусматривающему наличие единого информационного

поля для взаимодействия провайдера услуг с клиентами [5].

Рассмотрим отличия логистической классности от известной классности станций, закрепленной в [24–26]: 1) отражение существенных для клиента параметров, 2) открытость и доступность для клиента, 3) возможность комплексной оценки работы железнодорожных ЛО, 4) обеспечение информационной основы для перехода ОАО «РЖД» к 4PL, 5) создание условий для отслеживания работы и загрузки ЛО, 6) отражение большеинформативности логистических показателей работы ЛО, 7) повышение управляемости объектов терминально-складской инфраструктуры, 8) отражение технико-технологического обеспечения логистического сервиса, включая имеющиеся на станции инфраструктурные объекты.

В отличие от общепринятой классности станций, логистический класс отражает особенности имеющейся на станции терминально-складской инфраструктуры, ассортимент транспортного, складского и комплексного логистического сервиса, то есть параметры, значимые для клиента.

Класс присваивается с учетом значений авторского коэффициента комплексности транспортно-логистического сервиса на ЛО,  $K_{\text{лог}}$  (отношение объема расширенного логистического сервиса к общему объему грузовой и коммерческой работы, выполняемой на станции).

Для оценки функционирования ЛО предложен термин «логистическая работа» – ключевой показатель классности ЛО согласно теории терминалистики [20–23, 27].

Логистическая работа – количество единичных логистических операций, выполненных ЛО на 1 тонну  $i$ -го груза в единицу времени, тонно-операций/сут:

$$Q_{\text{ЛР}} = \frac{Q_{\text{гр}i}^{\text{ЛО}} N_{\text{лог оп}}^{\text{гр}i}}{T}, \quad (1)$$

где  $Q_{\text{гр}i}^{\text{ЛО}}$  – количество переработанного  $i$ -го груза на ЛО и нуждающегося

в логистическом обслуживании, тонн;  $N_{лог\ оп}^{гр\ i}$  – количество единичных логистических операций, выполненных на ЛО с одной тонной  $i$ -го груза, операций;  $T$  – продолжительность логистической работы (полного цикла грузопереработки) на ЛО (ТС), сут.

$$\text{или } K_{лог} = \frac{Q_{лог}}{Q_{общ}} K_{лс}, \quad (3)$$

где  $Q_{ед}$  – объем единичных (простейших) логистических операций общей стоимостью не выше 15–20% общей прибыли ЛО, у. е./год;  $Q_{компл}$  – объем сложных составных логистических операций общей стоимостью не менее 70% общей прибыли ЛО, у. е./год;  $K_{лс}$  – коэффициент совмещения логистических операций, определяемый как отношение числа одновременно выполняемых операций к грузом к общему числу операций, в которых нуждается данный груз;  $Q_{лог}$  – объем оказанных логистических услуг, у. е./год;  $Q_{общ}$  – общий объем реализованного ЛО сервиса (грузовые, коммерческие, логистические услуги), у. е./год.

В отличие от известного коэффициента перегрузки,  $Q_{лр}$  охватывает операции с 1 тонной груза не только при перегрузке, но в течение всего пребывания груза в узловом элементе логистической цепи (на ЛО), включая операции добавленной стоимости.

В основе предлагаемого логистического класса лежит коэффициент комплексности транспортно-логистического сервиса на ЛО  $K_{лог}$ , определяемый как

$$K_{лог} = \frac{Q_{ед}}{Q_{компл}} K_{лс} \quad (2)$$

Рассмотрим методику присвоения логистического класса в таблицах-идентификаторах 1–2. ЛО; классу,

Таблица 1

Таблица-идентификатор, часть 1

Класс ж.-д. станции	Балл	Ж.-д. линии, кол-во	Балл	Общая площадь, занимаемая ЛО, га	Балл	Соотношение общего и собственно логистического сервиса, включительно	Балл	Пакет услуг	Балл	Класс складских зданий (по Knight Frank) [28]	Балл
Внеклассная 1 2 3 4 5	6 5 4 3 2 1	Две Три Более трех	4 5 6	До 2	1	До 0,05	1	Стандартный Стандартный+ Расширенный Расширенный+ Комплексный Максимальный	1 2 3 4 5 6	А В С D	4 3 2 1
				До 5	2	До 0,1	2				
				До 10	3	До 0,15	3				
				До 15–20	4	До 0,25	4				
				До 25	5	До 0,3	5				
				До 30–40	6	До 0,4	6				
				До 60–80	7	До 0,5	7				
				До 100	8	До 0,7	8				
				До 150	9	До 0,8	9				

Таблица 2

Таблица-идентификатор, часть 2

Транзитный пункт, приграничная, припортовая станция, наличие таможни	Балл	Существенное повышение свойств груза	Балл	Таможенные услуги	Балл	Управление партией груза	Балл	Консалтинг	Балл	Взаимодействие с др. видами транспорта	Балл	Услуги мультимодального транспортного оператора	Балл
Да	4	Да	4	Да	4	Да	4	Да	4	Да	4	Да	4
Нет	0	Нет	0	Нет	0	Нет	0	Нет	0	Нет	0	Нет	0

размещенному на виду, может быть присвоено от 6 (минимально) до 68 баллов [21].

Состав пакета услуг, предоставляемых ЛО, разработан согласно авторской классификации объектов терминально-складской инфраструктуры и предполагает:

- базовый (стандартный) пакет (оказание стандартных услуг «транспорт + хранение», погрузка-выгрузка, прием-выдача, оформление документации, хранение, подсортировка, операции по подаче-отправлению подвижного состава);

- базовый плюс (стандартный+) (к стандартному базовому пакету услуг добавляются такие транспортные услуги, как «от двери до двери», «последняя миля» (с использованием автомобильного транспорта), перевалка груза);

- расширенный (к стандартному+ пакету услуг добавляются простые «околотранспортные» – маркировка, сортировка, упаковка, подгруппировка, документационное сопровождение, отслеживание груза и подвижного состава, управление партией груза, маркировка и упаковка груза);

- расширенный плюс (к расширенному пакету услуг добавляются сложные «околотранспортные» – таможенное сопровождение, транспортная экспедиция, оперирование подвижным составом, разработка альтернативных цепей доставки грузов персонализированно для клиента);

- комплексный (к расширенному пакету добавляются услуги, существенно повышающие добавленную стоимость груза (товара), – логистический консалтинг, услуги мультимодального транспортного оператора и оказание «бесшовного» сервиса, построение и управление цепями поставок, девелопмент, стивидорные, трансшипмент и сюрвейерские услуги при взаимодействии с морским транспортом, дистрибуция и/или продажа груза, предпродажная подготовка, сборка (монтаж), обогащение, т. е. активное преобразовательное

воздействие на потребительские свойства груза (товара));

- максимальный (помимо реализации полного комплексного пакета услуг сервис выполняется «от одного лица», по одному договору («в одно окно»), пространственно в одном месте (непосредственно на ЛО), при коэффициенте логистической автономности (самостоятельности) ЛО [21], близком к 1).

В таблице 3 представлена функциональная характеристика железнодорожных ЛО по авторской классификации с указанием величины коэффициента комплексности транспортно-логистического сервиса  $K_{\text{лог}}$ .

Согласно приведенным таблицам-идентификаторам 1 и 2, а также с учетом коэффициента  $K_{\text{лог}}$  формируется логистический класс.

В таблице 4 приведены (в соответствии с таблицей 3) интервальные значения каждого из девяти классов (их балльной оценки) по значимым показателям в виде трех групп ЛО: А, Б и В.

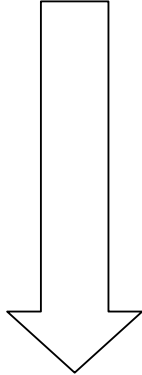
Исследования в условиях Новосибирского транспортного узла установили, что усредненные значения  $K_{\text{лог}}$  для группы А составляют 1,7 и более; Б – 1,2–1,6 включительно; В – менее 1,2. В расчетах принимали участие 25 работающих в узле ЛО.

Более подробно методическое обеспечение представлено в [21]; методика автоматизирована в [29].

Итак, одной из причин потери потенциальных клиентов и высокодоходных грузопотоков для ОАО «РЖД» служит низкая степень адекватности информации о ЛО интересам клиента, а также недостаточная полнота, простота и доступность информации для клиента. Так, например, сегодня информация о ЛО рассредоточена по разрозненным документам [24–26] и, по сути, не дает прямого указания на логистическую специфику объекта, т. е. она и не логистическая, и не клиентоориентированная. Клиенту нужны готовые решения либо полнота информации для их скорейшего принятия.

Таблица 3

Функциональная характеристика железнодорожных ЛО

ЛО	Пакет услуг	Коэффициент комплексности логистического сервиса, $K_{лог}$	Направление эволюции и иерархии ЛО	
Базовый пакет: оказание стандартных услуг «транспорт + хранение»		<div style="display: flex; align-items: center; justify-content: center;"> <div style="border-left: 1px solid black; border-right: 1px solid black; height: 300px; margin-right: 10px;"></div> <div style="text-align: center;"> <p>Минимальный</p> <p>0,1;...; 1,3 (</p> <p>1,4;...; 1,8</p> <p>&gt; 1,8</p> <p>Максимальный</p> </div> </div>	Простейший ЛО	
СП*	До 10% комплексности услуг			
С	До 20%			
ТСК	До 30%			
Расширенный пакет: базовый + «околотранспортные» услуги				
ТТ	До 50% комплексности услуг			
РЦ	До 60%			
ЛЦ	До 70%			
Максимальный пакет: расширенный + услуги, существенно повышающие добавленную стоимость груза				
ТУ	До 80% комплексности услуг			
ТЛУ	80–90%			
МТЛЦ	Свыше 90%			Сложнейший ЛО

\*СП – складская площадка, С – склад, ТСК – терминально-складской комплекс, ТТ – транспортный терминал, РЦ – распределительный центр, ЛЦ – логистический центр, ТУ – транспортный узел, ТЛУ – транспортно-логистический узел, МТЛЦ – мультимодальный транспортно-логистический центр.

Таблица 4

Итоговая таблица логистических классов

Тип ЛО	Обозначение класса	Интервал класса, баллов
Группа А (градация 4 балла) – высшая		
МТЛЦ	9	64–68
ТЛУ	8	59–63
ТУ	7	54–58
Группа Б (градация 7 баллов) – промежуточная		
ЛЦ	6	46–53
РЦ	5	38–45
ТТ	4	30–37
Группа В (градация 10, 9, 8 баллов) – низшая		
ТСК	3	21–29
С	2	11–20
СП	1	10 и менее

Перечисленные предложения (полностью автоматизированные автором) могут быть реализованы при двух условиях: 1) наличие законодательно закрепленной методик классификации

и идентификации ЛО, 2) наличие единой информационной среды.

Предложены термины, показатели и подход к присвоению логистического класса грузовым станциям. ■

### Литература

1. Транспортная стратегия Российской Федерации на период до 2030 года. URL: [http://doc.rzd.ru/doc/public/ru?id=3771&layer\\_id=5104&STRUCTURE\\_ID=704](http://doc.rzd.ru/doc/public/ru?id=3771&layer_id=5104&STRUCTURE_ID=704) (дата обращения: 11.02.2018).
2. Концепция комплексного развития контейнерного бизнеса в холдинге ОАО «РЖД». URL: [http://doc.rzd.ru/doc/public/ru?id=5932&layer\\_id=5104&STRUCTURE\\_ID=704](http://doc.rzd.ru/doc/public/ru?id=5932&layer_id=5104&STRUCTURE_ID=704) (дата обращения: 15.02.2018).
3. Концепция создания терминально-логистических центров на территории РФ. URL: <http://cargo.rzd.ru/> (дата обращения: 18.02.2018).
4. Единая политика клиентоориентированности холдинга «РЖД» в области грузовых перевозок (распоряжение ОАО «РЖД» от 26 июля 2016 года № 1489р). URL: <http://docs.cntd.ru/document/456025278> (дата обращения: 11.02.2018).
5. Покровская О.Д. «Сбитый прицел» клиентоориентированности. URL: <http://www.rzd-partner.ru/logistics/news/sbityi-pritsel--klientoorientirovannosti-414174/> (дата обращения: 10.02.2018).
6. Железнодорожные станции и узлы : учеб. пособие / под ред. В.И. Апатцева, Ю.И. Ефименко. – М. : Учеб.-метод. центр по образованию на ж.-д. транспорте, 2014. – 450 с. ISBN 978-5-89035-674-1.
7. Проектирование инфраструктуры железнодорожного транспорта (станции, железнодорожные и транспортные узлы) / под ред. Н.В. Правдина, С.П. Вакуленко. – М. : Маршрут, 2014. – 1086 с. ISBN 978-5-89035-619-2.
8. Бройтман Э.З. Железнодорожные станции и узлы / Э.З. Бройтман // М., 2004. – 272 с. ISBN 5-89035-143-5.
9. Савченко И.Е., С.В. Земблинов, И.И. Страковский. Железнодорожные станции и узлы. Изд. 2-е, перераб. и доп. М. : Транспорт, 1967. – 467 с.
10. Маликов О.Б. Складская и транспортная логистика в цепях поставок : учеб. пособие. – Санкт-Петербург, Питер, 2017. – 400 с. ISBN 978-5-496-01205-8.
11. Маликов О.Б. Перевозки и складирование товаров в цепях поставок : монография. – М. : ФБГОУ УМЦ на ж.-д. транспорте, 2014. – 324 с. ISBN 978-5-89035-704-5.
12. Числов О.Н., Хан В.В. Научно-методический комплекс классификации железнодорожных узлов (на примере Северо-Кавказской железной дороги – филиала ОА «РЖД»). URL: <http://www.science-education.ru/ru/article/view?id=16956> (дата обращения: 11.02.2018).
13. Прокофьева Т.А., Сергеев В.И. Логистические центры в транспортной системе России : учебное пособие. – М. : Изд. дом «Экономическая газета», 2012. – 522 с. ISBN 978-5-905735-21-9.
14. Балалаев А.С. Транспортно-грузовые системы железных дорог : учеб. пособие / А.С. Балалаев, И.А. Чернышова, А.Ю. Костенко. Хабаровск : Изд-во ДВГУПС, 2006. 108 с. ISBN 978-5-9994-0072-7.
15. Дыбская В.В. Управление складированием в цепях поставок. М. : Альфа-Пресс, 2009. 720 с. ISBN 978-5-94280-355-1.
16. Миротин Л. Б. Логистика, технология, проектирование складов, транспортных узлов и терминалов / Л. Б. Миротин, А. В. Бульба, В. А. Демин. – Ростов-на-Дону : Феникс, 2009. 408 с. ISBN 978-5-222-15076-4.
17. Стыковые пункты транспортных узлов / под ред. К.Ю. Скалова и Г.С. Молярчук. – М. : Транспорт, 1977. – 184 с.
18. Балалаев А. С. Методология транспортно-логистического взаимодействия при мультимодальных перевозках : дис. ...докт. техн. наук: 05.22.01; утв. 14.12.2010. М., 2010. 280 с.
19. Елисеев С. Ю. Логистизация управления внешнеторговыми перевозками в смешанном сообщении / С. Ю. Елисеев, А. Ф. Когляренко, П. В. Куренков // Транспорт. Наука. Техника. Управление. 2003. № 9. С. 2–7. ISSN 0236-1914.
20. Покровская О.Д. Терминалистика как новое научное направление // Путь науки. The Way of Science: International scientific journal. 2014. № 3 (3). С. 21–24. ISSN 2311-2158.
21. Покровская О.Д. Логистическое руководство: математические основы терминалистики, маркировка, классификация и идентификация логистических объектов железнодорожного транспорта : монография. – Казань : Изд-во «Бую», 2017. 281 с. ISBN 978-5-906873-52-1.
22. Покровская О.Д. Классификация узлов и станций как компонентов транспортной логистики // Вестник транспорта Поволжья. 2016. № 5 (59). С. 77–86. ISSN 1997-0722.

23. Покровская О.Д. Классификация объектов железнодорожной терминально-складской инфраструктуры // Вестник УрГУПС. 2017. № 1 (33). С. 70–83. ISSN 2079-0392.
24. Положение о железнодорожной станции (утв. распоряжением ОАО «РЖД» от 31.05.2011 г. № 1186-р с изм. от 28.01.2015 г.). URL: <http://docs.cntd.ru/document/902285883> (дата обращения: 11.02.2018).
25. Тарифное руководство № 1. Ч. 1 (Правила применения тарифов). – Прейскурант № 10-01: Тарифы на перевозки грузов и услуги инфраструктуры, выполняемые РЖД. – М. : Красный пролетарий, 2003. 160 с.
26. Тарифное руководство № 4 (ред. от 28.11.2008, с изм. от 18.11.2010). Кн. 2. Ч. 1. Алфавитный список железнодорожных станций. – М. : Красный пролетарий, 2003. 360 с.
27. Покровская О.Д. Терминалистика: общие вопросы : монография. – Казань : Изд-во «Бук», 2016. 142 с. ISBN 978-5-906873-28-6
28. Классификация складских помещений Knightfrank. URL: <http://www.knightfrank.ru/resources/pdf/research/ind.pdf> (дата обращения: 15.02.2018).
29. Программа управления репозиторием научного направления «Терминалистика» : св-во о гос. рег. программы для ЭВМ 2017617975 Рос.Федерация / Покровская О.Д.; заявл. 23.05.2017 ; опубл.19.07.2017.

### References

1. Transport strategy of the Russian Federation for the period until 2030 [Transportnaya strategiya Rossijskoj Federacii na period do 2030 goda]. URL: [http://doc.rzd.ru/doc/public/ru?id=3771&layer\\_id=5104&STRUCTURE\\_ID=704](http://doc.rzd.ru/doc/public/ru?id=3771&layer_id=5104&STRUCTURE_ID=704) (accessed: 11.02.2018).
2. The concept of integrated development of container business in JSC Russian Railways holding [Konceptsiya kompleksnogo razvitiya kontejnernogo biznesa v hol-dinge ОАО «RZHD»]. [http://doc.rzd.ru/doc/public/ru?id=5932&layer\\_id=5104&STRUCTURE\\_ID=704](http://doc.rzd.ru/doc/public/ru?id=5932&layer_id=5104&STRUCTURE_ID=704) (accessed: 15.02.2018).
3. The concept of creation of terminal-logistics centers on the territory of the Russian Federation [Konceptsiya sozdaniya terminal'no-logisticheskikh centrov na territorii RF/] URL: <http://cargo.rzd.ru/> (accessed 18.02.2018).
4. The uniform policy of customer orientation of the holding «RZD» in the field of freight traffic (The «Russian Railways» directive of July 26, 2016 № 1489r) [Edinaya politika klientoorientirovannosti holdinga «RZHD» v oblasti gruzovyh perevozok (rasporyazhenie ОАО «RZHD» ot 26 iyulya 2016 goda № 1489r)]. URL: <http://docs.cntd.ru/document/456025278> (accessed 11.02.2018).
5. Pokrovskaya O.D. «Sight-off» of customer orientation [Pokrovskaya O.D. «Sbityj priceb» klientoorientirovannosti]. URL: <http://www.rzd-partner.ru/logistics/news/sbityi-pritsel-klientoorientirovannosti-414174/> (accessed 10.02.2018).
6. Railway stations and hubs [ZHeleznodorozhnye stancii i uzly : ucheb. posobie / pod red. V.I. Apatceva, YU.I. Efimenko]. M. : Teaching method. center for education at the railroad. transport, 2014. 450 p. ISBN 978-5-89035-674-1
7. Design of the railway transport infrastructure (stations, railway and transport hubs) [Proektirovanie infrastruktury zheleznodorozhnogo transporta (stancii, zheleznodorozhnye i transportnye uzly)]. M. : Route. 2014. 1086 p. ISBN 978-5-89035-619-2.
8. Broitman E.Z. Railway stations and hubs [Brojtman EH.Z. ZHeleznodorozhnye stancii i uzly]. M., 2004. 272 p. ISBN 5-89035-143-5.
9. Savchenko I.E., Zemblinov S.V., Strakovskij I.I. Railway stations and hubs [Savchenko I.E., S.V. Zemblinov, I.I. Strakovskij. ZHeleznodorozhnye stancii i uzly]. M. : Transport, 1967. 467 p.
10. Malikov O.B. Warehouse and transport logistics in supply chains [Malikov O.B. Skladskaya i transportnaya logistika v cepyah postavok: ucheb.posobie]. St. Petersburg : Peter, 2017. 400 p. ISBN 978-5-496-01205-8.
11. Malikov O.B. Transportation and warehousing of goods in supply chains [Malikov O.B. Perevozki i skladirovanie tovarov v cepyah postavok]. M., 2014. 324 c. ISBN 978-5-89035-704-5.
12. Chislov O.N., Khan V.V. Scientific and methodical complex for the classification of railway junctions (on the example of the North Caucasian Railway – branch of the Russian Railways) [CHislov O.N., Han V.V. Nauchno-metodicheskij kompleks klassifikacii zheleznodorozhnyh uzlov (na primere Severo-Kavkazskoj zheleznoj dorogi – filiala OA «RZHD»)]. URL: <http://www.science-education.ru/ru/article/view?id=16956> (accessed 11.02.2018).

13. Prokofieva T.A., Sergeev V.I. Logistic centers in the transport system of Russia [Prokofieva T.A., Sergeev V.I. Logisticheskie centry v transport-noj sisteme Rossii : uchebnoe posobie]. M. : «Economic Newspaper». 2012. 522 p. ISBN 978-5-905735-21-9.
14. Balalaev A.S. Transport-Cargo Systems of Railways [Balalaev A. S. Transportno-gruzovye sistemy zheleznyh dorog : ucheb. posobie]. Khabarovsk : Publishing House of the FESURT, 2006. 108 p. ISBN 978-5-9994-0072-7.
15. Dybskaya V.V. Management of warehousing in supply chains [Dybskaya V.V. Upravlenie skladirovaniem v cepyah postavok]. M. : Alfa-Press, 2009. 720 p. ISBN 978-5-94280-355-1.
16. Mirotin L.B. Logistics, technology, design of warehouses, transport hubs and terminals [Mirotin L. B. Logistika, tekhnologiya, proektirovanie skladov, transportnyh uzlov i terminalov]. Rostov-on-Don : Phoenix, 2009. 408 p. ISBN 978-5-222-15076-4.
17. Buttocks of transport hubs [Stykovye punkty transportnyh uzlov]. M. : Transport, 1977. 184 p.
18. Balalaev A.S. The methodology of transport and logistics interaction in multimodal transport [Balalaev A. S. Metodologiya transportno-logisticheskogo vzaimo-dejstviya pri mul'timodal'nyh perevozkah]. M., 2010. 280 p.
19. Eliseev S. Yu. Logistization for management of foreign trade in a mixed transportation [Eliseev S. YU. Logistizaciya upravleniya vneshnetorgovymi perevozkami v smeshannom soobshchenii] // Transport. Nauka. Technika. Upravlenie. 2003. № 9. P. 2–7. ISSN 0236-1914.
20. Pokrovskaya O.D. Terminology as a new scientific direction [Pokrovskaya O.D. Terminalistika kak novoe nauchnoe napravlenie] // The Way of Science. 2014. № 3 (3). Pp. 21–24. ISSN 2311-2158.
21. Pokrovskaya O.D. Logistic guidance: mathematical foundations of terminology, marking, classification and identification of logistic objects for railway transport [Pokrovskaya O.D. Logisticheskoe rukovodstvo: matematicheskie os-novy terminalistiki, markirovka, klassifikaciya i identifikaciya logisti-cheskikh ob"ektov zheleznodorozhnogo transporta]. Kazan : Publishing house «Buk». 2017. 281 p. ISBN 978-5-906873-52-1.
22. Pokrovskaya O.D. Classification of hubs and stations as components of transport logistics [Pokrovskaya O.D. Klassifikaciya uzlov i stancij kak komponentov transportnoj logistiki] // Vestnik transporta Povolzhya, 2016. № 5 (59). Pp. 77–86. ISSN 1997-0722.
23. Pokrovskaya O.D. Classification of railway terminal-warehouse infrastructure objects [Pokrovskaya O.D. Klassifikaciya ob"ektov zheleznodorozhnoj terminal'no-skladskoj infrastruktury] // The Herald of Ural State University of Railway Transport, 2017. № 1 (33). Pp. 70–83. ISSN 2079-0392.
24. Provision on the railway station (approved by the decree of JSCo «Russian Railways» from 31.05.2011 №1186-r with amendment from 28.01.2015) [Polozhenie o zheleznodorozhnoj stancii]. URL: <http://docs.cntd.ru/document/902285883> (accessed: 11.02.2018).
25. Tariff guide № 1. Part 1 (Rules for the application of tariffs). Pricelist № 10-01: Tariffs for cargo transportation and infrastructure services performed by RZD [Tarifnoe rukovodstvo № 1. CH. 1]. – M. : Krasnyy proletariy. 2003. 160 p.
26. Tariff Guide № 4 (as amended on 28.11.2008, as amended on 18.11.2010). Book. 2. Part 1. Alphabetical list of railway stations [Tarifnoe rukovodstvo № 1. CH. 4]. M. : Krasnyy proletariy, 2003. 360 pp.
27. Pokrovskaya O.D. Terminology: general issues [Pokrovskaya O.D. Terminalistika: obshchie voprosy]. Kazan : Publishing House «Buk». 2016. 142 p. ISBN 978-5-906873-28-6.
28. Classification of warehouses Knightfrank [Классификация складских помещений Knightfrank]. URL: <http://www.knightfrank.ru/resources/pdf/research/ind.pdf> (accessed 15.02.2013).
29. Program management repository of the scientific direction «Terminology» : state. reg. computer programs 2017617975 Ros.Federation [Programma upravleniya repozitoriem nauchnogo napravleniya «Ter-minalistika»] / O.D. Pokrovskaya; claimed. 05/23/2017; published on 07.19.2017.

*Статья сдана в редакцию 17 мая 2018 года  
0,6 а. л.*

# Аспирантская тетрадь

УДК 629.471

*И.В. Пустовой*

## Ключевые показатели эффективности информационно-динамической модели управления сервисным техническим обслуживанием и ремонтом локомотивов

UDC 629.471

*I.V. Pustovoy*

## Key performance indicators of information-dynamic model for management of service and maintenance carried out on locomotives

### Аннотация

В статье предложены ключевые показатели качества для анализа эффективности предложенной информационно-динамической модели управления сервисным техническим обслуживанием и ремонтом локомотивов.

Эффекты от внедрения предлагаемой модели возникают от повышения эффективности организации технического обслуживания и ремонта (ТОиР), которая достигается за счёт комплексного обеспечения соблюдения производственных процессов. Мотивация работников ремонтных предприятий на получение зарплаты позволяет встроить в информационную систему по принципу «Встроенное качество» контрольные функции, правильную последовательность действий, принципы международных стандартов ISO в области менеджмента качества и управления надёжностью.

Реализация модели не увеличивает доходы сервисной компании, которые зависят от общего пробега локомотивов «под поездом», но сокращаются расходы на неплановые ремонты, сверхцикловые работы и простой локомотивов на ТОиР почти на 20–30%.

**Ключевые слова:** информационно-динамическая модель, сервисное техническое обслуживание и ремонт локомотивов, ТОиР, автоматизация, внутрипроизводственное планирование, управление производственными процессами, факторный анализ, цикл PDCA, ключевые показатели эффективности, KPI.

DOI: 10.20291/2079-0392-2018-2-77-84

### Abstract

The article proposes key quality indicators for the analysis of the effectiveness of the proposed information-dynamic model of management for service maintenance and repair of locomotives.

Effects from the introduction of the proposed model arise from improving the efficiency of the organization for maintenance and repair (MRO), which is achieved through comprehensive enforcement of production processes. Employees are motivated to get their salaries, so this motivation allows to integrate control functions, the correct sequence of actions, principles of ISO international standards in the field of quality management and reliability management into the information system on the basis of the «Built-in quality» principle.

The implementation of the model does not increase the revenues of the service company, which depend on the total amount of the working locomotives. But the costs for unplanned repairs, overcyclical works and simple locomotives for MRO are reduced by almost 20–30 %.

**Key words:** information-dynamic model, service maintenance and repair of locomotives, maintenance, automation, in-house planning, production process management, factor analysis, PDCA cycle, key performance indicators, KPI.

DOI: 10.20291/2079-0392-2018-2-77-84

*Статья рекомендована к публикации А.К. Лакиным, д-ром техн. наук, кафедры «Электропоезда и локомотивы», Российский университет транспорта (МИИТ). E-mail: lakini@yandex.ru.*

*Илья Владимирович Пустовой, аспирант; кафедра «Подвижной состав электрических железных дорог» Омского государственного университета путей сообщения; Омск, Россия. E-mail: ipustovoy@yandex.ru.*

*The article is recommended for publication by A.K.Lakin, doctor of technical science, «Electric trains and locomotives» chair, MIIT, Moscow, Russia. E-mail: lakini@yandex.ru.*

*Ilya Vladimirovich Pustovoi, postgraduate student, «Rolling Stock of Electric Railways» chair, Omsk State Transport University, Omsk, Russia. E-mail: ipustovoy@yandex.ru.*

Расходы на тягу поездов составляют треть всех эксплуатационных расходов ОАО «РЖД», значительная часть которых – это расходы на техническое обслуживание и ремонт локомотивов (ТОиР). Автоматизация управления локомотивным хозяйством – одно из важных направлений повышения эффективности железнодорожного транспорта [2–4, 7].

Отечественный локомотиворемонтный комплекс с 2014 г. перешел на сервисную систему технического обслуживания и ремонта локомотивов (ТОиР). Принципиальное отличие от предыдущей модели управления – экономическая мотивация сервисных компаний на эффективный ТОиР: оплата идёт не за выполненный объём ремонта, а за полезный пробег магистральных и часы работы маневровых локомотивов.

Нами разработана информационно-динамическая модель управления сервисным техническим обслуживанием и ремонтом локомотивов, основу которой составляют пять функциональных модулей.

Первая функция – мониторинг эксплуатации и технического состояния локомотивов: сбор информации о работе локомотива  $A$ , режимах эксплуатации локомотивов и техническом состоянии  $Q$  с бортовых микропроцессорных систем управления (МСУ), а также (в случае недостатка информации) со стационарных и переносных автоматизированных систем технического диагностирования, используемых в сервисных локомотивных депо. На этом этапе работы модели определяется фактически выполненный локомотивом объём работы  $A$  (пробег, тонно-километровая работа, расход топлива ( $\tau$ ) и электроэнергии (кВт·ч), наличие нарушений режимов эксплуатации и их количество. Одновременно определяется фактическое состояние локомотива  $Q$  как набор параметров, характеризующих правильность функционирования оборудования и работоспособность локомотива, исправность узлов и оборудования локомотива [5].

Вторая функция – постановка локомотива на ремонт, формирование графиков постановки локомотивов на ремонт (оперативное и долгосрочное планирование с учётом параметров эксплуатации локомотива  $A$  и его фактического технического состояния  $Q$ ). На этом этапе работы модели по данным о выполненной локомотивом  $i$  работе  $A_i$ , его техническом состоянии  $Q_i$  и нормативному межремонтному пробегу  $A_{\text{норм}}$  определяется дата  $D_{Li}$  постановки  $i$ -го локомотива  $L_i$  на техническое обслуживание или ремонт (ТОиР):

$$D_{Li} = f(A_i, A_{\text{норм}}, Q_i). \quad (1)$$

В результате формируется график постановки локомотивов на ремонт  $D$  как совокупность дат постановки на ТОиР каждого из локомотивов:

$$D = \{D_{L1}, D_{L2}, \dots, D_{Li}, \dots, D_{LN}\}, \quad (2)$$

где  $N$  – общее число сервисных локомотивов депо.

Третья функция – внутрипроизводственное планирование (ВПП): ресурсы  $Z$  для выполнения ремонтов  $R$  включают в себя трудовые, инструментальные, инфраструктурные ресурсы (канавы, пути и др.), ремонтное оборудование (обточные станки, скатоподъёмники, краны, домкраты и др.), запасные части, товарно-материальные ценности (ТМЦ) и материалы повторного использования (МПИ), электроэнергию, топливо, другие виды ресурсов. Внутрипроизводственное планирование ресурсов  $Z$  осуществляется согласно прогнозным (годовым, квартальным, месячным) и оперативным (декадным, трёхсуточным, суточным) графикам ремонта  $D$ . Ресурсы  $Z$  для выполнения ремонтов  $R$  формируются по данным об объёме выполненной работы  $A$  и данным о фактическом состоянии локомотивов  $Q$ . При этом учитываются нормативы потребления ресурсов  $Z_{\text{норм}}$  и статистика их потребления  $Z_{\text{стат}}$ :

$$Z_i = f(A, Q, Z_{\text{норм}}, Z_{\text{стат}}), \quad (3)$$

$$Z = \{Z_1, Z_2, \dots, Z_i, \dots, Z_M\}, \quad (4)$$

где  $Z_i$  – потребность в  $i$ -м ресурсе;  $M$  – число видов ресурсов, необходимых для организации ТОиР.

Четвертая функция – управление производственными процессами (техническое обслуживание и ремонт локомотива плановое или неплановое). На этом этапе работы модели согласно графику постановки локомотивов  $D$ , выделенным ресурсам  $Z$  и фактическому состоянию локомотива  $Q$  организуются производственные процессы ТОиР локомотивов  $R$  в условиях сервисных локомотивных депо (СЛД):

$$R_i = f(D_i, A_i, Q_i, Z_i), \quad (5)$$

$$R = \{R_1, R_2, \dots, R_i, \dots, R_N\}, \quad (6)$$

где  $R_i$  –  $i$ -я операция (работа), выполняемая в процессе ТОиР локомотива;  $N$  – число технологических операций, требуемых для ТОиР локомотива.

Производственные процессы ремонта локомотивов  $R$  организуются с учётом требований международных стандартов в области систем менеджмента качества (СМК), бережливого производства, теории вариабельности и других международных стандартов [1, 3, 6, 7].

Пятая функция – факторный анализ (принятие корректирующих мер по принципу постоянного улучшения (цикл PDCA) – оперативный и периодический анализ всей совокупности информации с применением математических и логических методов с целью улучшения ключевых показателей качества ТОиР (KPI – Key Performance Indicators) с последующим планированием корректирующих мероприятий по их устранению):

$$KPI = f(A, D, Q, R, Z). \quad (7)$$

Внедрение модели практически не влияет на доходы сервисной компании, которые определяются количеством поездов и скоростью их движения. Это один из парадоксов сервисного ТОиР локомотивов ОАО «РЖД». Эффект от реализации предлагаемой модели воз-

можен за счёт сокращения потерь; сервисные компании теряют до 5–7 млрд руб. из-за низкой надёжности локомотивов, выполнения дополнительных сверхцикловых работ и пересодержания запасных частей.

Максимальный эффект от внедрения модели ограничен объёмом потерь на производстве в сервисных локомотивных депо. Модель не устраняет потери полностью, но позволяет снизить их не менее чем на 30 % (после полного внедрения) согласно экспертным оценкам эффективности внедрения автоматизированных информационных систем.

Модель позволит за счёт внутрипроизводственного планирования (ВПП) заранее планировать распределение ремонтов оборудования между заводами ЖДРМ и сервисными локомотивными депо (СЛД) или закупкой нового оборудования. Планирование позволит определить достаточность инфраструктуры СЛД, наличие инструмента, трудовых и других ресурсов. Исследования показали, что за счёт ВПП можно сократить затраты на цикловые работы минимум на 10 % (эффект от процессного планирования оценивается не менее 50 %, поэтому предложенная оценка не завышена).

Невыполнение требований по уровню сервиса (Service Level Agreement – SLA) по уровню коэффициента технической готовности (КТГ) приводит к дополнительным потерям из-за понижающего коэффициента при расчёте пробега локомотивов. Анализ показал, что потери КТГ до 60 % определяются длительным простоем в ожидании ТОиР и НР. За счёт внутрипроизводственного планирования и управления логистикой СЛД простой в ожидании ремонта можно снизить в два раза.

Значительная статья потерь – неплановые ремонты и дополнительные работы (по сути, неплановые ремонты во время выполнения цикловых работ), учёт всех сверхцикловых работ и их обязательный разбор (выявление одной из причин возникновения неисправностей). Управление инцидентами

приведёт к сокращению потерь от НР за счёт исключения причин возникновения НР, планирования расходов на НР, а также дополнительно повысит КТГ за счёт сокращения простоя на ремонте, сократится и потребление в ТМЦ.

Внутрипроизводственное планирование, сокращение неплановых ремонтов и дополнительных работ, оптимизация запасов ТМЦ приведут к сокращению оборотных средств.

Автоматизация формирования отчётных документов позволит снизить затраты на непроизводительные операции по формированию учётных и отчётных документов, которые в настоящее время формируются в рукописном виде или вручную с использованием Word или Excel. Непроизводительные потери на формирование отчётов в СЛД составляют от 1 до 12 человек.

Таким образом, внедрение предлагаемой модели позволит существенно повысить эффективность сервисного обслуживания. При этом окупаемость внедрения не превышает трех лет.

КРІ – это показатели деятельности предприятия, которые помогают по принципу постоянного улучшения (циклу PDCA) достигать стратегических и тактических целей [1, 6]. Использование ключевых показателей эффективности даёт организации возможность объективно оценить своё состояние и планировать улучшение, позволяет эффективно контролировать деловую активность сотрудников, подразделений и компании в целом. КРІ – это инструмент «Управление по целям» и служит для измерения поставленных целей. Эффективность применения модели также следует оценить с помощью КРІ.

Цели сервисных компаний: поддержание локомотива в исправном техническом состоянии, соответствующем его паспортным характеристикам; выполнение технического обслуживания и ремонта локомотивов в соответствии с установленными правилами ремонта и в пределах запланированных средств;

соблюдение времени простоя локомотивов на планово-предупредительных ремонтах и сокращение до минимума времени простоя на неплановых видах ремонта (НР).

КРІ сервисных компаний должны отражать качество технического состояния локомотивов (надёжность), простой локомотивов в сервисных локомотивных депо, себестоимость ТОиР и НР.

Предлагается зафиксировать следующие КРІ сервисных локомотивных депо (СЛД) и автоматизировано их контролировать.

1. КРІ<sub>1</sub>. Контроль сверхцикловых работ (сверхнормативные расходы).

1.1. Число сверхцикловых работ, шт.; КРІ<sub>11</sub>.

1.2. Продолжительность сверхцикловых работ, мин; КРІ<sub>12</sub>.

1.3. Разряд сверхцикловых работ, разряд; КРІ<sub>13</sub>.

1.4. Трудозатраты на сверхцикловые работы, руб.; КРІ<sub>14</sub>.

1.5. Расходы ТМЦ на сверхцикловые работы, руб.; КРІ<sub>15</sub>.

1.6. Расходы МПИ на сверхцикловые работы, руб.; КРІ<sub>16</sub>.

1.7. Общие затраты на сверхцикловые работы, руб.; КРІ<sub>17</sub>.

1.8. Отнесение затрат по ответственности (факторный анализ по данным окна экспресс-анализа), руб.; КРІ<sub>18</sub>.

2. КРІ<sub>2</sub>. Контроль коэффициента технической готовности (потери КТГ).

2.1. Простой в ожидании ТОиР и НР, мин; КРІ<sub>21</sub>.

2.2. Простой при проведении ТОиР и НР, мин; КРІ<sub>22</sub>.

2.3. Простой по кодам логистических потерь, мин; КРІ<sub>23</sub>.

2.4. Отнесение потерь за перепростой по ответственности, мин; КРІ<sub>24</sub>.

2.5. Процент работ, выполненных в срок, %; КРІ<sub>25</sub>.

3. КРІ<sub>3</sub>. Контроль качества выполнения ТОиР.

3.1. Количество замечаний приемщика ТЧЭ (ОТК), шт.; КРІ<sub>31</sub>.

3.2. Количество локомотивов, выданных после ТОиР (с первого, второго и более предъявлений), шт.; КРІ<sub>32</sub>.

3.3. Количество заходов локомотивов на НР после последнего ТОиР (в первые 5000 км пробега), шт.;  $KPI_{33}$ .

Большое количество КРІ усложняет процесс контроля качества и эффективности производственных процессов, поэтому предлагается интегральный показатель эффективности работы модели, определяемый по формуле:

$$KPI = 100\% \cdot KPI_1 \cdot KPI_2 \cdot KPI_3, \quad (8)$$

где КРІ, КРІ<sub>1</sub>, КРІ<sub>2</sub>, КРІ<sub>3</sub> – приведённые к 1 (единице) ключевые показатели качества (принимают значение 1, если показатель качества идеален). В общем виде КРІ определяется произведением всех КРІ<sub>*i*</sub>:

$$KPI = 100\% \prod_{i=1}^{i_{max}} KPI_i, \quad (9)$$

где  $i_{max}$  – общее число показателей эффективности и качества.

Каждый из показателей эффективности и качества КРІ<sub>*i*</sub> определяется входящими в него внутренними показателями КРІ<sub>*ij*</sub>, определяемыми по формуле:

$$KPI_{ij} = KPI_{ij\Delta bc} / KPI_{ij\Delta bc\max}, \quad (10)$$

где КРІ<sub>*ij*Δbc</sub> – абсолютное значение *j*-го показателя эффективности КРІ<sub>*i*</sub>; КРІ<sub>*ij*Δbcmax</sub> – абсолютное максимальное значение КРІ<sub>*ij*Δbc</sub>.

Например, для показателя «Процент работ, выполненных в срок»,  $KPI_{ij\Delta bc\max} = 100$ , а  $0 \leq KPI_{ij\Delta bc} \leq 100$ . Формула (10) верна, если КРІ<sub>*ij*Δbc</sub> следует повышать до значения КРІ<sub>*ij*Δbcmax</sub>. Если КРІ<sub>*ij*Δbc</sub> следует снижать до идеального значения КРІ<sub>*ij*Δbcmin</sub>, то следует применить формулу (11):

$$KPI_{ij} = \frac{KPI_{ij\Delta bc\min}}{KPI_{ij\Delta bc}}. \quad (11)$$

Если минимальное значение нулевое, то используется формула:

$$KPI_{ij} = \frac{(1 + KPI_{ij\Delta bc\min})}{(1 + KPI_{ij\Delta bc})}. \quad (12)$$

Например, для показателя «Число сверхцикловых работ»  $KPI_{ij\Delta bc\min} = 0$ . Тогда при  $KPI_{ij\Delta bc} = 7$  показатель эффективности будет равен

$$KPI_{ij} = \frac{(1 + 0)}{(1 + 7)} = \frac{1}{8} = 0,125. \quad (13)$$

Каждый из показателей эффективности КРІ<sub>*i*</sub> можно определить по формуле:

$$KPI_i = \frac{\sum k_{ij} \cdot KPI_{ij}}{\sum k_{ij}}, \quad (14)$$

где  $k_{ij}$  – весовой коэффициент значимости *j*-го параметра *i*-го КРІ.

В таблице 1 приведён пример расчёта КРІ при трёх показателях с разным

Таблица 1

Пример расчёта КРІ

Параметр	КРІ <sub>1</sub>	КРІ <sub>2</sub>	КРІ <sub>3</sub>
$KPI_{i1}$	0,8	0,9	0,75
$k_{i1}$	0,3	0,5	0,7
$KPI_{i2}$	0,99	0,9	0,6
$k_{i1}$	0,7	1	1
$KPI_{i3}$	0,87	0,7	1
$k_{i1}$	0,6	1	1
$KPI_{i4}$	0,8	0,55	
$k_{i1}$	0,7	0,7	
$KPI_{i5}$	1		
$k_{i5}$	1		
$\sum k_{ij} \cdot KPI_{ij}$	3,015	2,435	2,125
$\sum k_{ij}$	3,3	3,2	2,7
$KPI_i = \sum k_{ij} \cdot KPI_{ij} / \sum k_{ij}$	0,913	0,761	0,787
$KPI = KPI_1 \cdot KPI_2 \cdot KPI_3$	0,547		

Таблица 2

## Параметры эффективности модели КРІ

КРІ	КРІ1		КРІ2		КРІ3	
	max/min	$k_{\text{значимости}}$	max/min	$k_{\text{значимости}}$	max/min	$k_{\text{значимости}}$
КРІ <sub>11</sub>	0	0,8	0	0,8	0	1
КРІ <sub>12</sub>	0	1	0	0,8	100	0,8
КРІ <sub>13</sub>	1	0,5	0	0,9	0	1
КРІ <sub>14</sub>	0	1	100	0,7	–	–
КРІ <sub>15</sub>	0	1	100	1	–	–
КРІ <sub>16</sub>	0	1	–	–	–	–
КРІ <sub>17</sub>	0	1	–	–	–	–
КРІ <sub>18</sub>	100	0,7	–	–	–	–

числом параметров и разными коэффициентами значимости. Как видно из таблицы, интегрированный показатель эффективности оказался равным  $KPI = 0,913 \cdot 0,761 \cdot 0,787 = 0,547$  при максимально возможном  $KPI = 1$ .

В таблице 2 приведены предлагаемые параметры для оценки эффективности модели по интегрированному КРІ (применительно к условиям исследуемой группы компаний) согласно предложенным показателям.

Таким образом, предложенная модель имеет измеряемую совокупность параметров для оценки её эффективности и качества процессов ТОиР.

Предложенная модель реализована в группе компаний ООО «ЛокоТех» в виде информационно-управляющей системы АСУ «Сетевой график». В настоящее время АСУ внедрена в 24 сервисных локомотивных депо. С августа 2017 г. установлен контроль эффективности внедрения модели с момента сдачи АСУ в постоянную эксплуатацию. Динамика изменения основных показателей КРІ на примере сервисного локомотивного депо «Амурское» (г. Комсомольск-на-Амуре) приведена на рис.

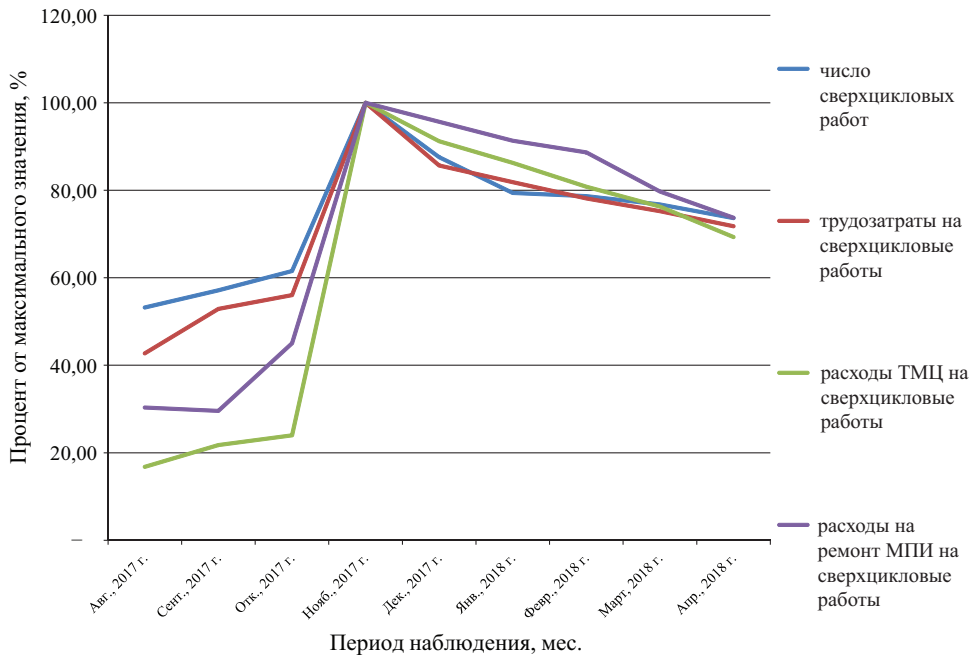
Наблюдение за динамикой КРІ показывает, что реализация предложенной модели организации ТОиР в виде АСУ «Сетевой график» целесообразна, приводит к постепенному снижению себестоимости ТОиР за счёт снижения трудовых и материальных затрат на выполнение сверхцикловых работ. Таким образом,

подтверждается как эффективность предложенной модели, так и правильность выбора в качестве основного показателя надёжности локомотивов наличие сверхцикловых работ, их продолжительность, трудоёмкость, потребление запасных деталей и материалов (ТМЦ) и смена линейного оборудования (материалов повторного использования – МПИ).

Следует отметить, что в большинстве депо ряд показателей примерно через два-три месяца после начала наблюдения резко ухудшается. Это происходит как результат ужесточения контроля и документирования. Следовательно, контроль эффективности следует вести от момента достижения экстремума КРІ, считая его максимально соответствующим реальности.

Для контроля эффективности внедрения модели разработаны ключевые показатели эффективности её реализации (КРІ), по которым с августа 2017 г. ведётся контроль эффективности.

Анализ показал, что после значительного роста КРІ за счёт повышения достоверности учёта затрат на поддержание локомотивов в надёжном состоянии наблюдается постепенное уменьшение затрат, сокращение непроизводительного простоя локомотивов в депо на ТОиР. В результате в группе компаний ООО «ЛокоТех» до конца 2018 г. запланировано внедрение АСУ «Сетевой график» на базе предложенной модели во всех 85 сервисных локомотивных депо группы компании ООО «ЛокоТех». ■



Динамика изменения КРІ АСУ «Сетевой график» в СЛД «Амурское»

**Литература**

- Исикава К. Японские методы управления качеством / Пер. с англ. / науч. ред. и предисл. А.В. Гличева. М. : Экономика, 1988. 215 с.
- Лакин И.К., Смирнов Ю.В., Тимченко А.Ю. Автоматизированная система управления локомотивным хозяйством. АСУТ. М. : ОЦВ, 2002. 516 с.
- Лакин И.К., Супрун В.Н. История создания систем менеджмента качества (СМК) и особенности их внедрения на железнодорожном транспорте. Красноярск : КФ ИрГУПС, 2006. 92 с.
- Лакин И.К. Пустовой И.В. Проблемы внедрения информационных технологий в локомотивных депо. Локомотив. 2017. № 2 (722). С. 11–13.
- Липа К.В., Белинский А.А., Пустовой В.Н., Лянгасов С.Л., Лакин И.К., Аболмасов А.А., Мельников В.А., Лакин И.И., Баркунова А.А., Пустовой И.В. Мониторинг технического состояния и режимов эксплуатации локомотивов. Теория и практика. М. : ООО «Локомотивные технологии», 2015. 212 с.
- Масааки И. Кайдзен: ключ к успеху японских компаний / Пер. с англ. Т. Гутман. – М. : Альпина Бизнес Букс, 2011. 274 с.
- Сай В.М. Организационные структуры управления: подходы формирования. – М. : ВИНТИ РАН, 2002. 425 с.

**Literature**

- Ishikava K. Japanese methods of quality management [Yaponskie metody upravleniya kachestvom] / Transl. from Engl./ scient.ed. and foreword by A.V. Glicheva. M. : Economics, 1988. 215 p.
- Lakin I.K., Smirnov Yu.V., Timchenko A.Yu. Automated control system over locomotive facilities. [Avtomatizirovannaya sistema upravleniya lokomotivnym hozyaystvom] ASUT. M. : OCV, 2002. 516 p.
- Lakin I.K., Suprun V.N. History of formation of quality management systems (QMS) and peculiarities of their introduction on railway transport. [Istoriya sozdaniya sistem menedzhmenta kachestva (SMK) i osobennosti ih vnedreniya na zheleznodorozhnom transporte]. Krasnoyarsk : KF IrSURT, 2006. 92 p.

4. Lakin I.K., Pustovoy I.V. Problems of introduction of information technology in locomotive depots. [Problemy vnedreniya informatsionnyh tehnologiy v lokomotivnyh depo] Locomotive. 2017. № 2 (722). P. 11–13.
5. Lipa K.V., Belinski A.A., Pustovoy V.N., Langasov C.L., Lakin I.K., Abolmasov A.A., Melnikov V.A., Lakin I.I., Barkunova A.A., Pustovoy I.V. Monitoring of technical condition and operating mode of locomotives. Theory and practice. [Monitoring tehničeskogo sostoyaniya i rezhimov ekspluatatsii lokomotivov. Teoriya i praktika] M. : LLC «Locomotive technology». 2015. 212 p.
6. Masaaki I. Kaizen: A key to success of Japanese companies [Klyuch k uspehu yaponskih kompaniy] / Transl. from English by T. Gutman. – M. : Alpina Business Books, 2011. 274 p.
7. Sai V.M. Management organizational structures: approaches of formation. [Organizatsionnye struktury upravleniya: podhody formirovaniya] – M. : VINITI RAN, 2002. 425 p.

*Статья сдана в редакцию 25 мая 2018 года  
0,48 а. л.*

## Уважаемые коллеги!

### Информирую вас о требованиях, предъявляемых к оформлению статей.

При наборе используйте Word-2003 или Word-2007; шрифт (по всему тексту, в том числе в рисунках и таблицах) — тип Times, размер шрифта — 14, межстрочное расстояние — 1,5, абзацный отступ — 1,25 (1,27) см, поля — 2 см; расстановка переносов по всему тексту — автоматическая.

Набор формул: простые формулы и сочетания символов ( $x^2 < y^2$ ;  $E = mc^2$ ;  $a^2 + b^2 = c^2$ ;  $Q_{i-1}$ ;  $\psi_j$ ) — только в текстовом режиме, сложные

$$\left( s^2 = \frac{1}{n-1} \left[ \sum_{j=1}^e x_j^2 n_j - \frac{1}{n} \left( \sum_{j=1}^e x_j n_j \right)^2 \right] \right); \left( \frac{\sigma_a}{[n]} \right)$$

или  $S_i^m$ ) — только в редакторе формул

Equation или в MathType.

Написание букв: русские (а, б, в, А, Б, В), греческие ( $\Theta, \Sigma, \Omega, \Psi, \alpha, \beta, \delta, \epsilon, \lambda, \pi$ ), а также цифры и функции (1, 2, 3; I, II, III; max, lg, sin и т.п.) пишутся только прямо; латинские ( $a, b, n, A, B, N$  и т.д.) — только курсивом. Исключение — курсив во вспомогательном тексте (слова «Таблица» и «Рис.», примечания в рисунках и ссылки в тексте на эти примечания).

Оформление текста: левый верхний край — инициалы, фамилия; заголовков — все буквы ПРОПИСНЫЕ, жирные, расположение — по центру набора; таблиц и рисунков: в таблицах размер шрифта — на полтора-два размера меньше, чем в основном тексте (11,5–12), расположение текста в «шапке» таблицы — по центру, в столбцах — по ширине; межстрочное расстояние — 1; слово «Таблица» — курсивное начертание, в правый край таблицы; название таблицы — начертание нормальное (прямое), расположение — по центру таблицы. В рисунках (графиках, диаграммах): размер подрисуноч-

ной подписи — 14, расположение — по центру набора, слово «Рис.» — курсив, название рисунка — нормальное начертание, описание рисунка (экспликация) — нормальное начертание, условные обозначения — курсивное начертание, их расшифровка — нормальное. Расположение таблиц и рисунков — строго после ссылки на них.

Кроме того, рисунки обязательно прилагаются к материалу (один рисунок — один файл; формат — \*.jpg).

Ссылки на литературу в тексте пишутся в квадратных скобках ([1], [1, 2] или [3–5]); нумерация сквозная. Список литературы/источников оформляется по ГОСТ 7.0.5–2008.

В конце статьи обязательно ставится дата отсылки материала в редакцию.

Объем статьи — не более 14-ти страниц.

Название файла: Фамилия. Первое слово заголовка. Подчеркивание. Последнее слово заголовка (Сидоров. Синтез\_электроприводом).

К материалу (статье) обязательно прилагаются (отдельным файлом): УДК, сведения об авторе, аннотация, ключевые слова (название файла: УДК 000. Сидоров. Синтез\_электроприводом).

Материалы для очередного номера журнала «Вестник УрГУПС» принимаются до 30 числа первого месяца квартала (до 30-го января, 30-го апреля, до 30-го июля, до 30-го октября). Материалы, поступившие в редакцию после 30-го числа, будут опубликованы только в следующем номере.

Успешной работы!

*Л. Барышникова,  
литературный и выпускающий  
редактор журнала «Вестник УрГУПС»*

### Уважаемые читатели и авторы журнала «Вестник УрГУПС»!

Если вам нравится наш журнал, вы можете оказать содействие в его развитии, перечислив денежные средства по реквизитам:

Ассоциация выпускников УЭМИИТ-УрГУПС

ИНН-КПП 6670317893/667001001

ОГРН 1156600001470

620075, Свердловская обл., г. Екатеринбург, ул. Шевченко, д. 20, помещение 1

Р/с 40703810863010000192

в ПАО КБ «УБРИР» филиал ССБ

к/с 30101810900000000795

БИК 046577795

**Назначение платежа:** «Пожертвование для поддержки научных журналов УрГУПС».

Ваша финансовая поддержка позволит нам увеличить число публикаций, повысить индексы цитирования журнала и наших авторов.

### Уважаемые руководители инновационных компаний и предприятий!

Предлагаем вам услуги по продвижению вашей продукции через сеть Ассоциации выпускников УЭМИИТ-УрГУПС.

Ассоциация выпускников УЭМИИТ-УрГУПС – это кооперация большого числа неравнодушных людей различных сфер деятельности, окончивших наш университет.

Кроме того, предлагаем услуги по подбору молодых специалистов, по организации поиска решений прикладных и научных задач в рамках диссертационных работ, выполняемых в УрГУПС.

Всю необходимую информацию вы можете получить по тел. (343) 221-24-67 или на сайте <http://www.usurt.ru/vypusknikam/assotsiatsiya-vypusknikov-urgups>

<b>Извещение</b>	<p><b>Получатель:</b> <u>Ассоциация выпускников УЭМИИТ-УрГУПС</u> <b>КПП:</b> <u>667001001</u> <b>ИНН:</b> <u>6670317893</u> <b>ОКТМО:</b> <u>65701000</u> <b>Р/сч.:</b> <u>40703810863010000192</u> <b>в:</b> <u>ПАО КБ «УБРИР» филиал ССБ</u> <b>БИК:</b> <u>046577795</u> <b>К/сч.:</b> <u>30101810900000000795</u> <b>Код бюджетной классификации (КБК):</b> _____ <b>Платеж:</b> <u>Пожертвование для поддержки научных журналов УрГУПС</u> <b>Плательщик:</b> _____ <b>Адрес плательщика:</b> _____ <b>ИНН плательщика:</b> _____ <b>№ л/сч. плательщика:</b> _____ <b>Сумма:</b> _____ руб. ____ коп.</p> <p>Подпись: _____ Дата: «___» _____ 2018 г.</p>
<b>Квитанция</b>	<p><b>Получатель:</b> <u>Ассоциация выпускников УЭМИИТ-УрГУПС</u> <b>КПП:</b> <u>667001001</u> <b>ИНН:</b> <u>6670317893</u> <b>ОКТМО:</b> <u>65701000</u> <b>Р/сч.:</b> <u>40703810863010000192</u> <b>в:</b> <u>ПАО КБ «УБРИР» филиал ССБ</u> <b>БИК:</b> <u>046577795</u> <b>К/сч.:</b> <u>30101810900000000795</u> <b>Код бюджетной классификации (КБК):</b> _____ <b>Платеж:</b> <u>Пожертвование для поддержки научных журналов УрГУПС</u> <b>Плательщик:</b> _____ <b>Адрес плательщика:</b> _____ <b>ИНН плательщика:</b> _____ <b>№ л/сч. плательщика:</b> _____ <b>Сумма:</b> _____ руб. ____ коп.</p> <p>Подпись: _____ Дата: «___» _____ 2018 г.</p>

ф. СП-1



**АБОНЕМЕНТ**

на ~~газету~~  
журнал

**70070**

(индекс издания)

**Вестник УргУПС**

(наименование издания)

Количество комплектов:

на 2018 год по месяцам:

1	2	3	4	5	6	7	8	9	10	11	12
						X	X	X	X	X	X

**Куда**

(почтовый индекс)

(адрес)

**Кому**

(фамилия, инициалы)

**ДОСТАВОЧНАЯ КАРТОЧКА**

ПВ	место	литер

на ~~газету~~  
журнал

**70070**

(индекс издания)

**Вестник УргУПС**

(наименование издания)

Стоимость	подписки	_____ руб. _____ коп.	Количество комплектов:
	переадресовки	_____ руб. _____ коп.	

на 2018 год по месяцам:

1	2	3	4	5	6	7	8	9	10	11	12
						X	X	X	X	X	X

**Куда**

(почтовый индекс)

(адрес)

**Кому**

(фамилия, инициалы)